

11-100  
АЗӘРБАЙЧАН ССР ЕЛМЛӘР АКАДЕМИЈАСЫ  
АКАДЕМИЯ НАУК АЗЕРБАЙДЖАНСКОЙ ССР

---

# МӘРУЗӘЛӘР ДОКЛАДЫ

ТОМ XXI ЧИЛД

3

---

АЗӘРБАЙЧАН ССР ЕЛМЛӘР АКАДЕМИЈАСЫ НӘШРИЈАТЫ  
ИЗДАТЕЛЬСТВО АКАДЕМИИ НАУК АЗЕРБАЙДЖАНСКОЙ ССР

Бакы—1965—Баку

АЗЭРБАЙЧАН ССР ЕЛМЛЭР АКАДЕМИЯСЫ  
АКАДЕМИЯ НАУК АЗЕРБАЙДЖАНСКОЙ ССР

# МӨ'РҮЗӨЛӨР ДОКЛАДЫ

ТОМ XXI ЧИЛД

№ 3



АЗЭРБАЙЧАН ССР ЕЛМЛЭР АКАДЕМИЯСЫ НЭШРИЈАТЫ  
ИЗДАТЕЛЬСТВО АКАДЕМИИ НАУК АЗЕРБАЙДЖАНСКОЙ ССР  
БАКЫ—1965—БАКУ

А. С. МАХМУДОВ

## О КОЭФФИЦИЕНТАХ ФУРЬЕ И ТЕЙЛОРА НЕПРЕРЫВНЫХ ФУНКЦИЙ

(Представлено академиком АН Азербайджанской ССР З. И. Халиловым)

1. Будем пользоваться следующими обозначениями:  $K$ —класс функций

$F(z) = \sum_{n=0}^{\infty} c_n z^n$ , регулярных в круге  $|z| < 1$  и непрерывных в

замкнутом круге  $|z| \leq 1$ ;  $E$ —класс функций  $F(z) \in K$ , регулярных всюду вне луча  $[1, +\infty)$ ;  $C$ —класс функций  $f(x)$ , непрерывных на отрезке  $[0,1]$ ;  $\{\varphi_n\}$ —ортонормированная на отрезке  $[0,1]$  система функций  $\{\varphi_n\} = \{\varphi_n(x)\}$  ( $n=1,2,3,\dots$ );  $a_n = a_n(f)$  ( $n=1,2,3,\dots$ )—коэффициенты Фурье функции  $f(x) \in C$  по системе  $\{\varphi_n\}$ ;  $c_n = c_n(F)$  ( $n=1,2,3,\dots$ )—коэффициенты Тейлора функции  $F(z) \in K$ ;  $\{T_n\}$  ( $n=1,2,3,\dots$ )—тригонометрическая система;  $\{\varphi_n\} \in O$  обозначает, что система  $\{\varphi_n\}$  состоит из совокупности ограниченных функций;

$$\{\varphi_n\} \in O_c^p, 0 < p < 2 \quad (\{z^n\} \in O_k^p, \{z^n\} \in O_E^p, 0 < p < 2)$$

обозначает, что для любой последовательности  $d_n \geq 0$  ( $n=1,2,3,\dots$ )

$\sum_{n=1}^{\infty} d_n^2 = \infty$ , существует функция  $f(x) \in C$  ( $F(z) \in K$ ,  $F(z) \in E$ ) такая, что

$$\sum_{n=1}^{\infty} d_n^{2-p} |a_n|^p = \infty \quad \left( \sum_{n=1}^{\infty} d_n^{2-p} |c_n|^p = \infty \right); \quad \{\varphi_n\} \in O_c(0,2) \quad (\{z^n\} \in O_k(0,2),$$

$\{z^n\} \in O_E(0,2))$ , обозначает, что для любой последовательности  $d \geq 0$

( $n=1,2,3,\dots$ ),  $\sum_{n=1}^{\infty} d_n^2 = \infty$ , существует функция  $f(x) \in C$  ( $F(z) \in K$ ,  $F(z) \in E$ )

такая, что  $\sum_{n=1}^{\infty} d_n^{2-p} |a_n|^p = \infty$  ( $\sum_{n=1}^{\infty} d_n^{2-p} |c_n|^p = \infty$ ) при всех  $p$ ,  $0 < p < 2$ .

Наконец,  $\{\varphi_n\} \in O_c(\{z^n\} \in O_k, \{z^n\} \in O_E)$  обозначает, что для любой по-

н47214

Центральная научная  
БИБЛИОТЕКА  
Академии наук Киргизской ССР

РЕДАКЦИОННАЯ КОЛЛЕГИЯ: З. И. Халилов (главный редактор), Ш. А. Азизбеков, В. Р. Волобуев, Д. М. Гусейнов, И. А. Гусейнов, М. А. Дадашзаде (зам. главного редактора), М. А. Далин, Ч. М. Джуварлы, С. М. Кулпин, М. Ф. Нагиев (зам. главного редактора), М. А. Топчибашев, Г. Г. Зейналов (ответственный секретарь).

Адрес: г. Баку, Коммунистическая, 10. Редакция «Докладов Академии наук Азербайджанской ССР».

следовательности  $d_n \geq 0$  ( $n = 1, 2, 3, \dots$ )  $\sum_{n=1}^{\infty} d_n^2 = \infty$  существует число  $\varepsilon$ , Для этой функции имеем

$0 < \varepsilon < 2$  и функция  $f(x) \in C$  ( $F(z) \in K$ ,  $F(z) \in E$ ) такие, что

$$\sum_{n=1}^{\infty} d_n^{2-\varepsilon} |a_n|^{\varepsilon} = \infty \left( \sum_{n=1}^{\infty} d_n^{2-\varepsilon} |c_n|^{\varepsilon} = \infty \right)^1.$$

Пусть  $p$  любое,  $0 < p < 2$ . Тогда очевидно, что справедливы включения  $O_c(0,2) \subset O_c^p \subset O_c$  и из включений  $\{z^n\} \in O_k^p$  и  $\{z^n\} \in O_E^p$  соответственно следуют  $\{z^n\} \in O_k$  и  $\{z^n\} \in O_E$ .

В 1932 г. Палей [6] доказал, что  $\{z^n\} \in O_k^1$  и  $\{T_n\} \in O_c^1$ , а Орлич [7] доказал, что  $O \subset O_c^1$ . Можно показать, что множество  $O_c^1$  существенно шире, чем множество  $O^2$ .

1956 г. С. Б. Стечкин [1] обобщил и уточнил теоремы Палея (стр. 292, 4)) имеем

следующем виде.

Теорема С. Б. Стечкина: Для любого  $p$ ,  $0 < p < 2$  справедливы

соотношения  $\{z^n\} \in O_k^p$  и  $\{T_n\} \in O_c^p$ .

В 1959 г. В. П. Хавин [8] получил следующий результат.

Теорема В. П. Хавина: Для любого  $p$ ,  $0 < p < 2$  имеем  $\{z^n\} \in O_E^p$ .

Первый пункт настоящей заметки посвящен изучению множества

$O_c^p$ ,  $0 < p < 2$ ,  $O_c(0,2)$  и  $O_c$ . Справедливы следующие теоремы:

Теорема 1. Для любых чисел  $p$  и  $q$ ,  $0 < p < 2$  и  $0 < q < 2$  имеет место равенство  $O_c^p = O_c^q$ .

Теорема 2. Справедливо равенство  $O_c = O_c(0,2)$ .

Следствие. Для любого числа  $p$ ,  $0 < p < 2$  справедливы равенства  $O_c = O_c^p = O_c(0,2)$ .

Теорема 3. Справедливо соотношение  $\{z^n\} \in O_E(0,2)$ .

Доказательство теоремы 1. Достаточно показать, что если  $0 < p < 2$  и  $\{\varphi_n\} \in O_c^p$ , то для любого  $q$ ,  $p < q < 2$   $\{\varphi_n\} \in O_c^q$ . Пусть  $d_n \geq$

$\sum_{n=1}^{\infty} d_n^2 = \infty$  и  $0 < \omega < 2$ . Тогда известно, что существует последовательность  $r_n$ , удовлетворяющая условиям

$$r_n \geq 0, \sum_{n=1}^{\infty} r_n^2 < \infty,$$

$$\sum_{n=1}^{\infty} d_n^{2-\omega} r_n^{\omega} = \infty$$

Полагая  $\omega = \frac{4(q-p)}{q(2-p)}$  и  $A_n = d_n^{\frac{p(2-q)}{q(2-p)}} r_n^{\frac{2(q-p)}{q(2-p)}}$  из (2), имеем

$$\sum_{n=1}^{\infty} A_n^2 = \infty.$$

В силу условия  $\{\varphi_n\} \in O_c^p$ , существует функция  $f(x) \in C$  такая, что

$$\sum_{n=1}^{\infty} A_n^{2-p} |a_n|^p = \infty.$$

<sup>1</sup> В дальнейшем мы будем предполагать, что множества  $O$ ,  $O_p$ ,  $O_c(0,2)$  и  $O_c$  состоят лишь из систем  $\{\varphi_n\}$ , обладающих соответственно указанными свойствами.

<sup>2</sup> С другой стороны, как показал А. М. Олевский [3], множество  $O_c^1$  есть правильная часть множества всех систем  $\{\varphi_n\}$ . Характеристика множества  $O_c^1$  установлена нами и будет составлять содержание специальной заметки.

Для этой функции имеем

$$\sum_{n=1}^{\infty} d_n^{2-q} |a_n|^q = \infty$$

Последнее равенство показывает, что для любого  $q$ ,  $p < q < 2$   $\{\varphi_n\} \in O_c^q$ . Теорема 1 доказана.

Доказательство теоремы 2. Включение  $O_c(0,2) \subset O_c$  очевидно. Докажем, что  $O_c \subset O_c(0,2)$ . Пусть  $\{\varphi_n\} \in O_c$ ,  $d_n \geq 0$ ,  $\sum_{n=1}^{\infty} d_n^2 = \infty$ ,

шире, чем множество  $O^2$ .

В силу  $\{\varphi_n\} \in O_c$  существует число  $\varepsilon$ ,  $0 < \varepsilon < 2$  и функция  $f(x) \in C$  такие,

что

$$\sum_{n=1}^{\infty} A_n^{2-\varepsilon} |a_n|^{\varepsilon} = \infty.$$

Для этой функции имеем

$$\sum_{n=1}^{\infty} d_n^{2-q} |a_n|^p = \infty \text{ при всех } p, 0 < p < 2.$$

Последнее равенство показывает, что  $\{\varphi_n\} \in O_c(0,2)$ . Теорема 2 доказана. Теорема 3 доказывается аналогично теореме 2, при помощи теоремы В. П. Хавина.

Отметим, что из включений  $\{z^n\} \in O_k$  и  $\{z^n\} \in O_E$  соответственно следует  $\{z^n\} \in O_k(0,2)$  и  $\{z^n\} \in O_E(0,2)$ .

2. Кроме обозначений пункта 1, будем пользоваться еще следующими  $n_k \uparrow - \{n_k\}$  — возрастающая последовательность натуральных чисел;  $\uparrow$  — монотонное неубывание;  $\downarrow$  — монотонное невозрастание чисел;  $C_p$  — класс систем функций  $\{\Phi_n\} = \{\Phi_n(u)\}$ , удовлетворяющих условиям:  $\Phi_n \geq 0$  ( $u \geq 0$ ),  $\Phi_n \uparrow$ ,  $u^{-p} \Phi_n \downarrow$  при каждом  $n$ ,  $n = 1, 2, 3, \dots$  по  $u$ , где  $0 < p < 2$  (очевидно, что если  $0 < p < 2$ , то  $C_p \subset C_2$ );  $u_n = u_n(\alpha)$  — наибольший корень уравнения  $\Phi_n(u_n) = \alpha u_n^2$ , где  $\alpha > 0$ ,  $0 < p \leq 2$ ;

(2)  $p_n = p_n(\beta)$  — наибольший корень уравнения  $\Phi_n(p_n q_n^{-\frac{1}{s}}) = \beta p_n^2 q_n^{-1}$ , где  $\beta > 0$ ,  $0 < s < 2$ ,  $q_n = \sum_{k=1}^n p_k^2$  и  $\{\Phi_n\} \in C_2$ ;  $\{\Phi_n\} \in A$  — для любого  $\alpha > 0$ ,

$$\sum_{n=1}^{\infty} u_n^2 = \infty.$$

наконец  $\{\Phi_n\} \in B$  обозначает, что  $\sum_{n=1}^{\infty} p_n = \infty$ . Отметим, что если

$\{\Phi_n\} \in C_2$  для любого  $\alpha > 0$  существует  $u_n$ , то для некоторого  $\beta > 0$  существует хотя бы один  $p_n$ . Например, если  $d_n \geq 0$ ,  $0 < s < 2$  и

$\Phi_n = d_n^{2-s} u_n^s$ , то для любого  $\alpha > 0$   $u_n(\alpha) = p_n(\alpha) = \alpha^{\frac{1}{s-2}} d_n$ . В случае, когда  $\{\Phi_n\} \in C_2$ , несколько замечаний относительно определения чисел  $u_n$ , можно найти в работе [2] (см. [2] стр. 95)..

Если же  $0 < p < 2$  и  $\{\Phi_n\} \in C_p$ , то  $\sum_{n=1}^{\infty} u_n^p = \infty$  или  $\sum_{n=1}^{\infty} u_n^p < \infty$  одновре-

менно для всех  $\alpha > 0$  (см. [2], стр. 100). Поэтому, в последнем случае мы будем брать  $\alpha = 1$ , а вместо  $u_n$  и  $\{\Phi_n\} \in A$  будем писать, соответственно,  $d_n$  и  $\{\Phi_n\} \in A_1$ . Никаких оговорок относительно понимания корня  $d_n$  уже не требуется (см. [2] стр. 101).

В 1957 г. С. Б. Стечкин [2] поставил вопрос—при каких ограничениях на последовательность  $d_n \geq 0$  существует функция  $F(z) \in K$  удовлетворяющая условию

$$\sum_{n=1}^{\infty} d_n \varphi(|c_n|) = \infty,$$

где  $\varphi(u) \in C_2$ ,  $\varphi(u) > 0 (u > 0)$ ?—и решил его в классе  $C_p$ , где  $0 < p < 2$  и в классе  $C_2$  с дополнительным условием  $u^{-p} \varphi(u) \uparrow$  для некоторого  $p > 0$ .

В связи с вопросом, поставленным С. Б. Стечкиным в пункте 2, мы рассматриваем следующую задачу. Пусть  $0 < p \leq 2$ ,  $0 < \omega < 2$ ,  $n_k \uparrow$ ,  $\{\varphi_k\} \in O_c^\omega$  и  $\{\Phi_k\} \in C_p$ . При каких дальнейших ограничениях на систему  $\{\Phi_k\}$  существует функция  $f(x) \in C$ , удовлетворяющая условию

$$\sum_{k=1}^{\infty} \Phi_k(|a_{n_k}|) = \infty \quad (3)$$

или

$$\prod_{k=1}^{\infty} |a_{n_k}|^{s \Phi_k^{\frac{2-s}{2}}} (|a_{n_k}|) = \infty \text{ при всех } s, 0 < s < 2? \quad (4)$$

Аналогичная задача рассматривается и для класса  $E$ . Доказываются следующие теоремы.

**Теорема 4.** Пусть  $0 < p < 2$ ,  $0 < \omega < 2$ ,  $n_k \uparrow$ ,  $\{\varphi_k\} \in O_c^\omega$  и  $\{\Phi_k\} \in C_p$ . Для того, чтобы существовала функция  $f(x) \in C$ , удовлетворяющая условию (3), необходимо и достаточно, чтобы  $\{\Phi_k\} \in A_1$ .

**Теорема 5.** Пусть  $0 < \omega < 2$ ,  $n_k \uparrow$ ,  $\{\varphi_k\} \in O_c^\omega$  и  $\{\Phi_k\} \in C_2$ . Для того, чтобы существовала функция  $f(x) \in C$ , удовлетворяющая условию (3), необходимо и достаточно, чтобы  $\{\Phi_k\} \in A$  (или  $\{\Phi_k\} \in B$ ).

Из теоремы 5 немедленно вытекают следующие предложения.

**Теорема 6.** Пусть  $0 < \omega < 2$ ,  $n_k \uparrow$ ,  $\{\varphi_k\} \in O_c^\omega$ ,  $d_k \geq 0$  и функция  $\varphi(u) \in C_2$ ,  $\varphi(u) > 0 (u > 0)$ . Для того, чтобы существовала функция  $f(x) \in C$ , удовлетворяющая условию

$$\sum_{k=1}^{\infty} d_k \varphi(|a_{n_k}|) = \infty,$$

необходимо и достаточно, чтобы  $\{d_k \varphi(u)\} \in A$ .

Для случая, когда  $\{\varphi_k\} = \{T_k\}$ , из теоремы 6 мы получаем полный ответ на вопрос С. Б. Стечкина. Отметим, что теорема 6 для случая  $\varphi(u) = u^p$ ,  $0 < p < 2$ ,  $\{\varphi_k\} = \{T_k\}$  была доказана С. Б. Стечкиным (см. [1] теоремы 2).

**Теорема 7.** Пусть  $0 < \omega < 2$ ,  $0 < \varepsilon_k < 2$ ,  $n_k \uparrow$  и  $\{\varphi_k\} \in O_c^\omega$ . Для того, чтобы существовала функция  $f(x) \in C$ , удовлетворяющая условию

$$\sum_{k=1}^{\infty} |a_{n_k}|^{2-\varepsilon_k} = \infty, \quad (5)$$

необходимо и достаточно, чтобы

$$\sum_{k=1}^{\infty} \alpha^{\frac{1}{\varepsilon_k}} = \infty \text{ для любого } \alpha > 0 \quad (6)$$

Теорема 7, в случае, когда  $\{\varphi_k\} = \{T_k\}$  содержит в себе теорему Карлемана\* [4] и теорему Сидона [5].

Остановимся еще специально на том частном случае, когда  $\varepsilon_k \downarrow 0$ . В этом случае условие (6) может быть приведено к значительно более простому виду.

**Теорема 8.** Пусть  $0 < \omega < 2$ ,  $0 < \varepsilon_k < 2$ ,  $\varepsilon_k \downarrow 0$ ,  $n_k \uparrow$  и  $\{\varphi_k\} \in O_c^\omega$ . Для того, чтобы существовала функция, удовлетворяющая условию (5), необходимо и достаточно, чтобы

$$\lim_{k \rightarrow \infty} \varepsilon_k \log k = \infty.$$

**Теорема 9.** Пусть  $0 < \omega < 2$ ,  $d_k \geq 0$ ,  $0 < \varepsilon_k < 2$ ,  $n_k \uparrow$  и  $\{\varphi_k\} \in O_c^\omega$ . Для того, чтобы существовала функция  $f(x) \in C$ , удовлетворяющая условию

$$\sum_{k=1}^{\infty} d_k^{\varepsilon_k} |a_{n_k}|^{2-\varepsilon_k} = \infty,$$

необходимо и достаточно, чтобы

$$\sum_{k=1}^{\infty} d_k^2 \alpha^{\frac{1}{\varepsilon_k}} = \infty \text{ для любого } \alpha > 0.$$

Теорема 9 в случае, когда  $\{\varphi_k\} = \{T_k\}$  объединяет результаты Палея [6], Банаха [10] и Сидона [5]. Отметим, что теоремы 7, 8 и 9 были доказаны С. Б. Стечкиным для случая, когда  $\{\varphi_k\} = \{T_k\}$  (см. [2] стр. 114–116). Следующая теорема является обобщением теоремы 5.

**Теорема 10.** Пусть  $0 < \omega < 2$ ,  $0 < p < 2$ ,  $n_k \uparrow$ ,  $\{\varphi_k\} \in O_c^\omega$  и  $\{\Phi_k\} \in C_p$ . Для того, чтобы существовала функция  $f(x) \in C$ , удовлетворяющая условию (4), необходимо и достаточно, чтобы  $\{\Phi_k\} \in A$ .

Для класса  $E$  справедливы следующие теоремы.

**Теорема 11.** Пусть  $0 < p < 2$ ,  $n_k \uparrow$  и  $\{\Phi_k\} \in C_p$ . Для того, чтобы существовала функция  $F(z) \in E$ , удовлетворяющая условию

$$\sum_{k=1}^{\infty} \Phi_k(|c_{n_k}|) = \infty, \quad (7)$$

необходимо и достаточно, чтобы  $\{\Phi_k\} \in A_1$ .

**Теорема 12.** Пусть  $n_k \uparrow$  и  $\{\Phi_k\} \in C_2$ . Для того чтобы существовала функция  $F(z) \in E$ , удовлетворяющая условию (7), необходимо и достаточно, чтобы  $\{\Phi_k\} \in A$ .

\* В 1918 г. Карлеман доказал, что существует непрерывная функция

$$f(x) \sim \sum_{n=0}^{\infty} \rho_n \cos(nx - x_n), \quad \rho_n > 0, \text{ удовлетворяющая условию } \sum_{n=0}^{\infty} \rho_n^{2-\epsilon} = \infty \text{ при всех } \epsilon > 0.$$

Из одного результата А. М. Олевского (см. [3], стр. 365) следует, что теорема Карлемана остается в силе для произвольной полной ортонормированной на отрезке  $[0, 1]$  системы функций  $\{\varphi_n(x)\}$ .

Теорема 13. Пусть  $0 < p \leq 2$ ,  $n_k \uparrow$  и  $\{\Phi_k\} \in C_p$ . Для того, чтобы существовала функция  $F(z) \in E$ , удовлетворяющая условию

$$\sum_{k=1}^{\infty} |c_{n_k}|^s \Phi_k^{\frac{2-s}{2}} (|c_{n_k}|) = \infty \text{ при всех } s, 0 < s < 2,$$

необходимо и достаточно, чтобы  $\{\Phi_k\} \in A$ .

В заключение выражаю искреннюю благодарность профессору С. Б. Стечкину за постановку задач и обсуждение результатов на его семинаре.

#### ЛИТЕРАТУРА

1. Стечкин С. Б. Изв. АН СССР, сер. мат., 20, 1956, 765–774.
2. Стечкин С. Б. Изв. АН СССР, сер. мат., 21, 1957, 93–116.
3. Олевский А. М. Изв. АН СССР, сер. мат., 27, 1963, 343–366.
4. Carleman T. Acta Math., 41, 1918, 377–384.
5. Sidon S. Journ. für die reine und angew. Math., 163, 1930, 251–252.
6. Paley R. E. A. C. Journ. London Math. Soc., 7, 1932, 122–130.
7. Orlitz W. Bull. Acad. Pol. Ser., 1932, 229–238.
8. Хавин В. П. Вест. Лен. ун-та, 19, 1959, 47–59.
9. Фихтенгольц Г. М. Курс диф. и интегр. исслед. т. II, Гостехиздат, М., 1958.
10. Banach S. Studia Math., 2, 1930, 207–220, 251.

Институт математики

Поступило 20. IV 1964

А. С. Маимудов

#### Кәсилемәз функцијаларының Фурје вә Тейлор әмсаллары һағында

##### ХУЛАСӘ

Мәгаләдә  $[0,1]$  парчасында ортонормал олан  $(\varphi_n(x))$  функцијалар системләриндән мүэйян шәртлә дүзәлдилмиш  $O_c, O_c^p, 0 < p < 2$  вә  $O_c(0,2)$  чохлугларының бәрабәрлији исбат олунур.

Һәмчинин  $a_n$  Фурје әмсаллары истәнилән,  $p, 0 < p < 2$  үчүн

$$\sum_{n=1}^{\infty} |a_n|^p \Phi_n^{\frac{2-p}{2}} (|a_n|) = \infty$$

шәртини өдәјән кәсилемәз  $f(x)$  функцијасының варлығының зәрури вә кафи шәрти тапталып.

Н. Х. БАГИРОВА

#### О ЗАВИСИМОСТИ РЕШЕНИЙ КЛАССИЧЕСКИХ ЗАДАЧ ВАРИАЦИОННОГО ИСЧИСЛЕНИЯ ОТ МАЛОГО ПАРАМЕТРА

(Представлено академиком АН Азербайджанской ССР З. И. Халиловым)

1. Рассмотрим простейшую вариационную задачу, т. е. задачу на экстремум функционала вида

$$G[y(t, \mu)] = \int_0^1 \Phi(t, y, z, \mu) dt, \quad (1)$$

где  $z = \mu y'$ ,  $\mu$  — малый параметр,  $\mu \neq 0$ , при условиях

$$y(0) = y^0; \quad y(1) = y^1. \quad (2)$$

Если в (1) положить формально  $\mu = 0$ , то вариационная задача вырождается, так как подинтегральное выражение уже не содержит  $y'$ .

Уравнение Эйлера для функционала (1) при  $\mu \neq 0$  имеет вид:

$$\Phi_y - \mu \frac{d}{dt} \Phi_z = 0$$

или при  $\Phi_{zz} \neq 0$  в рассматриваемой области изменения аргументов:

$$\begin{cases} \mu z' = zA(t, y, z, \mu) + B(t, y, z, \mu) + \mu Ct, y, z, \mu, \\ \mu y' = z, \quad y(0) = y^0; \quad y(1) = y^1, \end{cases} \quad (3)$$

где

$$A = -\frac{\Phi_{yz}}{\Phi_{zz}}, \quad B = \frac{\Phi_y}{\Phi_{zz}}, \quad C = -\frac{\Phi_{tz}}{\Phi_{zz}}.$$

Таким образом, получили некоторую краевую задачу для системы уравнений с малым параметром при старшей производной.

Исследование проведем для системы более общего вида, чем (3). Поэтому результат поставленной задачи получится как частный случай результата более общей задачи, а именно:

$$\begin{cases} \mu z' = F(t, y, z, \mu), \\ \mu y' = f(t, y, z, \mu), \\ y(0) = y^0; \quad y(1) = y^1. \end{cases} \quad (4)$$

Система подобного рода рассматривалась в работах А. Н. Тихонова, А. Б. Васильевой, В. А. Тупчиева [1–2] и др.

Вырожденная ( $\nu=0$ ) система имеет вид

$$\begin{cases} 0 = F(t, \bar{y}, \bar{z}, O) \\ 0 = f(t, \bar{y}, \bar{z}, O) \end{cases} \quad (5)$$

Определим условие устойчивости корня.

**Определение 1:** Назовем корень  $\{\bar{y}(t), \bar{z}(t)\}$  вырожденной системы (5) устойчивым корнем системы, если корни характеристического уравнения

$$\begin{vmatrix} \bar{F}_z - \lambda & \bar{F}_y \\ \bar{f}_z & \bar{f}_y - \lambda \end{vmatrix} = 0 \quad (6)$$

имеют разные знаки.

Здесь под  $\bar{F}_z$  понимаем  $F_z(t, \bar{y}(t), \bar{z}(t), O)$ , аналогично определяются и  $\bar{F}_y, \bar{f}_z, \bar{f}_y$ .

**Определение 2:** Назовем левой присоединенной системой систему уравнений

$$\begin{cases} \frac{dz^0}{d\tau_0} = F(O, y^0, z^0, O), \\ \frac{dy^0}{d\tau_0} = f(O, y^0, z^0, O), \end{cases} \quad (7)$$

где  $\tau_0 = \frac{t}{\nu}$ , а правой присоединенной системой—систему

$$\begin{cases} \frac{dz^1}{d\tau_1} = F(1, y^1, z^1, O), \\ \frac{dy^1}{d\tau_1} = f(1, y^1, z^1, O), \end{cases} \quad (8)$$

где  $\tau_1 = \frac{t-1}{\nu}$ . Здесь правый верхний индекс означает, что вычисления производятся в точке  $t=0$  или  $t=1$  соответственно.

Введем в рассмотрение следующие функционалы

$$\bar{G} = \int_0^1 \bar{\Phi} dt = \int_0^1 \Phi(t, \bar{y}, \bar{z}, O) dt, \quad (9)$$

$$G^0 = \int_0^\infty \Phi^0 d\tau_0 = \int_0^\infty \Phi(0, y^0, z^0, O) d\tau_0, \quad (10)$$

$$G^1 = \int_0^\infty \Phi^1 d\tau_1 = \int_0^\infty \Phi(1, y^1, z^1, O) d\tau_1, \quad (11)$$

Имеет место следующая

**Теорема:** Пусть выполнены условия:

1) Существует экстремаль  $\{\bar{y}, \bar{z}\}$  функционала (9).

2) В области  $B |1| y - \bar{y}| < \varepsilon; |z - \bar{z}| < \gamma; 0 \leq t \leq 1, 0 < \nu < \nu^0$  где  $\varepsilon, \gamma$ —некоторые, не зависящие от  $\nu$  постоянные, функция  $\Phi(t, y, z, \nu)$  обладает непрерывными частными производными по всем аргументам соответственно до  $n+3$ -го порядка включительно.

$$3) \bar{\Phi}_y \bar{\Phi}_{yz} - \bar{\Phi}_{yy} \bar{\Phi}_{zz} < 0$$

$$z^l (\bar{\Phi}_{zz}^l \bar{\Phi}_{yz}^l - \bar{\Phi}_{yz}^l \bar{\Phi}_{zz}^l) + (\bar{\Phi}_y^l \bar{\Phi}_{yz}^l - \bar{\Phi}_{yy}^l \bar{\Phi}_{zz}^l) < 0; \quad (l=0,1)$$

4) Начальные значения  $y^0, y^1$  достаточно близки к  $\bar{y}(0), \bar{y}(1)$  соответственно.

Тогда в области  $B$  существует единственная экстремаль для функционала (1), на которой функционал принимает экстремальное значение  $G$  и имеют место оценки

$$|G - (G)_n| < C \nu^{n+1},$$

$$|y - Y_n| < C \nu^{n+1},$$

где  $C$ —некоторая постоянная, не зависящая от  $t$  и  $\nu$  для  $0 \leq t \leq 1$  и  $0 < \nu < \nu^0$ ,  $Y_n, (G)_n$ —асимптотические приближения  $n$ -го порядка, определяемые формулами вида

$$Y_n = \sum_{k=0}^n \nu^k [\bar{y}_k + \Pi_k^0(y) + \Pi_k^1(y)]. \quad (12)$$

Здесь  $\Pi_k^0(y)$  и  $\Pi_k^1(y)$ —соответственно левый и правый пограничные  $k$ -го порядка для функции  $y$  и  $\Pi_k^l(y) = y_k^l - \bar{y}_k^l$ , ( $l=0,1$ ).

II. Рассмотрим изопериметрическую задачу, т. е. задачу на экстремум функционала

$$G[y(t, \nu)] = \int_0^1 \Phi(t, y, z, \nu) dt, \quad (13)$$

где  $z = \nu y'$ ,  $\nu$ -малый параметр,  $\nu \neq 0$ , среди кривых, удовлетворяющих условиям

$$y(0) = y^0; \quad y(1) = y^1 \quad (14)$$

при наличии дополнительного условия

$$\int_0^1 \Psi(t, y, z, \nu) dt = L \quad (15)$$

При  $\nu=0$  вариационная задача вырождается, так как подинтегральное выражение в (13) и (15) уже не содержит  $y'$ .

Известно, что если кривая  $y=y(t, \nu)$  дает экстремум функционалу (13) при условиях (14) и (15), то существует такая постоянная  $\lambda$ , что эта кривая  $y(t, \nu)$  является экстремальной функционала

$$\Omega[y(t, \nu), \lambda] = \int_0^1 \{\Phi(t, y, z, \nu) + \lambda \Psi(t, y, z, \nu)\} dt. \quad (16)$$

Уравнение Эйлера для функционала (16) при  $\nu \neq 0$  имеет вид

$$\Phi_y + \lambda \Psi_y - \nu \frac{d}{dt} (\Phi_z + \lambda \Psi_z) = 0, \quad (17)$$

или в аналогичной (3) записи, при  $\Phi_{zz} + \lambda\Psi_{zz} \neq 0$  в рассматриваемой области изменения аргументов, получаем задачу:

$$\begin{cases} \mu z' = zA(t, y, z, \mu, \lambda) + B(t, y, z, \mu, \lambda) + \mu C(t, y, z, \mu, \lambda) \\ \mu y' = z, \end{cases} \quad (18)$$

$$y(0) = y^0; \quad y(1) = y^1,$$

$$\int_0^1 \Psi(t, y, z, \mu) dt = l.$$

Более общая задача будет иметь вид:

$$\begin{cases} \mu z' = F(t, y, z, \mu, \lambda), \\ \mu y' = f(t, y, z, \mu, \lambda), \\ y(0) = y^0; \quad y(1) = y^1, \\ \int_0^1 \Psi(t, y, z, \mu) dt = L. \end{cases} \quad (19)$$

Неизвестное  $\lambda$  представим в виде ряда по степеням  $\mu$ :

$$\lambda = \lambda_0 + \mu\lambda_1 + \dots + \mu^n\lambda_n + \dots \quad (20)$$

Вырожденной ( $\mu=0$ ) системой будет

$$\begin{cases} 0 = F(t, \bar{y}, \bar{z}, 0, \lambda_0), \\ 0 = f(t, \bar{y}, \bar{z}, 0, \lambda_0). \end{cases} \quad (21)$$

Вводится условие устойчивости корня, аналогичное условию устойчивости корня п. I, и функционалы  $\bar{\Omega}$ ,  $\bar{\Omega}^0$ ,  $\bar{\Omega}^1$ , составленные по тому же принципу, что и (9), (10), (11) соответственно.

Неизвестный параметр  $\lambda$  определяется из дополнительного условия (15). В частности,  $\lambda_0$  находится из условия:

$$\int_0^1 \Psi(t, \bar{y}(t, \lambda_0), \bar{z}(t, \lambda_0), 0) dt = L \quad (22)$$

Имеет место

**Теорема.** Пусть выполнены условия:

1) Существует экстремаль  $\{\bar{y}, \bar{z}\}$  функционала  $\bar{\Omega}$ .

2) В области  $B\{|\bar{y} - y| < \varepsilon, |\bar{z} - z| < \gamma, |\lambda - \lambda_0| < \delta, 0 \leq t \leq 1, 0 > \mu < \mu^0\}$ , где  $\varepsilon, \gamma, \delta$  — некоторые, не зависящие от  $\mu$  постоянные, функции  $\Phi(t, y, z, \mu)$  и  $\Psi(t, y, z, \mu)$  обладают непрерывными частными производными по всем аргументам соответственно до  $n+3$ -го порядка включительно.

$$3) (\bar{\Phi}_y + \lambda_0 \bar{\Psi}_y)(\bar{\Phi}_{yz} + \lambda_0 \bar{\Psi}_{yz}) - (\bar{\Phi}_{yy} + \lambda_0 \bar{\Psi}_{yy})(\bar{\Phi}_{zz} + \lambda_0 \bar{\Psi}_{zz}) < 0;$$

$$z' \{(\bar{\Phi}_{zz} + \lambda_0 \bar{\Psi}_{zz})(\bar{\Phi}_{yy} + \lambda_0 \bar{\Psi}_{yy}) - (\bar{\Phi}_{yz} + \lambda_0 \bar{\Psi}_{yz})(\bar{\Phi}_{yz} + \lambda_0 \bar{\Psi}_{yz})\} +$$

$$+ \{(\bar{\Phi}_y + \lambda_0 \bar{\Psi}_y)(\bar{\Phi}_{yz} + \lambda_0 \bar{\Psi}_{yz}) - (\bar{\Phi}_{yy} + \lambda_0 \bar{\Psi}_{yy})(\bar{\Phi}_{zz} + \lambda_0 \bar{\Psi}_{zz})\} < 0; (l=0,1),$$

4) Начальные значения  $y^0$  и  $y^1$  соответственно близки к  $\bar{y}(0)$  и  $\bar{y}(1)$ .

$$5) \int_0^1 \{\bar{\Psi}_{y0} \bar{y}_{\lambda 0} + \bar{\Psi}_{z0} \bar{z}_{\lambda 0}\} dt \neq 0.$$

Тогда в области  $B$  существует единственная экстремаль  $y(t, \mu, \lambda)$  для функционала (13), на которой функционал принимает экстремальное значение  $G$ , и имеют место оценки

$$|G - (G)_n| < C\mu^{n+1},$$

$$|y - Y_n| < C\mu^{n+1},$$

$$|\lambda - (\lambda)_n| < C\mu^{n+1},$$

где  $C$  — некоторая постоянная, не зависящая от  $t$  и  $\mu$  для  $0 \leq t \leq 1$  и  $0 < \mu < \mu^0$ , а  $Y_n$ ,  $(G)_n$ ,  $(\lambda)_n$  — асимптотические приближения  $n$ -го порядка, определяемые формулами, аналогичными (12).

## ЛИТЕРАТУРА

1. Васильева А. Б. УМН, 1963, т. 18, вып. 3, стр. 15—86. 2. Тупчинев В. А. Канд. дисс., МГУ им. М. В. Ломоносова, 1963.

Институт математики и механики

Поступило 8. X 1964

Х. И. Бағырова

Классик вариасија һесабы мәсәләләрндә һәллин  
кичик параметрдән асылылығы

## ХУЛАСӘ

Ишдә кичик  $\mu$  параметриндән асылы олан садә вариасија вә изо-  
периметрик мәсәләләрә бағылыр.  $\mu=0$  оланда интегралалты ифадәје  
 $y'$  дахил олмур.

Екстремалын вә функционалның екстремал гијмәтийин асимптотикасы  
туруулур.

ТЕОРИЯ УПРУГОСТИ

С. А. МОХБАЛИЕВ

ОБ ИССЛЕДОВАНИИ НАПРЯЖЕННОГО СОСТОЯНИЯ  
СФЕРИЧЕСКОЙ ОБОЛОЧКИ, ОСЛАБЛЕННОЙ  
КРИВОЛИНЕЙНЫМ ОТВЕРСТИЕМ

(Представлено академиком АН УССР Г. Н. Савиным)

Рассмотрим напряженное состояние сферической оболочки, ослабленной криволинейным отверстием и загруженной равномерным внутренним давлением интенсивности  $p^*$ .

Согласно общей постановке задач [5], исследование задач для сферической оболочки сводится к решению интегрального уравнения типа Вольтера:

$$V(\xi, \eta) = f(\xi, \eta) - \lambda \int_0^\xi \int_0^\eta X'_t Y'_\tau V(t, \tau) d\tau dt \quad (1)$$

при определенных условиях на контуре отверстия и „на бесконечности“ [6].

Здесь введены обозначения

$$\begin{aligned} f(\xi, \eta) &= \psi_1(\xi) + \psi_1^*(\eta) + (Y - Y_0) \int_0^\xi X'_t \psi_0(t) dt + \\ &+ (X - X_0) \int_0^\eta Y'_\tau \psi_0^*(\tau) d\tau. \end{aligned} \quad (2)$$

$$X = \omega(e^\xi), \quad X_1 = \omega(e^t), \quad X'_t = \frac{\partial}{\partial t} \omega(e^t)$$

$$Y = \omega(e^\eta), \quad Y_1 = \omega(e^\tau), \quad Y'_\tau = \frac{\partial}{\partial \tau} \omega(e^\tau)$$

$$X_0 = Y_0 = \omega(1) \quad (2)$$

$\lambda = i \frac{r_0^2 \sqrt{3(1-\nu^2)}}{2Rh}$ , где  $R, h$ , соответственно радиус и толщина оболочки,  $r_0$  характеризуют абсолютные размеры отверстия.

\* Исследование подобных задач проведено в работах [2, 3] (см. также ссылки [4–6]), в которых использовались основные уравнения в дифференциальной форме, здесь же будем исходить из интегральных уравнений.

$Z = x + iy; \quad \xi = \rho + i\theta; \quad \eta = \rho - i\theta$ ; все координаты безразмерные, отнесенные к величине  $r_0$ .  $(\rho, \theta)$  — криволинейная система координат, координатная линия  $\rho = 0$  совпадает с контуром отверстия;  $(x, y)$  — декартовая система координат в плоскости переменных, к которым отнесена срединная поверхность оболочки. Связь между системами координат  $(\rho, \theta)$  и  $(x, y)$  можно записать в виде:

$$Z = \omega(e^\xi) \quad (3)$$

Уравнение (1) будем решать методом последовательных приближений [7]. Воспользовавшись некоторыми формулами для бесселевых функций [1], можно получить решение в следующей форме:

$$V(\xi, \eta) = f(\xi, \eta) - \lambda \int_0^\xi \int_0^\eta X'_t Y'_\tau J_0(\sqrt{2\lambda}(X - X_1)(Y - Y_1)) f(t, \tau) d\tau dt. \quad (4)$$

Таким образом, получено решение (4). уравнения (2), содержащее четыре голоморфные функции, которые подлежат определению из соответствующих краевых условий.

Рассмотрим более подробно случай, когда отображающая функция (3) имеет вид:

$$Z = e^\xi + \epsilon e^{-N\xi} \quad (5)$$

$\epsilon$  и  $N$  — определяют форму отверстия.

Тогда:

$$X = e^\xi + \epsilon e^{-N\xi}; \quad Y = e^\eta + \epsilon e^{-N\eta};$$

$$X_1 = e^t + \epsilon e^{-Nt}; \quad Y_1 = e^\tau + \epsilon e^{-N\tau};$$

$$X_0 = Y_0 = 1 + \epsilon$$

Пусть отверстие закрыто крышкой специальной конструкции, которая передает только действие перерезывающей силы [2]. Основное напряженное состояние будем считать бэзоментным. В этом случае голоморфные функции  $\psi_0(\xi), \psi_0^*(\eta), \psi_1(\xi), \psi_1^*(\eta)$  входящие в общее решение (4), определяются из следующих граничных условий при  $\rho = 0$

$$\tilde{Q}_p = -0.5Pr_0[1 + 0.25(\epsilon^2 N - \epsilon^2 N^2) - (2\epsilon - \epsilon^2 - N\epsilon^2) \cos(N+1)\theta], \quad (6)$$

$$T_p = -0.5PR, \quad S_p = 0, \quad G_p = 0.$$

и условия „на бесконечности“ при  $[\rho \rightarrow \infty]$

$$\tilde{Q}_p = 0, \quad T_p = 0, \quad S_p = 0, \quad G_p = 0, \quad (7)$$

где  $T_p, S_p$  — тангенциальные, а  $\tilde{Q}$  — обобщенное перерезывающее усилие;  $G_p$  — изгибающий момент.

Из (7) получаем, что функции  $\psi_1(\xi), \psi_1^*(\eta), \psi_0(\xi), \psi_0^*(\eta)$  должны иметь вид:

$$\psi_1(\xi) = \sum_{n=1}^{\infty} a_n e^{-n(N+1)\xi}; \quad \psi_1^*(\eta) = \sum_{n=1}^{\infty} b_n e^{-n(N+1)\eta}$$

$$\psi_1(\xi) = \psi_1^*(\bar{\eta}) \quad (8)$$

$$\psi_0(\xi) = \sum_{n=2}^{\infty} c_n e^{-n(N+1)\xi}; \quad \psi_0^*(\eta) = \sum_{n=2}^{\infty} d_n e^{-n(N+1)\eta}$$

$$\psi_0(\xi) = \psi_0^*(\bar{\eta}),$$

где  $a_n = b_n$ ,  $c_n = d_n$  — комплексные постоянные.

Рассмотрим отверстия таких размеров, как

$$r_0^2 \sqrt{3(1-\varepsilon^2)} < 2R h \quad (9)$$

Принимая во внимание (9), в (4) ограничимся двумя членами разложения  $J_0(\sqrt{2}\lambda(X-X_1)(Y-Y_1))$  в ряд Тейлора по  $\lambda$ , тогда получаем решение в форме:

$$v(\xi, \eta) = f(\xi, \eta) - \lambda \int_0^\xi \int_0^\eta [\lambda - \lambda^2(X-X_1)(Y-Y_1)] X'_t Y'_t f(t, \tau) d\tau dt \quad (10)$$

В (10) перейдем к переменным  $(\rho, 0)$  и разложим  $\Phi(\rho_1, 0) \equiv v(\rho + i\rho_1, \rho - i\rho)$  в ряд Фурье, который ввиду силовой и геометрической симметрии задачи можем записать в форме

$$\Phi(\rho, 0) = f_0(\rho) + 2 \sum_{m=1}^{\infty} f_m(\rho) \cos((N+1)m\theta), \quad (11)$$

где  $f_0(\rho)$ ,  $f_m(\rho)$  — коэффициенты Фурье, которые содержат комплексные коэффициенты разложения (8) и параметры  $\varepsilon$ ,  $N$ ,  $\lambda$ , т. е.

$$f_m(\rho) = F(a_m, c_m; \varepsilon, N, \lambda, \rho), \quad m = 0, 1, 2, 3, \dots$$

Подставляя (11) в граничные условия (6), используя при этом формулы [4], [5] для определения компонентов напряженного состояния через  $\Phi(\rho_1, 0)$ , после некоторых преобразований получаем бесконечную систему линейных алгебраических уравнений относительно неизвестных коэффициентов разложения (8):

$$A_{js}^i a_i + B_{js}^i a'_i + C_{js}^i \beta_i + D_{js}^i \beta'_i + \sum_{j=2}^{j=n...} [A_{js}^i a_j + B_{js}^i a'_j + C_{js}^i \beta_j + D_{js}^i \beta'_j] = q_s^i \quad (12)$$

$$i = 1, 2, 3, 4. \quad s = 1, 2, 3, \dots, n, \dots$$

$$\text{где } a_i = \frac{a_j - \bar{a}_j}{2i}, \quad a'_i = \frac{a_j + \bar{a}_j}{2}, \quad \beta_i = \frac{c_j - \bar{c}_j}{2i}, \quad \beta'_i = \frac{c_j + \bar{c}_j}{2}$$

$A_{js}^i, \dots, D_{js}^i$  — коэффициенты, которые зависят от параметров  $\lambda, \varepsilon, N$ .  $q_s^i$  — данная величина, зависящая от  $\varepsilon, N, P$ . Выражения для этих коэффициентов получены для отображающей функции в виде (5), однако ввиду громоздкости здесь их приводить не будем.

Заметим, что при  $\lambda = 0$  получаем решение для плоской пластиинки, ослабленной отверстием такой же формы.

#### ЛИТЕРАТУРА

1. Векуа И. Н. Новые методы решения эллиптических уравнений, ОГИЗ, 1948.
2. Гузь А. Н. О приближенном методе определения концентрации напряжений около криволинейных отверстий в оболочках. «Прикладная механика», т. VIII, в. 6, 1962.

3. Гузь А. Н. Концентрация напряжения около квадратного отверстия в сферической оболочке. «ДАН УРСР», № 9, 1964.
4. Савин Г. Н. О концентрации напряжений около отверстий в тонких упругих оболочках. «Прикладная механика», т. VI, в. 1, 1961.
5. Савин Г. Н. Концентрация напряжений около отверстий в оболочках. Теория пластин и оболочек. Труды 11 Всесоюзной конференции, Киев, 1962.
6. Савин Г. Н. Распределение напряжений в тонкой оболочке, ослабленной каким-либо отверстием. Проблемы механики сплошной среды. (К семидесятилетию академика Мусхелишивили. 1961).
7. Мюнц Г. Интегральные уравнения. 1934.

Азербайджанский государственный университет

Поступило 21. VI 1964

С. Э. Мөнбалыев

Ихтијари шәкилдә зәйфләдилмиш сферик өртүкләрдә јерли кәркинилекләрин тәдгиги һагында

#### ХУЛАСЭ

Мәгаләдә параметrik тәнлиji (3) шәклиндә зәйфләдилмиш сферик өртүкләрдә јерли кәркинилекләрин тәдгигине баҳылыр. Бу мәсәләнин һәлли (1) интеграл тәнлиjinин һәллинә кәтирилir; ахтарылан һәлл дәрд һоломорф функцијадан асылы (4) шәклиндә тапылыр.

Ахтарылан поломорф функцијалары тапмаг үчүн тәгриби (10) ифадәсине баҳылыр. Мәсәләнин һәлли (12) сонсуз хәтти чәбри тәнликләр системинин һәллинә кәтирилir. Бу тәнликләр системини һәлл едиб функцијалары тапмаг лазымдыр.

п47214

Центральная научная  
БИБЛИОТЕКА  
Академии наук Киргизской ССР

ФИЗИКА

Г. Б. АБДУЛЛАЕВ, Д. Ш. АБДИНОВ, Г. М. АЛИЕВ

**О ВЛИЯНИИ КИСЛОРОДА НА ЯВЛЕНИЯ ПЕРЕНОСА В СЕЛЕНЕ ВЫСОКОЙ ЧИСТОТЫ**

Электропроводность, теплопроводность, термоэдс, энергия активации при самодиффузии, плотность, вязкость, микротвердость необескислорожденного селена при введении металлических и неметаллических примесей переходят либо через максимум, либо через минимум при  $\sim 0,1\text{--}0,5\%$  [1--5].

Аналогичные концентрационные зависимости наблюдаются также у теллура, являющегося химическим и структурным аналогом селена [6].

Известно, что электрические свойства вещества главным образом определяются ближним порядком, а не дальним. Кроме того, в веществах, в которых при плавлении координационное число и, следовательно, ближний порядок существенно меняются, электропроводность при этом увеличивается скачкообразно; в веществах, в которых при плавлении не меняется координационное число и ближний порядок, электропроводность меняется без значительных скачков [7--9]. В этом отношении селен является аномальным.

Согласно [10], в селене при плавлении не меняются координационное число и ближний порядок, тогда как электропроводность при этом уменьшается на несколько порядков [12, 14].

Исследование физических свойств селена чистотой 99,9999 и 99,99999% до и после обескислороживания говорит о том, что вышеуказанное аномальное изменение явлений переноса обусловлено наличием кислорода в селене.

Обескислороживание селена или введение в селен ряда компенсирующих кислород примесей приводит к уменьшению электропроводности и термоэдс, а также к исчезновению скачка электропроводности и термоэдс при плавлении кристаллического селена и переводит селен в п-тип [11--12].

В данной работе приводятся результаты исследований влияния примеси сурьмы, эффективно компенсирующей акцепторное действие кислорода, на электрические свойства кристаллического и жидкого селена и теплопроводность кристаллического селена чистоты 99,9999% до и после обескислороживания и после окислороживания. Обескислороживание производилось по П. Т. Козыреву [15], первым способом с трехкратной перегонкой.

Методика измерения электропроводности ( $\sigma$ ) и теплопроводности ( $\lambda$ ) в зависимости от примесей и от температуры описана соответственно в работах [12--13]. Эффект Холла измерялся на постоянном токе компенсационным методом в магнитном поле 20 000 эрст.

В таблице представлены результаты измерений  $\sigma$ ,  $\lambda$  и холловской концентрации ( $n$ ) и подвижности ( $u$ ) носителей тока селена до обескислороживания, а также  $\sigma$  и  $\lambda$  после обескислороживания в зависимости от процентного содержания сурьмы.

Зависимость  $\sigma$ ,  $\lambda$ ,  $n$ ,  $u$  и энергии активации электропроводности  $\Delta E$  от примеси сурьмы

	0	0,05	0,125	0,25	0,5	0,75	1
Se—до обескислороживания							
$\sigma \cdot 10^4$ ( $\text{ом}^{-1}\text{см}^{-1}$ )	6,71	4,49	3,18	1,21	0,76	0,85	1,23
$n$ ( $\text{см}^{-3}$ )	$4 \cdot 10^{14}$	—	$1,8 \cdot 10^{14}$	$7 \cdot 10^{13}$	$4,9 \cdot 10^{13}$	—	$9 \cdot 10^{13}$
$u$ ( $\text{см}^2/\text{в-сек}$ )	10,45	—	10,9	10,2	9,5	—	8,54
$\lambda \cdot 10^3$ ( $\text{кал}/\text{см}\cdot\text{сек}\cdot\text{град}$ )	5,93	5,20	4,46	4,61	5,05	5,34	5,42
$\Delta E$ (эв)	2,00	—	1,88	—	1,76	—	1,46
Se—после обескислороживания							
$\sigma \cdot 10^6$ ( $\text{ом}^{-1}\text{см}^{-1}$ )	0,43	0,97	4,65	4,40	3,20	2,45	1,40
$\lambda \cdot 10^3$ ( $\text{кал}/\text{см}\cdot\text{сек}\cdot\text{град}$ )	4,90	4,31	3,95	3,96	3,95	3,96	3,95
Se—после окислороживания							
$\sigma \cdot 10^4$ ( $\text{ом}^{-1}\text{см}^{-1}$ )	4,42	3,20	1,01	0,88	0,45	0,68	0,86
$\lambda \cdot 10^3$ ( $\text{кал}/\text{см}\cdot\text{сек}\cdot\text{град}$ )	5,71	5,02	4,36	4,47	4,82	5,02	5,04

Как видно из таблицы, примесь сурьмы по-разному влияет на  $\sigma$  и  $\lambda$  до и после обескислороживания. В зависимости от количества Sb  $\sigma$  селена до обескислороживания уменьшается примерно в 10 раз (при 0,5% Sb), достигая минимума, а затем растет. После обескислороживания  $\sigma$  чистого селена уменьшается почти на три порядка и в зависимости от примесей Sb в начале увеличивается примерно в 10 раз, достигая максимума, а затем падает. В зависимости от количества Sb  $\lambda$  необескислорожденного селена уменьшается от  $5,93 \cdot 10^{-3}$  до  $4,61 \cdot 10^{-3}$   $\text{кал}/\text{см}\cdot\text{сек}\cdot\text{град}$ , достигая минимума, а затем растет.

Обескислороживание уменьшает  $\lambda$  чистого селена и почти снимает минимум на концентрационной зависимости  $\lambda$ .

Оксилороживание путем прогрева на воздухе при  $215^\circ\text{C}$  в течение 300 часов почти восстанавливает первоначальные значения и концентрационные зависимости  $\sigma$  и  $\lambda$ .

Можно полагать, что примесь сурьмы до 0,5% в необескислорожденном селене приводит к компенсации действия кислорода, уменьшению дырок и, следовательно,  $\sigma$ . При больших концентрациях примеси сурьмы сама создает избыточные локальные уровни, поэтому начинает расти  $n$  и  $u$ . Действительно, из таблицы видно, что  $n$  в селене в зависимости от содержания Sb проходит через минимум, а  $u$  монотонно уменьшается.

Обескислороживание исключает возможность компенсации кислорода примесью сурьмы, что приводит к исчезновению минимума на концентрационной зависимости  $\sigma$  и  $\lambda$ .

После обескислороживания эффект Холла измерить не удалось.

Температурная зависимость  $\sigma$  селена до и после обескислороживания представлена кривыми 1 и 2 на рис. 1, соответственно. Как видно из рис. 1, при плавлении необескислорожденного селена  $\sigma$  уменьшается приблизительно в 800 раз, а после обескислороживания—лишь в 5 раз.

Кривые 3–4 рис. 1 представляют температурные зависимости  $\sigma$  окислорожженного селена, т. е. после прогрева на воздухе обескислорожженого селена при  $215^{\circ}\text{C}$  в течение 150 и 350 часов, соответственно. Как видно, после окислороживания селена скачок при плавлении снова увеличивается. Среднее значение энергии активации  $\sigma$  в жидким состоянии необескислорожденного, обескислорожженного и окислорожженного селена составляет  $\Delta E = 2.38$ .

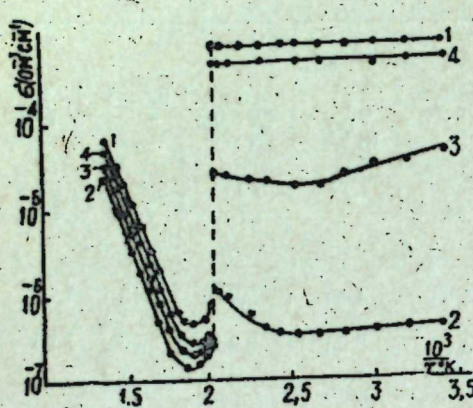


Рис. 1. Температурная зависимость электропроводности.

1—Se до обескислороживания,  
2—Se после обескислороживания,  
3 и 4—Se после окислороживания путем прогрева на воздухе обескислорожженного селена при  $215^{\circ}\text{C}$  в течение 150 и 350 часов, соответственно.

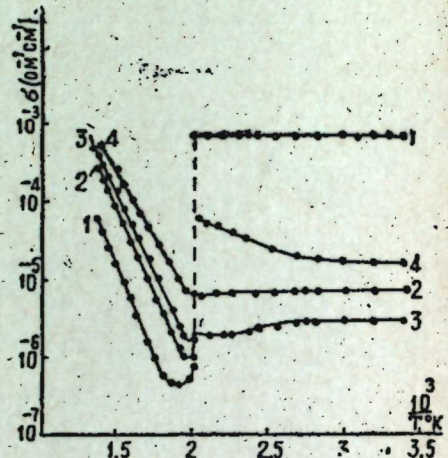


Рис. 2. Температурная зависимость электропроводности селена с примесью сурьмы.

1—Se, 2—Se+0,125% Sb, 3—Se+  
+0,5% Sb, 4—Se+1% Sb.

Температурная зависимость  $\sigma$  необескислорожденного селена с примесью сурьмы (в виде  $\text{Sb}_2\text{Se}_3$ ) представлена на рис. 2.

Как видно, примесь сурьмы сильно влияет на температурный ход и скачок  $\sigma$  при плавлении. В образцах с 0,5% Sb, в которых наблюдается минимум  $\sigma$  при комнатной температуре, скачок  $\sigma$  при плавлении составляет 1,5.

Энергии активации  $\sigma$  для жидкого селена с примесью Sb приведены в таблице.

Как видно из рис. 1 и 2, после обескислороживания и при введении примеси Sb в необескислорожденный селен наблюдаются аналогичные картины, т. е. величина скачка  $\sigma$  при плавлении гексагонального селена зависит от степени обескислороживания или от степени компенсации кислорода примесью Sb и обусловлена изменением как  $n$ , так и  $\mu$ .

В необескислорожденном селене  $n = 2,27 \cdot 10^{14}$  при  $216^{\circ}\text{C}$ ,  $3,2 \cdot 10^{13} \text{ см}^{-3}$  при  $350^{\circ}\text{C}$ , а  $\mu$  при тех же температурах  $18,65$  и  $3 \text{ см}^2/\text{в. сек}$  и растет с температурой в жидком состоянии.

Опыты показывают, что явления ползучести, расформовки, инерционности, наблюдаемые в селеновых выпрямителях и фотоэлементах, обусловлены главным образом кислородом.

В заключение приносим искреннюю благодарность проф. Д. Н. Наследову, А. Р. Регель и проф. Л. С. Стильбансу за интерес к работе и ценные дискуссии и советы.

## ЛИТЕРАТУРА

1. Алиев Г. М. и Абдуллаев Г. Б. "ДАН СССР", 116, № 4, 1957.
2. Алиев Б. Д., Алиев Г. М. "Изв. АН Азерб. ССР", серия физ.-мат. и техн. наук, № 4, 1951.
3. Абдуллаев Г. Б., Баркихоев Х. Г., Алиев Г. М. "ДАН Азерб. ССР", № 8, 1963.
4. Регель А. Р. и Тагиев Б. Г. "ФТТ", 6, 1001, 1964.
5. Абдуллаев Г. Б., Абдинов Д. Ш., Алиев Г. М. "ДАН Азерб. ССР", № 2, 1964.
6. Ланге В. И. и Регель А. Р. "ФТТ", 1, 559, 1959; "ФТТ", 1, 561, 1959; "ФТГ", 2, 2439, 1960.
7. Блюм А. И., Мокровский Н. П. и Регель А. Р. "Изв. АН СССР", серия физ., 16, 2, 139, 1952.
8. Регель А. Р. "Строение и физические свойства вещества в жидком состоянии". Изд. Киевск. гос. ун-та им. Т. Г. Шевченко, 1954.
9. Губанов А. И. "Квантово-электронная теория аморфных проводников". Изд. АН СССР, М.—Л., 1963.
10. Prins J. A., Dekeyser W. "Physika", 4, 900, 1937.
11. Мехтиева С. И., Алиев Г. М., Абдинов Д. Ш. "Изв. АН Азерб. ССР", серия физ.-мат. и техн. наук, № 4, 1964.
12. Абдуллаев Г. Б., Алиев Г. М. и др. "ФТТ", 4, 1018, 1964.
13. Абдуллаев Г. Б., Алиев Г. М., Баркихоев Х. Г. "ФТТ", 6, 3614, 1963.
14. Fekart F. "Ann. phys.", 14, 6—8, 233, 1954.
15. Козырев П. Т. "ФТТ", 1, 113, 1959.

Поступило 14. IX. 1964

Институт физики

Г. Б. Абдуллаев, Ч. Ш. Абдинов, Г. М. Элиев

Оксикенин јүксәк тәмизликли селендә дашыма һадисәләринә тә'сири  
ХУЛАСӘ

Ишдә оксикенин вә оксиленә һәрис олан сүрмә ашгарларының тәмизлиги 99,9999 олан бәрк вә маје селенин электрик хассәләринә, һәмчинин кристал селенин истилик кечирмәсинә тә'сири өјрәнилмишdir.

Мүәյҗән едилмишdir ки, селендә олан бир сырға һадисәләр, мәсәлән, метал ашгарлары илә электриккечирмә вә истиликечирмәнин азалыбы сонрадан артмасы, һәмчинин әrimә нәгтәсийндә электриккечирмәнин сычраышла азалмасы селендәки оксилен ашгарлары илә элагәдардыр.

Н. Н. МАКОВ, Р. А. АЛЕКПЕРОВ, Г. Х. ЭФЕНДИЕВ

## КОНЦЕНТРИРОВАНИЕ МИКРОКОЛИЧЕСТВ ЭЛЕМЕНТОВ ЭКСТРАКЦИЕЙ НАФТЕНОВЫМИ КИСЛОТАМИ В ПРИСУТСТВИИ „ДОБАВОК“

В настоящее время при переработке отходов атомной промышленности с целью извлечения радиоизотопов, в химической технологии для выделения редких элементов, находящихся в сырье в незначительных количествах, а также при проведении радиохимических и химических анализов широко используются различные методы концентрирования.

Концентрирование микроэлементов и их разделение осуществляется благодаря применению методов соосаждения гидроокислами и другими нерастворимыми соединениями тяжелых металлов [1], ионообменной хроматографии [2] и экстракцией различными органическими растворителями [3].

Среди указанных методов по своей производительности, простоте, а также возможности работы в широком интервале, концентрации извлекаемых элементов наиболее удобным и эффективным является метод экстракции.

В этом отношении всестороннее изучение экстракционной способности природных нафтеновых кислот, предложенных нами для экстракции значительного числа элементов как в макро, так и в микроколичествах, представляет большой теоретический и практический интерес.

В работах [4—5] показаны оптимальные условия извлечения при одновременном концентрировании элементов из разбавленных растворов и возможность отделения их друг от друга, а также от группы элементов, сопутствующих каждому из них, с применением нафтеновых кислот в качестве экстрагента.

Указанными работами установлено, что эффективная экстракция элементов нафтеновыми кислотами происходит при условии, если извлекаемый элемент находится в водном растворе в виде катиона и использовании соответствующих растворителей. При этом с изменением валентного состояния катиона перемещается область экстракции (по равновесной pH водной фазы) в ту или иную сторону.

Элементы, находящиеся в водном растворе в анионной форме (или анионном комплексе) или же склонные изменять свое валентное состояние во время экстракции, с переходом в анионную форму не экстрагируются вообще или же экстрагируются в незначительных коли-

чествах. Сюда же можно отнести относительно сильно гидролизованные в водном растворе катионы ( $Zr^{4+}$ ,  $Nb^{5+}$ ,  $Ti^{3+}$  и т. д.).

Однако можно добиться извлечения элементов, находящихся в водном растворе в анионной форме, если предварительно вводить второе соединение. Этому вопросу и посвящается настоящее сообщение.

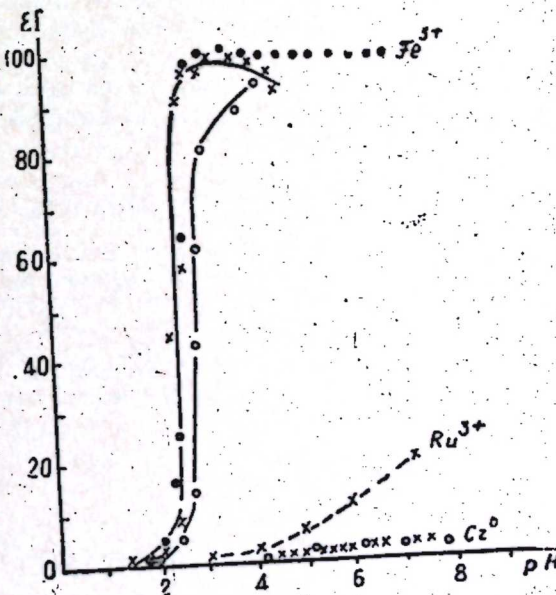
Опыты были проведены с микроконцентрациями элементов (порядка  $10^{-11}$  г-ион/л) радиоактивных изотопов  $Ru^{106}$ ,  $Cr^{51}$ ,  $Nb^{95}$ ,  $Sr^{89}$ . Методика работ заключалась в следующем: к раствору (200—300 мл) одного элемента или смеси, содержащему индикаторные количества радиоизотопов  $Zr^{95}$ ,  $Nb^{95}$ ,  $Ce^{144}$ ,  $Y^{91}$ ,  $Mn^{56}$ ,  $Ru^{106}$ ,  $Co^{60}$  и т. д. и 10—20 мг  $Fe^{3+}$ , прибавлялась щелочь ( $NH_4OH$  или  $KOH$ ) до появления осадка гидроокиси железа и производилась экстракция 5 мл одномолярного раствора нафтеновых кислот в керосине при комнатной температуре. После расслаивания фаз в растворе определялось содержание микроэлементов по активности. При этом количество микроэлементов переходящее в органический слой, составляло 96—98%. Реэкстракция производилась 20%-ным раствором  $H_2SO_4$  (соотношение объемов 1:1).

В таблице приведены данные, показывающие извлечение микроколичеств элементов экстракцией нафтеновыми кислотами в присутствии железа и без него. Как видно из таблицы, в присутствии железа количественно экстрагируются элементы, в отдельности не извлекаемые нафтеновыми кислотами. Кроме того, полностью извлекаются и те элементы, экстракция которых в обычных условиях происходит при высоких значениях pH водного раствора.

На примере  $Ru$  (III) и  $Cr$  (VI) была изучена зависимость экстракции микроколичеств элементов от степени извлечения железа при различных значениях pH водного раствора. Полученные результаты представлены на рисунке.

Как видно, микроколичества  $Ru$  (III) и  $Cr$  (VI) непосредственно не экстрагируются нафтеновыми кислотами при pH в интервале от 2 до 5, тогда как в присутствии железа концентрация их по мере роста экстракции железа в органическом слое непрерывно увеличивается. Количественное извлечение достигается в области максимума экстракции железа (pH 3—4). Дальнейшее повышение pH водного раствора приводит к некоторому снижению экстракции, особенно заметному для рутения.

Предварительными опытами установлено, что в зависимости от состава растворов в качестве „добавок“ наряду с  $Fe^{3+}$  могут быть применены  $Cu^{2+}$  и  $Mn^{2+}$ , как раздельно, так и совместно. Эти „добав-



Извлечение  $Ru$  (III) и  $Cr$  (VI) нафтеновыми кислотами в отсутствие и в присутствии  $Fe$  (сплошные линии).

Элементы	В отсутствии Fe		В присутствии Fe	
	pH	% E	pH	% E
Ru(III)	1-10	0	2,8	80
Cr(VI)	7,5	20	3,0	99
Nb(V)	6,0	30	2,8	96
Sr(II)	7,5	50	2,8	96
Ce, Y(III)	4,0	90	2,8	96

ки<sup>а</sup>, а также  $\text{Fe}^{3+} - \text{Cu}^{2+}$ ,  $\text{Mn}^{2+} - \text{Cu}^{2+}$  обеспечивают эффективное выделение и разделение следов элементов.

Таким образом, экстракция микроколичеств элементов нафтеновыми кислотами в присутствии специальных "добавок" позволяет с большей эффективностью извлекать их из водных растворов с одновременным концентрированием.

### Выводы

1. Изучена экстракция индикаторных количеств Ru(III) и Cr(VI) из водных растворов нафтеновыми кислотами в присутствии соли окисного железа.

2. Разработан рациональный способ концентрирования микроколичеств элементов экстракцией нафтеновыми кислотами в присутствии специальных "добавок".

### ЛИТЕРАТУРА

1. Троицкий К. В. Применение соосаждения для выделения следов различных металлов. ЖНХ. т. 1, № 5, 1956.
2. Ионообменная технология. М., Металлургиздат, 1959.
3. Блейк С., Баес С. Избранные доклады иностранных ученых, Т. 7. Технология атомного сырья, М., Атомиздат, 1959.
4. Эфендиев Г. Х., Алекперов Р. А. Применение нафтеновых кислот в качестве экстрагента металлов из водных растворов. "Азерб. хим. журн.", № 3, 1962.
5. Алекперов Р. А., Гейбатова С. С., Ахундова З. А. Экстракционное извлечение галлия и алюминия. Азерб. хим. журн. 1964 № 6.

Институт химии

Поступило 22. VII 1962

Н. Н. Маков, Р. А. Элэкбэров, Н. Х. Эфэндиев

Аз мигдарда элементләrin хүсуси əlavələrlə naften turshulary vasitəsilə gatyalaşdyrylmäsä

Мәгаләдә чүз'и мигдарда ( $1,0 \cdot 10^{-11}$  г-ион/л) Ru(III) və Cr(VI)-ун naften turshulary vasitəsilə учвалентли дәмир дузлары иштирак екstraksiyası ejrənilmişdir.

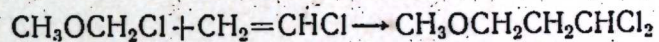
Тәдгигат нәтичесинде az мигдарда elementləri gatyalaşdyrmag üçün onlarны валентлийндən asylы olmajaраг, дәмир дузлары əlavə etməklə naften turshulary ilə eкstraksiya ja əsaslanan, расионал-үсул näzyrlanmyşdyr.

Б. Ф. ПИШНАМАЗЗАДЕ, Х. Д. ХАЛИЛОВ, А. Е. АЛИЕВ

### АЛКИЛИРОВАНИЕ АЛЬФАХЛОРМЕТИЛАЛКИЛОВЫХ ЭФИРОВ ВИНИЛХЛОРИДОМ

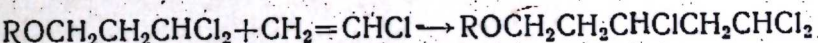
(Представлено академиком АН Азербайджанской ССР М. Ф. Нагиевым)

В развитие ранее опубликованных работ в области синтеза дихлорзамещенных эфиров [1—3] были произведены настоящие исследования. В литературе известна единственная патентная работа [4], где описана реакция присоединения альфахлорметилметилового эфира с винилхлоридом катализируемой хлористым цинком при температуре 20—30° и приводящей к получению метил 3,3-дихлорпропилового эфира по схеме:

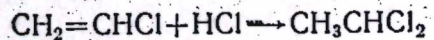


для данного соединения авторы приводят лишь его температуру кипения, других констант и доказательств структуры продукта не дано.

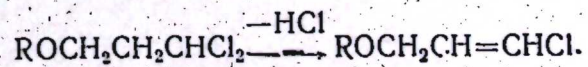
Целью расширения исследований в этой области и установления порядка присоединения альфахлорэфиров к винилхлориду нами синтезированы новые представители 3,3-дихлорпропилалкиловых эфиров, а строения полученных соединений доказаны рядом химических превращений. В результате исследований продуктов реакции выявлено, что присоединение альфахлорметилалкиловых эфиров к винилхлориду протекает в соответствии с правилом Марковникова, т. е. ион хлора в альфахлорэфире присоединяется с двойной связью в молекуле винилхлорида к наиболее бедному водородом углеродному атому. В качестве побочного продукта был выделен алкил, 3,5,5-трихлорпентиловый эфир (V):



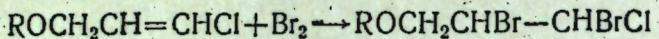
и этилиденхлористый (VI)



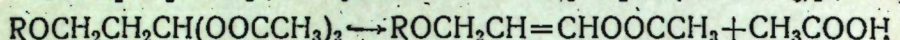
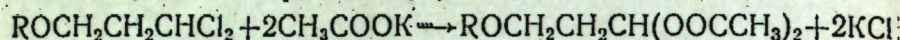
Отщеплением элементов хлористого водорода из алкил, 3,3-дихлорпропилового эфира путем действия спиртощелочного раствора получено 1-алкокси, 3-хлорпропен-2 (VII):



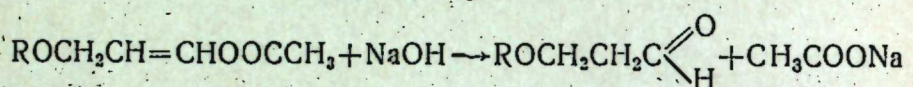
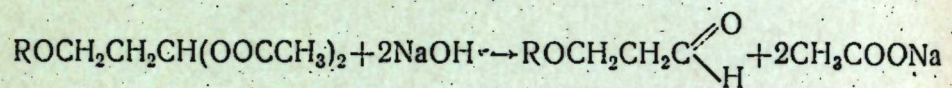
На базе образовавшегося 1-алкокси, 3-хлорпропена-2 методом бромирования на холода был синтезирован 1-алкокси, 3-хлоро, 2,3-дихлорпропан (VIII):



При действии на алкил, 3,3-дихлорпропиловый эфир калийацетатом наряду с ожидаемым 1-алкокси, 3,3-диацетатпропаном (IX), получен 1-алкокси, 3-ацетатпропен-2 (X)



Последнее легко обнаруживается в случае, когда берется в качестве реакционной среды малое количество ледяной уксусной кислоты. Полученные продукты реакции в щелочной среде превращены в  $\beta$ -алкоксипропионовый альдегид (XII)



### Экспериментальная часть

#### 1. Синтез метил, 3,3-дихлорпропилового эфира (I).

В цилиндре емкостью 250 мл к 160 г альфаахлорметилметилового эфира прибавляли 8 г (5% на взятый хлорэфир) свежеплавленного порошкообразного хлористого цинка. Через смесь пропускали тщательно очищенный от ацетилена и просушенный от влаги винилхлорид. По мере пропускания винилхлорида он растворяется в хлорэфире, частично вступая в реакцию. Подача винилхлорида продолжалась до тех пор пока объем и вес реакционной смеси не изменяются. В конце реакции цвет катализата изменяется от темно-бурового до коричневого. Полученный катализат обрабатывался водой, 5%-ным раствором карбоната натрия, снова водой, сушился над хлористым кальцием и подвергался фракционировке. Собраны фракции (в %):

I фр.	56—60°/760 мм	—5
II фр.	60—138°/760 мм	—12
III фр.	138—140°/760 мм	—46,3
IV фр.	140—145°/760 мм	—4,7
V фр.	30—84°/3,5 мм	—1,5
VI фр.	84—87°/3,5 мм	—5,5
VII фр.	Остаток	22

Из полученных фракций более подробно изучены I, III, IV.

I фракция с темп. кип. 56—60° при 760 мм;  $n_D^{20}$  — 1,4138;  $d_4^{20}$  — 1,1745;  $\text{MR}_{\text{найд.}}$  — 21,05;  $\text{MR}_{\text{выч.}}$  — 21,17 с выходом 5% (на катализат) оказалась этилденхлористым (VI)—продуктом гидрохлорирования винилхлорида. Литературные данные [5]: темп кип. 57,3°;  $n_D^{20}$  — 1,1465;  $d_4^{20}$  — 1,1750.

III фракция с темп. кип. 138—140° при 760 мм;  $n_D^{20}$  — 1,4390;  $d_4^{20}$  — 1,1693;  $\text{MR}_{\text{найд.}}$  — 32,17;  $\text{MR}_{\text{выч.}}$  — 32,05 представляла собой искомый 1-алкокси, 3,3-дихлорпропан (I), выход 46,3% (на катализат).

VI фракция с темп. кип. 84—87°С при 3,5 мм  $n_D^{20}$  — 1,4689;  $d_4^{20}$  — 1,2524 оказалась продуктом алкилирования 1-алкокси, 3,3-дихлорпропана ви-

нилхлоридом, т. к.: 1-алкокси, 3,5,5-трихлорпентан (V)  $\text{MR}_{\text{найд.}}$  — 45,69;  $\text{MR}_{\text{выч.}}$  — 46,15, выход 5,5% (на катализат).

Следует отметить, что по данным [4], в качестве побочного продукта образуется 1,3-диметокси, 2-(дихлорметил)-пропан, который также не был обнаружен в продуктах реакции. По-видимому, природа побочных продуктов связана с условием ведения опыта, в частности, зависит от количества взятого катализатора.

Кроме альфаахлорметилметилового эфира было проведено также алкилирование винилхлоридом альфаахлорметил-этилового (II), н.-пропилового (III), —н.-бутилового (IV) эфиров, константы полученных продуктов даются под соответствующим номером в таблице.

#### 2. Синтез 1-алкокси, 3-хлорпропена-2 (VII).

В круглодонной колбе емкостью 100 мл, снабженной мощным обратным холодильником смесь 15 г 1-алкокси, 3,3-дихлорпропана (I), 7 г едкого калия и 10 мл этилового спирта кипятилась в течение 4 ч. После соответствующей обработки продукт реакции подвергался перегонке. Была выделена основная фракция с темп. кип. 107—109° при 753 мм;  $n_D^{20}$  — 1,4345;  $d_4^{20}$  — 1,0433;  $\text{MR}_{\text{найд.}}$  — 26,61;  $\text{MR}_{\text{выч.}}$  — 26,71, которая представляла собой 1-алкокси, 3-хлорпропен-2 (VII), выход 35,8%.

#### 3. Синтез 1-алкокси, 2,3-дихлорпропана (VIII).

В колбе емкостью 25 мл с капельной воронкой 2,5 г 1-алкокси-3-хлорпропен-2 (VII) было охлаждено до —15°C, после чего взбалтыванием по каплям прибавлено рассчитанное количество брома. По окончании реакции, полученный продукт подвергался перегонке. Была выделена основная фракция с темп. кип. 83—85° при 10 мм:  $n_D^{20}$  — 1,5214;  $d_4^{20}$  — 1,9148;  $\text{MR}_{\text{найд.}}$  — 42,41;  $\text{MR}_{\text{выч.}}$  — 42,71 представляла собой 1-алкокси, 2,3-дихлорпропан (VIII). Выход 70%.

#### 4. Синтез 1-алкокси, 3,3-диацетатпропана (IX).

В стеклянной ампуле берется 36 г 1-алкокси, 3,3-дихлорпропана, 52 г свежеобезожженного мелкоразмельченного ацетата калия и 16 г ледяной уксусной кислоты и после запаивания помещается в автоклав. Последний герметично закрывается и нагревается 12 ч при 200° и 12 ч при 220°. После охлаждения ампула вынимается из автоклава и вскрывается, содержимое ее обрабатывается серным эфиром. После отгона серного эфира остаток подвергается вакуум-перегонке. При этом собраны фракции:

I фр.	34—38°/70 мм	—3,5 г
II фр.	38—45°/70 мм	—3,0
III фр.	45—49°/70 мм	—3,6
IV фр.	49—52°/70 мм	—6,9
V фр.	50—54°/63 мм	—2,8
VI Остаток		—1,0

I фракция с темп. кип. 34—38° при 70 мм:  $n_D^{20}$  — 1,3995;  $d_4^{20}$  — 0,9830;  $\text{MR}_{\text{найд.}}$  — 32,03;  $\text{MR}_{\text{выч.}}$  — 32,75 представляла собой 1-алкокси, 3-ацетат, 3-хлорпропен-2 (X), выход 16% (на катализат).

IV фракция с темп. кип. 49—52° при 70 мм:  $n_D^{20}$  — 1,3980;  $d_4^{20}$  — 1,0288;  $\text{MR}_{\text{найд.}}$  — 44,57;  $\text{MR}_{\text{выч.}}$  — 44,10, выход 31,4% (на катализат) является искомым 1-алкокси, 3,3-диацетатпропаном (IX).

При проведении аналогичного опыта с 10 г этил, 3,3-дихлорпропилового эфира, 13,7 г ацетатом калия и 1 г ледяной уксусной кислотой получены две фракции:

I фр.	61—67° при 120 мм	—1 г
II фр.	67—68° при 120 мм	—2,9
III фр.	Остаток	—1,1

№ вещества п/п	Формула	Temп. кипения при остаточном давлении, м.м.	$n_D^{20}$	$d_4^{20}$	MR	[P]	Элементарный анализ						Выход, %			
							найд.			вычисл.						
							C	H	C1	C	H	C1				
I	$\text{CH}_3\text{OCH}_2\text{CH}_2\text{CHCl}_2$	138—140	1,4390	1,1693	29,5	32,17	285,0	287,0	33,39	5,9	49,40	33,56	5,6	49,65	46,3	
II	$\text{C}_2\text{H}_5\text{OCH}_2\text{CH}_2\text{CHCl}_2$	54—57/20	1,4390	1,1236	28,9	36,74	324,0	327,0	38,56	6,32	45,00	38,21	6,37	45,22	37,2	
III	$\text{C}_3\text{H}_7\text{OCH}_2\text{CH}_2\text{CHCl}_2$	39—41/1,5	1,4380	1,0824	23,5	41,47	365,0	367,0	42,02	6,99	41,10	42,10	7,02	41,52	29,9	
IV	$\text{C}_4\text{H}_9\text{OCH}_2\text{CH}_2\text{CHCl}_2$	47—49/0,5	1,4422	1,0587	28,3	46,25	45,9	403,0	407,0	45,78	7,44	38,04	45,4	7,57	38,38	25,4
V	$\text{CH}_3\text{OCH}_2\text{CH}_2\text{CHClCH}_2\text{CHCl}_2$	84—87/3,5	1,4689	1,2524	37,1	45,69	46,15	404,9	406,6	35,36	5,27	51,53	35,04	5,35	51,82	5,5
VI	$\text{CH}_3\text{CHCl}_2$	56—60/760	1,4138	1,1745	—	21,05	21,17	—	—	—	—	71,54	—	—	71,72	5,0
VII	$\text{CH}_3\text{OCH}_2\text{CH}=\text{CHCl}$	107—109/753	1,4345	1,0433	29,47	26,61	26,71	237,8	238,6	45,12	6,63	33,21	45,07	6,57	33,33	35,8
VIII	$\text{CH}_3\text{OCH}_2\text{CHBr}-\text{CHBrCl}$	83—85/10	1,5214	1,9148	42,42	42,41	42,71	355,2	354,6	17,97	2,61	73,05	18,01	2,63	73,36	70,0
IX	$\text{CH}_3\text{OCH}_2\text{CH}_2\text{CH}\left(\text{OC}\begin{array}{l} \diagdown \\ \diagup \\ \text{CH}_3 \end{array}\right)_2$	49—52/70	1,3980	1,0288	27,58	44,57	44,10	423,2	424,2	50,27	7,49	—	50,53	7,37	—	31,4
X	$\text{CH}_3\text{OCH}_2\text{CH}=\text{CHOC}\begin{array}{l} \diagdown \\ \diagup \\ \text{CH}_3 \end{array}$	34—38/70	1,3995	0,9830	—	32,03	32,74	—	—	55,44	7,73	—	55,38	7,69	—	16,0
XI	$\text{C}_2\text{H}_5\text{OCH}_2\text{CH}=\text{CHOC}\begin{array}{l} \diagdown \\ \diagup \\ \text{CH}_3 \end{array}$	67—68/120	1,4201	0,9994	—	36,55	37,35	—	—	58,19	3,26	—	58,33	3,33	—	52,7
XII	$\text{CH}_3\text{OCH}_2\text{CH}_2\text{C}\begin{array}{l} \diagdown \\ \diagup \\ \text{H} \end{array}$	110—111/760	1,4320	1,0207	—	22,36	22,32	—	—	54,49	9,14	—	54,54	9,09	—	45,3
XIII	$\text{C}_2\text{H}_5\text{OCH}_2\text{CH}_2\text{C}\begin{array}{l} \diagdown \\ \diagup \\ \text{H} \end{array}$	128—129/760	1,4339	0,9993	—	26,57	26,94	—	—	58,67	9,92	—	58,82	9,80	—	55,4

II-фракция с темп. кип. 67—68° при 120 м.м.;  $n_D^{20}=1,4201$ ;  $d_4^{20}=0,9994$ ;  $\text{MR}_{\text{найд.}}=36,55$ ;  $\text{MR}_{\text{выч.}}=37,35$  представляла собой 1-этокси-, 3-ацетатпропен-2 (XI), выход—52,7% (на катализат).

5. Действие раствора едкого натрия на продукты IX, X, XI:

а) обработкой продуктов IX и X с 10%-ным водным раствором едкого натрия при 50—60° были получены соединения с одинаковой структурой, имеющие темп. кип. 110—111°C (определен по Сиволовому)  $n_D^{20}=1,4320$ ;  $d_4^{20}=1,0207$ ;  $\text{MR}_{\text{найд.}}=22,36$ ;  $\text{MR}_{\text{выч.}}=22,32$ , который представлял собой β-метоксипропионовый альдегид (XII);

б) при обработке продукта XI с 10%-ным водным раствором едкого натрия в аналогичном порядке получено соединение с темп. кип 128—129°C (определен по Сиволовому):  $n_D^{20}=1,4339$ ;  $d_4^{20}=0,9993$ ;  $\text{MR}_{\text{найд.}}=26,57$ ;  $\text{MR}_{\text{выч.}}=26,91$  представляющий собой β-этоксипропионовый альдегид (XIII). Наличие альдегидной группы доказано образованием серебряного зеркала.

## Выводы

Взаимодействием альфахлорметил-, метилового, -тилового, -н-пропилового и -н-бутилового эфиров с винилхлоридом синтезировано и охарактеризовано 4 представителя алкил-, 3,3-дихлорпропилового эфира. При этом строение продукта присоединения доказано путем ряда химических превращений: дегидрохлорированием, действием ацетата калия и дальнейшим гидролизом полученного продукта реакции.

## ЛИТЕРАТУРА

- Пишнамаззаде Б. Ф., Гасанова Ш. Д. Азерб. хим. ж., 1960, № 1,
- Пишнамаззаде Б. Ф. ДАН Азерб. ССР, 1963, 19, № 12, 19.
- Шахал Мамедов, Султанов Н. Т., Садыхзаде С. И., Ходжаева Ш. Я. Пишнамаззаде Б. Ф. Азерб. хим. ж., 1954, № 1, 81.
- Пат. ФРГ, 898 588, 03 12, 1953; Chem. Abst. 52, 10143, 1958.
- Справочник-словарь орган. соединений, т. II, 36. Изд. ИЛ, 1949.

Поступило 19. V 1964

## ИНХП

Б. Ф. Пишнамаззадэ, Х. Ч. Хэлилов, Э. Ю. Элиев

Альфахлорметилалкил-ефирлэринин винилхлоридлэ алкиллэшмәси

## ХУЛАСӘ

Бу сәнәдә апарылмыш тәдгигатлары кенишләндирәрәк алфахлорметилалкил-ефирлэринин винилхлоридлэ бирләшмә реаксијасы өјренилмишdir.

Тәдгигат нәтичесинде мә'лүм олмушшур ки, алфахлорметилалкил-ефирлэринин винилхлоридлэ бирләшмәси Марковников гајдасы үзәк кедир. Даһа дөргусу, алфахлорефиранда олан хлор иону винилхлорид молекулида һидрокениң аз олан карбон атомына бирләшир.

Апарылмыш тәдгигат нәтичесинде алфахлорметил-метил-, -н-пропил вә -н-бутил ефирлэринин винилхлоридлэ бирләшмә мәһсүлу олан алкил-, 3,3-дихлорпропил ефиринин 4 нұмајәндәси синтез олунмуш вә ҳарактеризә едилмишdir (чәдвәлә бах).

Синтез едилмиш маддәләрин гурулушларының дүзкүйлүjү бир сыра кимәви чөврилмәләрлә сүбт едилмишdir.

ОРГАНИЧЕСКАЯ ХИМИЯ

С. Д. МЕХТИЕВ, Р. А. БАБАХАНОВ, Ш. Т. АХМЕДОВ, Р. А. ИСМАИЛОВА

**ГАЛОИДАЛКИЛИРОВАНИЕ МЕТИЛЦИКЛОГЕКСАНА  
ГАЛОИДОЛЕФИНАМИ.**

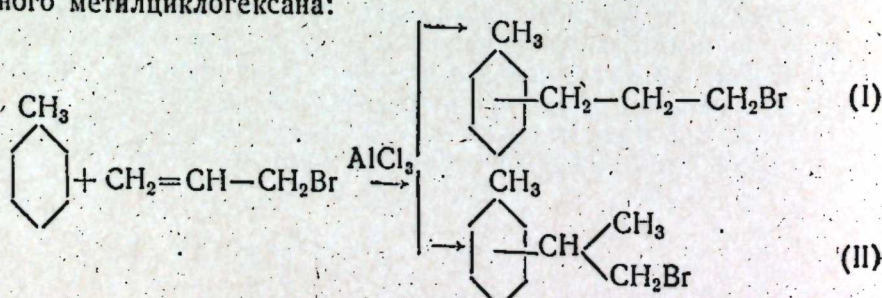
Алкилциклогексановые углеводороды с галоидным атомом в боковой цепи представляют интерес в качестве промежуточного продукта для синтеза целого ряда труднодоступных и малоизученных органических соединений.

В предыдущих работах одного из нас, посвященных получениюmonoхлорзамещенных циклогексановых углеводородов [1—5] было установлено, что при хлорировании метил-, этил-, изопропилциклогексанов и изомеров диметилциклогексана не зависимо от примененного метода во всех случаях замещаются лишь водородные атомы ядра, за исключением 1,4-диметилциклогексана, при хлорировании которого образуется также до 30% первичного монохлорида. Известен также метод получения галоидпроизводных циклогексановых углеводородов с атомом галоида в боковой цепи на основе соответствующих спиртов. Более перспективным представляется метод, основанный на конденсации галоидзамещенных циклогексановых углеводородов с олефинами при низких температурах в присутствии хлористого алюминия [6, 7]. Этим исчерпываются литературные данные по синтезу указанного класса соединений.

В настоящем сообщении приводятся результаты экспериментов по получению циклогексановых углеводородов, содержащих в боковой цепи атом галоида. Синтез осуществлен реакцией между метилциклогексаном и галоидолефинами в присутствии хлористого алюминия.

Исследование состава реакционной смеси показало, что основным продуктом реакции, получающимся при взаимодействии метилциклогексана с галоидолефинами является 1,3-галоидалкилзамещенный метилциклогексан.

Галоидалкилирование метилциклогексана галоидолефинами, в частности бромистым аллилом, может протекать с образованием (по структуре галоидалкильного радикала) двух изомеров галоидалкилзамещенного метилциклогексана:



Спектральный (методами ИКС и КР) и химический анализы полученного соединения и продуктов его последовательного превращения в соответствующие ацетат, спирт и диалкилциклогексан позволили установить, что оно представляет собой галоидалкилметилциклогексан с атомом галоида в  $\gamma$ -положении.

Протекание реакции по схеме I противоречит общепринятому правилу Марковникова, тем более, что при проведении аналогичного взаимодействия между ароматическими углеводородами и галоидолефинами последние присоединяются к ароматическому компоненту в полном соответствии с вышеупомянутым правилом [8—14].

В реакционной смеси наряду с  $\gamma$ -галоидалкилцикланами нами обнаружены и идентифицированы также диалкилциклогексаны. Так, при взаимодействии метилциклогексана с аллил- и металлилгалогенидами имеет место образование 1-метил-3-пропилциклогексана и 1-метил-3-изобутилциклогексана соответственно.

**ЭКСПЕРИМЕНТАЛЬНАЯ ЧАСТЬ**

Исходный метилциклогексан был получен гидрированием толуола над Ni-кизельгурным катализатором. Галоидолефины: хлористый аллил, бромистый аллил, хлористый и бромистый металлилы были синтезированы из соответствующих непредельных спиртов по известной методике [15]. Все исходные соединения использовались в реакциях в свежеперегнанном виде и имели физико-химические показатели, близко совпадающие с литературными данными. Опыты проводились на обычной лабораторной установке, используемых для проведения процесса алкилирования. Исследовалось влияние температуры, соотношения реагирующих компонентов, количества катализатора и продолжительности опыта на реакцию галоидалкилирования. Температура реакции варьировалась от  $-5$  до  $+40^\circ\text{C}$ , соотношение циклана к галоидолефтину от 1:1 до 8:1, продолжительность опыта от 1 до 4 ч и количество хлористого алюминия от 5 до 15%, считая на исходную смесь.

Наиболее подходящими условиями для получения максимальных выходов галоидалкилированных соединений оказались: температура реакции  $0^\circ\text{C}$ , соотношение циклан : галоидолефин 1:0,5, количество хлористого алюминия — 10% и продолжительность реакции 2 ч. Отклонение от указанных условий реакции уменьшало выход целевых продуктов, а в отдельных случаях образование последних не имело места. Результаты характерных опытов, проведенных при оптимальных условиях реакции по галоидалкилированию метилциклогексана, суммированы в табл. 1. Как видно из данных таблицы из галоидалканов с наиболее высокими выходами галоидалкилцикланов реагировал бромистый аллил, в то время как выход соответствующего хлорида при использовании хлористого аллила был наиболее низким. Такое положение, очевидно, можно объяснить природой галоидного атома по разному влиянию на степень поляризации двойной связи. Металлилгалогениды по своей реакционной способности занимают промежуточное положение. Здесь, по-видимому, сказывается влияние метильной группы, индукционный эффект которой направлен в противоположную сторону индукционного эффекта, вызываемого атомом хлора, вследствие чего активность двойной связи по сравнению с хлористым аллилом несколько повышена.

Как было отмечено выше, нами проведен ряд превращений синтезированных галоидалкилцикланов и получены соответствующие им по структуре сложные эфиры и спирты, с выходами близкими к теоретическому (85—95%). (О синтезе спиртов и эфиров будет сообщено отдельно).

Таблица 1

Результаты опытов по галоидалкилированию метилциклогексана

№ опытов

Условия опытов* и характеристика продуктов реакции	Галоидалкилирующие соединения			
	Хлористый аллил	Бромистый аллил	Хлористый металлил	Бромистый металлил
Взято, г				
Метилциклогексан галоидолефин	98	98	98	32,7
AlCl <sub>3</sub>	38,2	60	45,3	22,5
	13,6	15,8	14,3	5,5
Получено, г				
Органического слоя	110,2	131,3	105,11	37,9
Катализаторного слоя	37,7	40,2	51,8	20,9
Потери	1,9	2,3	0,7	1,2
Выход продукта галоидалкилирования				
1) на органический слой	6,9	22,9	12,2	11,3
2) от теории на взятый галоидолефин	8,5	27,6	13,6	10,9
3) на превращенный метилциклогексан	45,2	56,1	20,4	19,3

\* Условия опытов  $t=0^\circ\text{C}$ , соотношение  $\text{C}_6\text{H}_{11}\text{CH}_3$ :галоидолефин—1:0,5 количество  $\text{AlCl}_3$ —10% от веса исходной смеси, продолжительность опыта—2 ч.

Таблица 2

Физико-химические константы синтезированных соединений

Формулы и названия	Кип. (3м.м.) °C	$d_4^{20}$	$n_D^{20}$	Мол. вес	MR		% галои- да
					найд.	выч.	
<chem>CC1(Cl)CCCCC1</chem> CH <sub>2</sub> -CH <sub>2</sub> -CH <sub>2</sub> Cl	87—90	0,9711	1,4685	174,6	50,03	51,04	20,02
<chem>CC1(Cl)CCCCC1</chem> CH <sub>2</sub> -CH <sub>2</sub> -CH <sub>2</sub> B <sub>2</sub>	112—115	1,1360	1,4840	219,0	55,05	53,945	36,24
<chem>CC1(Cl)CCCCC1</chem> CH <sub>2</sub> -CH(CH <sub>3</sub> )-CH <sub>2</sub> Cl	110—115	0,9487	1,4685	187,5	55,01	55,665	18,82
<chem>CC1(Cl)CCCCC1</chem> CH <sub>2</sub> -CH(CH <sub>3</sub> )-CH <sub>2</sub> B <sub>2</sub>	124—128	1,1453	1,4860	233,0	58,43	58,563	34,15
<chem>CC1(Cl)CCCCC1</chem> CH <sub>2</sub> -CH <sub>2</sub> -CH <sub>2</sub> OCOCH <sub>3</sub>	100—105	0,9347	1,4520	196,0	57,4	56,5	—
<chem>CC1(Cl)CCCCC1</chem> CH <sub>2</sub> -CH(CH <sub>3</sub> )-CH <sub>2</sub> OCOCH <sub>3</sub>	103—109	0,9361	1,4580	210,0	61,3	61,12	—
<chem>CC1(Cl)CCCCC1</chem> CH <sub>2</sub> -CH <sub>2</sub> -CH <sub>2</sub> OH	102—107	0,9098	1,4660	156,0	47,5	47,705	—
<chem>CC1(Cl)CCCCC1</chem> CH <sub>2</sub> -CH(CH <sub>3</sub> )-CH <sub>2</sub> OH	106—110	0,8927	1,4670	170,0	52,61	52,32	—

Большинство синтезированных соединений получено и охарактеризовано нами впервые. В табл. 2 приводятся их физико-химические показатели.

## ЛИТЕРАТУРА

- Мехтиев С. Д., Алиев А. Ф. «ДАН Азерб. ССР», 1961, XVII, 4. 2. Мехтиев С. Д., Алиев А. Ф. «ДАН Азерб. ССР», 1961, XVII, 7. 3. Мехтиев С. Д. «Азерб. хим. журн.», 1961, 6, 73. 5. Мехтиев С. Д., Алиев А. Ф. «Азерб. хим. журн.», 1962, 2, 19. 6. Schmerling L. J. Am. Chem. Soc., 1949, 71, 638. 7. Топчиев А. В., Мехтиев С. Д., Садыхов Ш. Т., Солдатова В. А. «Азерб. хим. журн.» 1962, № 1. 8. Мамедалиев Ю. Г., Бабаханов Р. А., Магеррамов М. Н., Салимов М. А., Мусаева А. Р. «Азерб. хим. журн.», 1963, № 5. 9. Мамедалиев Ю. Г., Бабаханов Р. А., Магеррамов М. Н. «ДАН СССР», 1963, 151, 3. 10. Мамедалиев Ю. Г., Бабаханов Р. А., Мусаева А. Р., Магеррамов М. Н. «Азерб. хим. журн.», 1963, № 3. 11. Мамедалиев Ю. Г., Бабаханов Р. А., Магеррамов М. Н. Уч. зап. АГУ, 1962, 3. 12. Мамедалиев Ю. Г., Бабаханов Р. А., Магеррамов М. Н. «ДАН Азерб. ССР», 1962, № 2. 13. Мамедалиев Ю. Г., Шахгельдиев М. А., Бабаханов Р. А. «ДАН Азерб. ССР», 1962, № 6. 14. Мамедалиев Ю. Г., Бабаханов Р. А., Магеррамов М. Н. «Азерб. хим. журн.», 1961, № 6. 15. Синтез органических препаратов. Сб. 1, 110, 1949.

Поступило 29.VII 1964

С. Ч. Мейдиев, Р. Э. Бабаханов, Ш. Т. Эмэдов, Р. Э. Исмаилова

## Метилциклоексанының һалоидолефилләрлә һалоидалкилләшдирилмәси

## ХУЛАСӘ

Илк дәфә олараг мүхтәлиф гуруулушлу һалоидолефилләрин метилциклоексана тә'сирі өјрәнилмишdir. Реаксија мүхтәлиф шәрайтләрдә апарылмыш вә ү-һалоидалкилметилциклоексаның алымасының оптималь шәрайти тапылмышдыр. Синтез олунмуш һалоидалкилметилциклоексанлар мә'лум реаксијалар үзрә спиртләрә вә ефирләрә чеврилмишdir. Алымыш маддәләрин һамысы јенидир. Соңунчуларын гуруулушу физики вә кимҗәви үсулларла тә'жин едилмишdir,

ОРГАНИЧЕСКАЯ ХИМИЯ

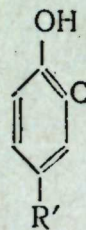
Х. М. ИСМАЙЛОВ, О. А. ОСИПОВ, А. Д. ГАРНОВСКИЙ,  
О. Е. КАШИРЕНИНОВ, Н. Л. ЧИКИНА

**КОМПЛЕКСНЫЕ СОЕДИНЕНИЯ МЕТАЛЛОВ IV ГРУППЫ  
С ДИАЛКИЛАМИНОМЕТИЛФЕНОЛАМИ И ИХ СУЛЬФИДАМИ**

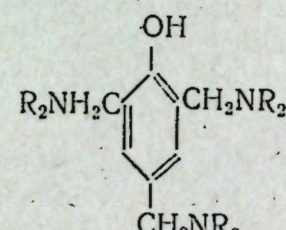
(Представлено академиком АН Азербайджанской ССР М. Д. Далинским)

С целью дальнейшего изучения физико-химических свойств и расширения сферы практического применения диалкиламинометилфенолов и их сульфидов нами впервые исследована возможность использования указанных соединений в качестве лигандов комплексообразования.

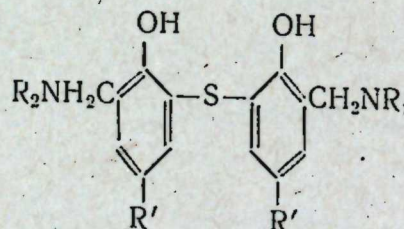
В настоящей работе изучена комплексообразующая способность диалкиламинометилфенолов (I—III) и моносульфида (IV) с металлами четвертой группы—торием, оловом и титаном.



I R=R'=CH<sub>3</sub>.  
II R=C<sub>2</sub>H<sub>5</sub>; R=CH<sub>3</sub>



III R=CH<sub>3</sub>



IV R=CH<sub>3</sub>;  
R'=трет. C<sub>4</sub>H<sub>9</sub>.

Исходные соединения (I—IV) были синтезированы конденсацией *n*-алкилфенолов и сульфидалкилфенолов с формальдегидом и диалкиламиами [1—3]; тетранитрат тория высушивался при 105° в ваку-

уме (10 мм рт. ст.) и содержал 2,5 молекулы воды; тетрахлориды титана и олова очищались по методике, описанной одним из нас ранее [4].

Синтез комплексных соединений был осуществлен при смешивании эфирных (для тетранитрата тория или четыреххлористоуглеродных для тетрахлоридов титана и олова) растворов компонентов при комнатной температуре.

Полученные комплексные соединения тория и олова представляют собой бесцветные кристаллы (в случае титана комплексы окрашены в оранжевый цвет), плохо растворимые в большинстве органических растворителей, гидролизующихся в воде; несколько лучшей растворимостью обладают комплексы в нитробензоле.

Результаты элементарного анализа, состав, физические свойства и название полученных комплексных соединений приведены в таблице.

№ пп	Название соединений, состав	Т. пл., °C	Найдено,		Брутто-формула	Вычисле- но
			3	4		
1	Тетра-(2-диметиламинометил-4-метилфенол)-торий тетранитрат: 4LiTh-(NO <sub>3</sub> ) <sub>4</sub>	42,61 102	C 42,61 H 5,12 Th 20,85		C <sub>10</sub> H <sub>20</sub> N <sub>8</sub> O <sub>16</sub> Th	C 42,11 H 5,26 Th 20,35
2	Три-(2-диэтиламинометил-4-трет. амил-фенол-торий тетранитрат 3Li·Th(NO <sub>3</sub> ) <sub>4</sub>	46,27 90	C 46,27 H 6,59 Th 18,27		C <sub>18</sub> H <sub>31</sub> N <sub>7</sub> O <sub>15</sub> Th	C 46,95 H 6,59 Th 18,92
3	2, 4, 6-три (диметиламинометил)-фенол-торий тетранитрат: al·Th(NO <sub>3</sub> ) <sub>4</sub> (разл.)	31,38 170	Th 31,38 31,05		C <sub>15</sub> H <sub>27</sub> N <sub>7</sub> O <sub>13</sub> Th	Th 31,14
4	1,1'-диокси-2-(диметил-аминометил)-4,4'-дитрет-бутилдифенил-6,6'-сульфид-олово тетранитрат: Li·Th(NO <sub>3</sub> ) <sub>4</sub> до 300	37,56 N 9,17 Th 23,23	C 37,56 H 5,58 N 9,17 Th 23,23		C <sub>30</sub> H <sub>45</sub> O <sub>14</sub> N <sub>6</sub> STh	C 36,71 H 5,01 N 8,57 Th 23,67
5	Бис(2-диметиламинометил-4-метилфенол)-олово тетрахлорид: 2Li·SnCl <sub>4</sub> (разл.)	40,63 122	C 40,63 H 5,53 N 5,05 Sn 19,55		C <sub>20</sub> H <sub>30</sub> N <sub>2</sub> O <sub>2</sub> Cl <sub>4</sub> Sn	C 40,62 H 5,09 N 4,74 Sn 20,06 N 2,74 Sn 23,28
6	2-Диметиламинометил-4-метилфенол-олово тетрахлорид: Li·SnCl <sub>4</sub> (разл.)	3,04 124	C 3,04 H 5,53 N 5,05 Sn 19,55		C <sub>16</sub> H <sub>27</sub> NOCl <sub>4</sub> Sn	
7	2, 4, 6-три-(диметиламинометил)-фенол-олово тетрахлорид: Li·SnCl <sub>4</sub> (разл.)	7,14 219	N 7,14 Sn 22,87		C <sub>15</sub> H <sub>27</sub> N <sub>3</sub> OCl <sub>4</sub> Sn	N 7,99 Sn 22,57
8	1,1'-диокси-2-(диметил-аминометил)-4,4'-дитрет. бутилдифенил-6,6'-сульфид-олово тетрахлорид: Li·SnCl <sub>4</sub> (разл.)	46,92 249	C 46,92 H 5,86 N 3,78 Sn 15,15		C <sub>30</sub> H <sub>45</sub> N <sub>3</sub> O <sub>2</sub> SCl <sub>4</sub> Sn	C 47,28 H 6,30 N 3,68 Sn 15,58 N 3,94
9	2-диметиламинометил-4-метилфенол-титантетрахлорид: Li·TiCl <sub>4</sub> (разл.)	3,21 123	N 3,21 Ti 13,02		C <sub>10</sub> H <sub>15</sub> NOCl <sub>4</sub> Ti	Ti 13,49
10	2-диэтиламинометил-4-трет. амил-фенол-титан тетрахлорид: Li·TiCl <sub>4</sub> (разл.)	3,63 175	N 3,63 Ti 10,98		C <sub>16</sub> H <sub>27</sub> NOCl <sub>4</sub> Ti	N 3,19 Ti 10,91
11	2, 4, 6-три-(диметиламинометил)-фенол-титан тетрахлорид: Li·TiCl <sub>4</sub> (разл.)	9,52 145	N 9,52 Ti 10,21		C <sub>15</sub> H <sub>27</sub> N <sub>3</sub> OCl <sub>4</sub> Ti	N 9,23 Ti 10,52
12	1,1'-диокси-2-(диметиламинометил)-4,4'-дитрет. бутилдифенил-6,6'-сульфид-титан тетрахлорид: Li·TiCl <sub>4</sub> (разл.)	3,90 267	N 3,90 Ti 7,52		C <sub>30</sub> H <sub>45</sub> N <sub>3</sub> SCl <sub>4</sub> O <sub>2</sub> Ti	N 4,05 Ti 6,94

Исходя из данных, полученных при изучении электрических [5, 6] и спектроскопических [5—7] свойств соединений (I—IV), было показано наличие в них внутримолекулярных водородных связей типа

ОНН и ОHS, что, естественно, привело к мысли о возможности возникновения при комплексообразовании комплексов хелатного типа.

Однако данные элементарного анализа (см. таблицу) опровергли это предположение и показали, что во всех случаях образуются комплексы молекулярного типа с составом, зависящим от свойств металла—комплексообразователя и лиганда.

В случае малообъемистых лигандов (I-II) для тория образуются комплексы состава  $\text{MeX}_4 \cdot 4\text{Al}$  и  $\text{MeX}_4 \cdot 3\text{Al}$  соответственно для олова  $\text{MeX}_4 \cdot 2\text{Al}$  и титана  $\text{MeX}_4 \cdot \text{Al}$ .

Аналогичные закономерности в составе комплексов наблюдались и ранее при изучении комплексообразующей способности галогенидов элементов IV группы с многочисленным органическими лигандами [4, 8-12] и находятся в хорошем согласии с изменениями величин ко-валентных радиусов металлов-комплексообразователей [13]. В случае же объемистых лигандов (III-IV) независимо от характера металла образуются комплексы состава  $\text{MeX}_4 \cdot \text{Al}$ .

С целью более детального изучения строения образующихся комплексов мы исследовали их ИК-спектры в области 700-4000  $\text{cm}^{-1}$ . Спектры снимались на спектрометре ИКС-14 в пасте, приготовленной на вазелиновом масле (призма NaCl) и гексахлорбутадиене (призма LiF). Для более правильного отнесения характеристических частот ИК-спектры комплексов сравнивались со спектрами исходных лигандов, ранее изученных нами [5,6] и М. А. Салимовым с сотрудниками [7].

Известно, что при образовании хелатных металлокиклов исчезают полосы, характерные для валентных колебаний OH-группы [14-17] и поникаются частоты связей, ответственных за образование цикла (в нашем случае C-N) [7, 14]. Вместе с тем, при образовании молекулярных комплексов для соединений, содержащих внутримолекулярную водородную связь, сохраняются частоты валентных колебаний OH-группы [17]; положение C-N-связи зависит от участия ее в координации с металлом.

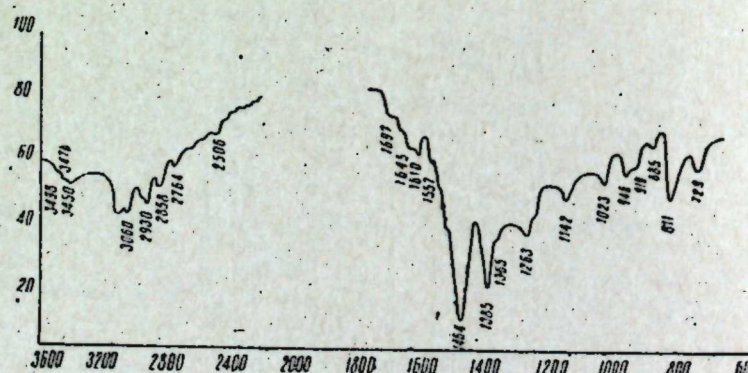


Рис. 1 ИК-спектр тетра-(2-диметиламинометил-4-метил-фенол)-торий тетранитратата.

Изучение ИК-спектров комплексов (для примера приведены спектры соединений 1 и 5, таблица) показывает, что в области призмы LiF сохраняются частоты валентных колебаний хелатированной OH-группы, что подтверждает молекулярный, а не хелатный, характер полученных комплексных соединений.

В связи с тем, что в молекулах диалкиламинометилфенолов имеются два возможных центра комплексообразования—атомы азота и кислорода, мы рассмотрели положение частот колебаний O-H 1180-1190  $\text{cm}^{-1}$  [7, 18] и C-N-связей (1260-1300  $\text{cm}^{-1}$ ) [19]. При сравнении положения указанных полос в ИК-спектрах лигандов [7] и комплексов можно видеть незначительное смещение частот C-N-связи в длинноволновую область (на 4-6  $\text{cm}^{-1}$ ) и сильное понижение частоты H-O связи (на 49  $\text{cm}^{-1}$  для комплекса тория, рис. 1 и на 41  $\text{cm}^{-1}$  титана, рис. 2). Эти данные говорят в пользу координации по атому кислорода, что весьма характерно для элементов IV группы [14-17]. Однако окончательное решение вопроса о координации в указанных комплексах можно ожидать после изучения ИК-спектров хелатных комплексов меди с соединениями I-IV.

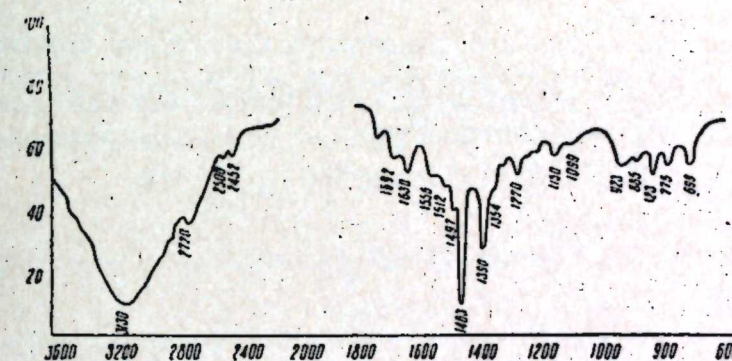


Рис. 2. ИК-спектр 2-диметиламинометил-4-4-метилфенол-титантетрахлорид.

Данные ИК-спектров в совокупности с результатами элементарного анализа показывают, что диалкиламинометилфенолы и их сульфины образуют с металлами IV группы комплексы с донорно-акцепторной связью (молекулярный тип).

## ЛИТЕРАТУРА

1. Кулев А. М., Мамедов Ф. М., Мусаева Н. Ф., Алиев Р. Г. Азерб. хим. ж., 1962, № 1, 93. 2. Кулев А. М., Мамедов Ф. Н., Мусаева Н. Ф. Азерб. хим. ж., 1962, № 5, 63, 1963, № 3, 37. 3. Кулев А. М., Мусаева Н. Ф., Мамедов Ф. Н. Азерб. хим. ж., 1964, № 1, 43. 4. Осипов О. А. ЖХХ, 1956, 26, 322. 5. Осипов О. А., Исмайлова Х. М., Каширинин О. Е., Гарновский А. Д., Орлова Л. В. ДАН Азерб. ССР, 1963, 19, № 9, 21. 6. Осипов О. А., Исмайлова Х. М., Гарновский А. Д., Каширинин О. Е., Орлова Л. В. ЖХХ, 1964. 7. Салимов М. А., Исмайлова Х. М., Ибрагимов Н. Ю., Мамедова Ф. Н. ЖХХ, 1964. 8. Осипов О. А., Сучков В. ЖХХ, 1952, 22, 1132. 9. Осипов О. А., Самофалова Г. С., Глушко Е. И. ЖХХ, 1957, 27, 1428. 10. Осипов О. А., Артемова В. М., Бедарев Н. Г. ЖХХ, 1959, 29, 975. 11. Осипов О. А., Лысенко Ю. А. ЖХХ, 1960, 30, 3866. 12. Лысенко Ю. А., Осипов О. А., Кравцов Е. Е. ЖХХ, 1963, 8, 663. 13. Осипов О. А. Уч. зап. РГУ, вып. 10, 13, 1959. Полярные свойства координационных соединений и растворов, Ростов-на-Дону, 1963, стр. 7. 14. Шигорин Д. Н. ЖХХ, 1953, 27, 554. Изв. АН СССР, серия физич., 1953, 17, 596. 15. Bellamy L. J., Branch R. F. J. Chem. Soc., 1954, 4491. 16. Современная химия координационных соединений, под редакцией Дж. Льюиса и Р. Уилкинса. ИЛ, 1963, стр. 353. 17. Коган В. А., Осипов О. А., Гарновский А. Д. ЖХХ, 1964, 9, 494; Гарновский А. Д., Осипов О. А., Симонов А. М., Долгатов Д. Д., Минкин В. И. ЖХХ, 1964, 34, вып. 10-18. 18. Беллами Л. Инфракрасные спектры сложных молекул. ИЛ, 1963, стр. 154. 19. Салимов М. А., Татевский В. М. ДАН СССР, 1957, 120, 890.

Дөври системин IV груп элементләринин алкиламинометилфенол  
вэ онун сулфидләри илә комплекс бирләшмәси

ХУЛАСЭ

Мәгалә дөври системин IV груп элементләринин үзви лигандлар илә комплекс-төрәдичи габилийјетинни тәдгигинэ һәср олумушшур. Титан вэ галајын тетрахлоридләри, һәмчинин ториумму азот туршусу тәдгиг едилмишdir. Тәдгиг олунан бүтүн комплексләр донор-акцептор тәбиэтлидир. Лиғандларын молекулларында һидроксил группаларының һидрокени һесабына хелатлашдырма мүшәнидә олунмамышдыр. Бу да элементар анализин вэ инфрагырызы удулма спектрләринин иәтичәләринә ујгун кәлир.

Комплексләрин өјрәнилмиш инфрагырызы удулма спектрләри вэ элементар анализин иәтичәләри әсасында лиғандларын, метал комплекс-төрәдичиләрин хассәләриндән асылы олараг бирләшмәнин молекулјар гурулушу изаһ олумушшур.

РАЗРАБОТКА НЕФТЯНЫХ И ГАЗОВЫХ  
МЕСТОРОЖДЕНИЙ

Г. П. ГУСЕЙНОВ, К. И. КУЛИЕВ

ВЛИЯНИЕ ИЗМЕНЕНИЯ МОЩНОСТИ ПЛАСТА И  
МАЛОПРОНИЦАЕМОЙ ПЕРЕМЫЧКИ НА ПЕРЕТОК ЖИДКОСТИ  
ИЗ ОДНОГО ГОРИЗОНТА В ДРУГОЙ

(Представлено академиком АН Азербайджанской ССР С. М. Кулиевым)

Обычно мощности пластов и разделов между пластами изменяются. Например, как показывает исследование Г. М. Тагиева [5], мощность малопроницаемой перемычки между пластами ПК<sub>1</sub> и ПК<sub>2</sub> юго-восточного крыла Нефтяных Камней меняется. Как видно из построенной карты равных мощностей [5], мощность раздела по площади меняется от 5 м до 1,5 м, а примеров изменения мощности пластов можно указать много. Поэтому представляет практический интерес изучение влияния на величину перетока изменения мощности перемычки и пласта.

Предположим, что продуктивный пласт вскрывается прямолинейными и параллельными друг другу нагнетательной и эксплуатационной галереями с постоянными давлениями, расстояние между которыми равно  $l$ . Подошва пласта абсолютно непроницаема, и этот пласт отделяется от верхнего малопроницаемой перемычкой. Оба пласта и перемычки насыщены несжимаемой жидкостью одинакового свойства. Проницаемость пласта и перемычки в отдельности остаются постоянными.

Возьмем систему координат, как указано на рисунке, направим ось  $x$  вдоль кровли пласта, ось  $y$  — вертикально вверх, а начало координат поместим у нагнетательной галереи. Рассмотрим два случая, а именно: будем предполагать, что мощность пласта меняется по оси  $x$ , а мощность перемычки остается постоянной, и наоборот, мощность перемычки меняется по оси  $x$ , а мощность пласта остается постоянной.

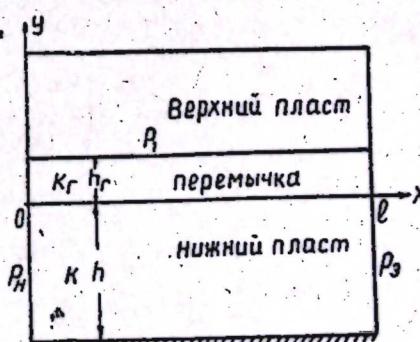


Рис.

В первом случае уравнение движения, полученное методом Мягтиева-Гринского [3, 4], будет иметь вид:

$$\frac{d}{dx} \left\{ h(x) \frac{dp}{dx} \right\} - \lambda^2(p - p_1) = 0, \quad (1)$$

где  $\lambda^2 = \frac{k_r}{kh_r}$ ;  $k$ ,  $k_r$ ,  $h$ ,  $h_r$  — соответственно коэффициенты проницаемости и мощности пласта и глинистой перемычки,  $p$  — давление в нижнем пласте,  $p_1$  — давление в верхнем пласте, которое считаем постоянным. Так как мы считаем в галереях давление постоянным, то должны удовлетворяться, следующие граничные условия:

$$\begin{aligned} p &= p_n \text{ при } x = 0 \\ p &= p_s \text{ при } x = l \end{aligned} \quad (2)$$

Предположим, что  $h(x)$  меняется по следующему закону:

$$h(x) = (ax + b)^n, \quad (3)$$

где

$$a = \frac{1}{l} \left\{ \left[ h(l) \right]^{\frac{1}{n}} - \left[ h(0) \right]^{\frac{1}{n}} \right\}, \quad b = [h(0)]^{\frac{1}{n}}, \quad n \text{ — любое действительное}$$

число. Подставив это значение  $h(x)$  в уравнение (1) получим:

$$\frac{d}{dx} \left[ (ax + b)^n \frac{dp}{dx} \right] - \lambda^2(p - p_1) = 0 \quad (4)$$

С помощью замены

$$\xi = \frac{2}{2-n} \frac{\lambda}{a} (ax + b)^{\frac{2-n}{2}} \text{ и } p - p_1 = \xi^n \cdot U, \quad (5)$$

где  $\nu = \frac{1-n}{2-n}$ , уравнение (4) приводится к следующему уравнению Бесселя:

$$\frac{d^2U}{d\xi^2} + \frac{1}{\xi} \frac{dU}{d\xi} - \left( 1 + \frac{\nu^2}{\xi^2} \right) U = 0,$$

общее решение которого при целом  $\nu$  имеет вид:

$$U = AI_\nu(\xi) + BK_\nu(\xi),$$

где  $I_\nu$  и  $K_\nu$  — соответственно бесселевы функции мнимого аргумента первого и второго рода,  $A$  и  $B$  — постоянные. При нецелом  $\nu$  вместо  $K_\nu$  будет  $I_{-\nu}$ ,  $p$  будет в следующем виде:

$$p = p_1 + \xi^\nu [AI_\nu(\xi) + BK_\nu(\xi)] \quad (6)$$

После замены граничные условия (2) превращаются в следующие:

$$p = p_n \text{ при } \xi = \xi_1 = \frac{2}{2-n} \frac{\lambda}{a} b^{\frac{2-n}{2}}$$

$$p = p_s \text{ при } \xi = \xi_2 = \frac{2}{2-n} \frac{\lambda}{a} (al + b)^{\frac{2-n}{2}} \quad (2')$$

Используя эти условия, определим постоянные  $A$  и  $B$  в следующем виде:

$$\begin{aligned} A &= M[(p_n - p_1)\xi_1^{-\nu} K_\nu(\xi_2) - (p_s - p_1)\xi_2^{-\nu} K_\nu(\xi_1)], \\ B &= M[(p_s - p_1)\xi_2^{-\nu} I_\nu(\xi_1) - (p_n - p_1)\xi_1^{-\nu} I_\nu(\xi_2)], \\ \frac{1}{M} &= I_\nu(\xi_1)K_\nu(\xi_2) - I_\nu(\xi_2)K_\nu(\xi_1). \end{aligned}$$

Расход жидкости на единицу ширины пласта будет в следующем виде:

$$Q = - \frac{kh(x)}{\mu} \frac{dp}{dx}, \quad (7)$$

где  $\mu$  — вязкость жидкости.

Если найдем выражение  $\frac{dp}{dx}$  из решения (6) и подставим в формулу (7), то получим:

$$Q = - \frac{k\lambda}{\mu} \left[ \frac{2-n}{2} \cdot \frac{a}{\lambda} \right]^{1-\nu} \xi^{1-\nu} [AI_{-\nu}(\xi) + BK_{-\nu}(\xi)]. \quad (8)$$

В формуле (8), подставляя вместо  $\xi$  соответственно  $\xi_1$  и  $\xi_2$ , получим дебиты нагнетательной и эксплуатационной галерей  $Q_n$  и  $Q_s$ . Зная  $Q_n$  и  $Q_s$ , можно определить относительный переток, т. е. отношение величины перетока жидкости через кровлю нижнего пласта к расходу жидкости, поступающей в тот же пласт через стенку нагнетательной галерей

$$\varphi = 1 - \frac{Q_s}{Q_n}.$$

Рассмотрим в качестве примера линейное изменение мощности пласта т. е. допустим, что  $n = 1$ . В этом случае относительный переток будет иметь вид:

$$\varphi = 1 - \frac{\xi_2 [AI_1(\xi_2) - BK_1(\xi_2)]}{\xi_1 [AI_1(\xi_1) - BK_1(\xi_1)]}. \quad (9)$$

По формуле (9) подсчитан относительный переток при следующих значениях величин:  $p_n = 200 \text{ atm}$ ,  $p_s = 100 \text{ atm}$ ,  $p_1 = 120 \text{ atm}$ ,  $k = 300 \text{ миллиардс}$ ,  $k_r = 0,03 \text{ миллиардс}$ ,  $l = 1 \text{ км}$ ,  $h_r = 6 \text{ м}$ ,  $h_{sp} = 24 \text{ м}$ .

$$\begin{aligned} \text{для } h(x) &= 8 \text{ м} & \text{при } x = 0 \\ h(x) &= 40 \text{ м} & \text{при } x = l \end{aligned}$$

$$\begin{aligned} \text{и для } h(x) &= 40 \text{ м} & \text{при } x = 0 \\ h(x) &= 8 \text{ м} & \text{при } x = l \end{aligned}$$

Чтобы сравнить полученные результаты, подсчитан еще относительный переток для среднего значения мощности, и результаты расчета приведены в табл. 1.

Как видно из табл. 1, изменение мощности пласта существенно влияет на величину перетока жидкости. При данных значениях величин, когда мощность увеличивается от нагнетательной галерей в сторону эксплуатационной, переток уменьшается на 6%, и, наоборот, когда мощность уменьшается в сторону эксплуатационной галерей, переток жидкости увеличивается на 9% от значения перетока в случае постоянной (осредненной) мощности пласта.

Таблица 1

$h(o), \text{м}$	$h(l), \text{м}$	$\varphi, \%$		Относительная погрешность, %
		при переменной мощности	при постоянной мощности	
8	40	12	17	-42
40	8	26		+35

Теперь рассмотрим другой случай, т. е. предположим, что мощность пласта остается постоянной, а мощность перемычки меняется по закону (3). В этом случае уравнение движения, полученное аналогичным образом, будет иметь вид:

$$(ax + b)^n \frac{d^2p}{dx^2} - \lambda^2(p - p_1), \quad (10)$$

где

$$a = \frac{1}{l} ([h_r(l)]^{\frac{1}{n}} - [h_r(o)]^{\frac{1}{n}}), \quad b = [h_r(o)]^{\frac{1}{n}}$$

Используя замену (5), получим решение уравнения (10), удовлетворяющее условиям (2) в виде (6), но здесь  $v = \frac{1}{2-n}$ . При  $n=2$  решение (6) непригодно. В этом случае заменой  $\xi = \ln(ax + b)$  уравнения (1) и (10) легко решаются. Расход жидкости на единицу ширины определяется формулой (7) только с той разницей, что вместо переменной  $h(x)$  будет постоянная  $h$ . Теперь можно определить относительный переток.

Рассмотрим частный случай  $n=1$ . В этом случае формула относительного перетока будет иметь следующий вид:

$$\varphi = 1 - \frac{AI_0(\xi_2) - BK_0(\xi_2)}{AI_0(\xi_1) - BK_0(\xi_1)}. \quad (11)$$

По формуле (11) произведен расчет для относительного перетока при вышеуказанных значениях величин при переменной мощности перемычки. Результаты расчетов приведены в табл. 2.

Таблица 2

$h_r(o), \text{м}$	$h_r(l), \text{м}$	$\varphi, \%$		Относительная погрешность, %
		при переменной мощности перемычки	при постоянной мощности перемычки	
2	10	26	17	+35
10	2	12		-42

Как видно из табл. 2, характер влияния изменения мощности перемычки на переток жидкости отличается от влияния изменения мощности пласта. С увеличением мощности пласта в сторону эксплуатационной галереи количество перетока жидкости уменьшается, а с уменьшением мощности пласта в указанном направлении величина перетока увеличивается. При изменении мощности перемычки картина меняется: когда мощность перемычки увеличивается от нагнета-

тельной галереи к эксплуатационной, то переток жидкости увеличивается, а когда в этом направлении мощность перемычки уменьшается, переток также уменьшается.

Из вышеприведенного анализа видно, что изменение мощности пласта и перемычки имеет определенное влияние на величину перетока из одного горизонта в другой в случае заводнения.

## ЛИТЕРАТУРА

- Щелкачев В. Н., Гусейнзаде М. А. Влияние проницаемости кровли и подошвы пласта на движение в нем жидкости. НХ, № 12, 1953.
- Гусейнов Г. П. Некоторые вопросы гидродинамики нефтяного пласта. Азернефт. 1961.
- Мятлев А. Н. Напорный комплекс подземных вод и колодцев. "Изв. АН СССР", ОТН, № 9, 1947.
- Гиринский Н. К. Некоторые вопросы динамики подземных вод. "Гидрология и инженерная геология", сб. статей. № 9, М.—Л., 1947.
- Кулиев К. И. Влияние изменения проницаемости пласта и перемычки на движение жидкости. АНХ № 8, 1961.
- Тагиев Г. М. Взаимовлияние между горизонтами ПК свиты на юго-западном крыле месторождения Нефтяные Камни. АНХ, № 12, 1962.

Поступило 28.I 1964

Институт по добыче нефти

Лајын вә лајлар арасында азкечиричи аракәсмәнин галынылгыларының дәјишмәсінин мајенин бир һоризонтдан дикәр һоризонта ахмасына тә'сирі

## ХУЛАСӘ

Тәбии шәрантәдә лајларын галынылғыларында оның арасындаки азкечиричи аракәсмәнин галынылғылары дәјишән олур. Мәсәлән, Г. М. Таяғиевин тәдгигатлары [5] көстәрир ки, Нефт дашларының чәнуб-шәрг ганадында ПК<sub>1</sub> вә ПК<sub>2</sub> арасындаки аракәсмәнин галынылғылары саңа үзәр 10 м-дән 3 м-э гәдәр дәјишир. Галынылғылары дәјишән лајлара исә 10 м-дән 3 м-э гәдәр дәјишир. Она көрә мајенин бир лајдан дикәринә чох мисал кәтирмәк олар. Она көрә мајенин бир лајдан дикәринә ахмасыны өјрәнәркән лајларын вә азкечиричи аракәсмәнин дәјишән ахмасының нечә тә'сир етдиини мүәжжән етмәйин бөյүк әһәмијәтті вардыр.

Мәгаләдә һәмин мәсәлә гәрарлашмыш һалда өјрәнилir. Галынылғыларын бу вәја дикәр һалда дәјишмәси координатын гүввәт функциясы көтүрүлмушдур. Мәсәләнин һәлли Бессел типли тәнлијин һәллиниң кәтирилir. Беләлікә, лајын вә аракәсмәнин галынылғыларының дәјишмәсінин мајенин бир лајдан дикәринә кечмәсинә нечә тә'сир етдији мүәжжән олумушдур.

ГЕОЛОГИЯ

Г. Р. АЛИЕВ

К УСЛОВИЯМ НАКОПЛЕНИЯ ОТЛОЖЕНИЙ ПК СВИТЫ  
АНТИКЛИНАЛЬНОЙ ЗОНЫ КАМНИ ГРИГОРЕНКО—  
НЕФТЯНЫЕ КАМНИ

(Представлено академиком АН Азербайджанской ССР М. В. Абрамовичем)

К рассматриваемой антиклинальной зоне приурочены четыре структурные формы: Камни Григоренко, о. Жилой, Грязевая Сопка и Нефтяные Камни. В геологическом строении этих складок участвующие осадки от палеогеновых до древнекаспийских включительно. Они простираются с северо-запада на юго-восток и характеризуются несколько асимметричным строением.

Антиклинальная зона Камни Григоренко—Нефтяные Камни осложнена многочисленными нарушениями, которые играют важную роль в формировании и размещении нефтяных и газовых залежей.

Не касаясь этих нарушений, надо отметить, что одновременно с накоплением осадков продуктивной толщи на всей площади ее распространения проявления тектонических сил периодически то усиливаются, то замедляются. Накопление осадков продуктивной толщи в рассматриваемых районах происходило в эпоху сильных тектонических движений, которая сопровождалась формированием антиклинальных поднятий, зародившихся еще в конце понтического времени.

Бассейн подкирмакинской свиты отличается от калинского бассейна сравнительно широкими контурами, по крайней мере в северной и западной частях Аштеронского полуострова. Подкирмакинская свита представлена песчано-алеврито-глинистыми образованиями, что можно объяснить редким изменением биохимических и палеографических условий бассейна.

Начиная с понтического века и до конца плиоцена геотектонический режим на юго-восточном Кавказе не имел резких изменений. Здесь существовали лишь периодические поднятия и опускания отдельных участков, связанные с колебательными движениями земной коры. Сущность этого вопроса была подробно освещена в работах ряда исследователей [1, 2, 3, 4, 5].

Подкирмакинская свита по И. И. Потапову [1] отвечает низам второго ритма осадконакопления продуктивной толщи—периоду, в течение которого происходили усиленные тектонические движения, обусловившие накопление крупного терригенного материала большой

мощности в пределах восточного и юго-восточного Апшерона и Апшеронского архипелага.

Составленные нами для антиклинальной зоны Камни Григоренко—Нефтяные Камни Аштеронского архипелага карта равных мощностей и карта равной песчанистости (подсчитанные по данным электрокаротажных диаграмм скважин), подтверждают правильность ранее построенных подобных карт для площади Нефтяные Камни [6] (рис. 1 и 2).

На карте равных мощностей ПК свиты (рис. 1) выделяются зоны минимальных значений мощностей (60—70 м), совпадающие с присводовыми частями, и зоны максимальных мощностей (90—100 м), приуроченные к далеким крыльям структур.

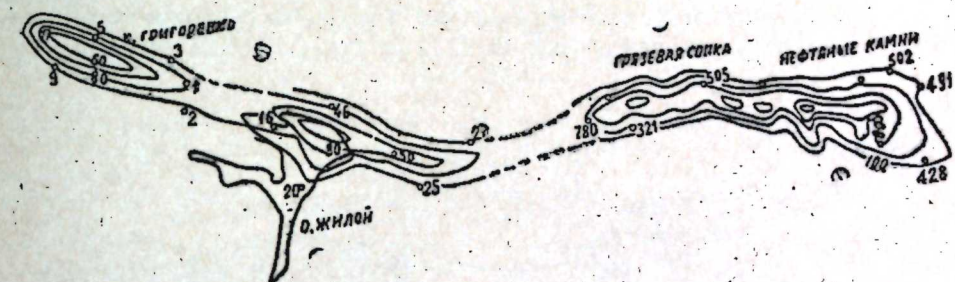


Рис. 1. Карта равных мощностей подкирмакинской свиты антиклинальной зоны Камни Григоренко-Нефтяные Камни.

На территории разведочной площади Камней Григоренко и по северо-восточному крылу складок о. Жилого, Грязевой Сопки и Нефтяных Камней плавно протягиваются изопахиты, а по юго-западному крылу о. Жилого и Нефтяных Камней тянутся соответственно один (в районе скв. 5, 2, 21, 29) и три (в районе скв. 149, 25, 76, 265, 229, 21, 209, 252 и др.) заливообразных изгиба в направлении увеличения мощностей свиты.

В районе скважин 319, 321, 450 Грязевой Сопки отмечается некоторая извилистость изопахит мощностей.

На основании анализа фактических данных выявляем, что мощность ПК свиты постепенно увеличивается от береговой линии в сторону регионального падения пластов, т. е. с северо-запада на юго-восток.

Анализ литофациальных особенностей вскрывает следующие закономерности в изменениях песчанистости: на структуре Камней Григоренко песчанистость изменяется от 45 до 55%. Повышенное значение песчанистости в пределах 50—55% фиксируется в присводовой части структуры, где расположены скв. 9, 8, 7, 5, 2, 1. Песчанистость 45% и меньше отмечается на участках, где расположены скв. 12, 6, 13 и 3, а также на крыльях и периклинальной части структуры.

На площади о. Жилого песчанистость ПК свиты колеблется в пределах 45—75%. Повышенная песчанистость (70—75%) фиксируется в приподнятых частях структуры, где расположены скв. 14, 46, 60, 69, 12, 27 и др. С удалением от сводовой части в направлении с северо-запада на юго-восток процент песчанистости свиты уменьшается к крыльевым частям структуры и в периклинальной части до 45—40% (по данным скв. 35, 9, 21, 24).

Песчанистость 55—65% отмечается в районе скв. 41, 25, 15, 48, 66 и др.

На месторождении Грязевая Сопка песчанистость подкирмакинской свиты в целом составляет 45–70%. Наибольшая песчанистость (65–75%) отмечается на своде складки, где расположены скв. 295, 305, 319, 505 и др. Отсюда, в сторону крыльев и далекого погружения складки песчанистость уменьшается и составляет лишь 45%. Надо отметить, что площадь с пониженной песчанистостью протягивается в северо-западном направлении на большее расстояние, чем в юго-восточном, где расположены скв. 517, 290, 320 и 365.

На территории месторождения Нефтяные Камни песчанистость колеблется в пределах 50–75% и даже имеется площадь, где песчанистость больше 75% (по данным скв. 276, 140, 208, 49 и др.). Поле песчанистости со значением 65–75% фиксируется в районе расположения скв. 39, 48, 199, 258, 493 и других, менее песчаные зоны (50–55%) отмечаются на крыльях и далеком погружении структуры, которые устанавливаются по данным скв. 528, 502, 29, 423 и др.

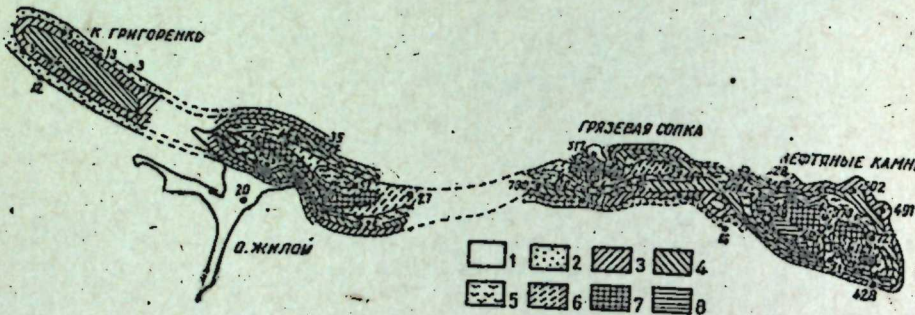


Рис. 2. Карта равной песчанистости подкирмакинской свиты антиклинальной зоны Камни Григоренко — Нефтяные Камни. Пределы песчанистости (в %): 1—<45; 2—45—50; 3—50—55; 4—55—60; 5—60—65; 6—65—70; 7—70—75; 8—>75.

Разрез по всей антиклинальной зоне в целом характеризуется значениями песчанистости (45–75%), установленными по данным вышеуказанных скважин. На большей части территории распространения ПК свиты содержание песчаных пород составляет 60–75%. На сравнительном поле небольшое содержание песчаного материала составляет 45–55%.

Следует отметить, что в направлении с северо-запада на юго-восток происходит региональное увеличение песчанистости свиты. Это может быть объяснено тем, что на площадях о. Жилого, Грязевой Сопки и Нефтяных Камней в отличие от разведочной площади Камней Григоренко осадки отлагались в неглубокой части бассейна ПК свиты.

Это предположение подтверждается тем, что на территории вышеуказанных трех месторождений в подкирмакинский век существовал более интенсивный подъем, и они в тот момент гипсометрически находились выше, чем Камни Григоренко.

Как видно из рис. 1 и 2, изменения мощностей и литофациальных особенностей подкирмакинской свиты по отдельным площадям антиклинальной зоны Камни Григоренко — Нефтяные Камни показывают, что закономерности изменения по четырем структурам в целом сходны. Это указывает на устойчивость тектонического режима во время накопления подкирмакинской свиты в рассматриваемых районах.

На основании изучения характера изменения мощности и литофациальных особенностей ПК свиты в пределах юго-восточной части Апшеронского архипелага можно отметить следующие закономерности:

1. Распределение мощности ПК свиты в пределах антиклинальной зоны Камни Григоренко — Нефтяные Камни показывает на увеличение мощностей от свода в сторону обоих крыльев и периклинали каждой структуры.

2. Изопахиты ПК свиты простираются параллельно изогипсам.

3. Процент песчанистости уменьшается от свода к крыльям складок.

4. В пределах отдельных структур повышение значения песчанистости фиксируется на участках, где имеются минимальные значения мощности.

5. Участки с повышенной песчанистостью приурочиваются к неглубоким частям бассейна ПК свиты.

6. Мощность и процент песчанистости ПК свиты в пределах юго-восточной части Апшеронского архипелага постепенно увеличиваются в направлении зоны Камни Григоренко — Нефтяные Камни.

## ЛИТЕРАТУРА

1. Потапов И. И. Апшеронская нефтеносная область. Изд-во АН. Азерб. ССР. 1954.
2. Горин В. А. К вопросу об условиях отложения продуктивной толщи Азербайджана. АНХ, № 8, 1953.
3. Мелик-Пашаев В. С. Геология морских нефтяных месторождений Апшеронского архипелага. Гостоптехиздат, 1959.
4. Хани В. Е. Геотектонические основы поисков нефти. Азнефтехиздат, 1954.
5. Алиханов Э. Н. Подкирмакинская свита восточной части Апшеронской области и ее нефтеносность. Азнефтехиздат, 1957.
6. Самедов Ф. И. Нефтяные камни. Азернефтегиз, 1959.

Поступило 17. II 1964

Институт геологии

Г. Р. Элиев

Григоренко дашлары — Нефт дашлары антиклиналь зонасынын ГАД чөкүнтүләринин әмәләкәлмә щәраити нағында

## ХУЛАСЭ

Григоренко дашлары — Жилој адасы, Палчыг Пилпиләси, Нефт дашлары антиклиналь зонасы Палеокендән башлајараг, Гәдим Хәзәр чөкүнтүләри дә дахыл олмагла галын тәшкүл олунмуш вә бир сыра тектоник позулмаларла мүрәккәбләшмишdir.

Нәзәрдән кечирилән рајонда Мәңсүлдар гат чөкүнтүләринин чөкмәси күчлү тектоник һәрәкәтләри һаким олдуғу дөврлә әлагәдар олуб, Пойнт әсринин ахырында мејдана чыхмыш антиклиналь галхмаларын жарнамасы илә мүшајиэт едилир.

Григоренко дашлары — Нефт дашлары антиклиналь зонасынын ГАД учүн дүзәлдилмиш бәрабәр галынылыглар (1-чи шәкил) вә гумлуулуг (2-чи шәкил) хәритәләри һәмни зона үзүрә галынылыгын вә гумлуулугун ганунаујуғун олараг дәјишишмәсии көстәрир. Хәритәләрдән мүәлләр ганунаујуғун олараг дәјишишмәсии үмумијәтлә охшардыр. Бу исә нәзәрдә вә гумлуулугун дәјишишмәсии үмумијәтлә охшардыр. Бу исә нәзәрдә саттуулан рајонда ГАД чөкүнтүләринин чөкмәси дөврүнүн нисбәтән сабит тектоник режиме малик олдуғуну көстәрир.

Абшерон архипелагынын чәнуб-щәрг һиссесинде ГАД-ын галынылыг вә литологи дәјишишмә хүсусијәтләринин өјрәнилмәсисинә эсасән мүәжжүвә литологи дәјишишмә хүсусијәтләринин өјрәнилмәсисинә эсасән мүәжжүвә Григоренко дашлары — Нефт дашлары истигамәтидә артыр.

ИНЖЕНЕРНАЯ ГЕОЛОГИЯ

Э. К. АСКЕРБЕЙЛИ

ОСНОВНЫЕ УСЛОВИЯ РАЗВИТИЯ КАРСТА РАЙОНА  
г. ДЗЕРЖИНСКА ГОРЬКОВСКОЙ ОБЛАСТИ

(Представлено академиком АН Азербайджанской ССР М. А. Кашкаем)

В связи с расширением химической промышленности в г. Дзержинске по семилетнему плану развития народного хозяйства СССР возникла необходимость в предупреждении угрозы разрушения существующих сооружений, а также выбора более перспективных участков нового строительства. Для решения поставленных вопросов Дзержинская карстовая станция Производственного научно-исследовательского института по инженерным изысканиям в строительстве Госстроя СССР проводит всестороннее изучение карстовых процессов. Закарстованные породы таят в себе неприятные неожиданности, которые могут проявиться при строительстве города, где на глубине 60—80 м активно развиваются карстовые процессы.

В морфологическом отношении описываемый район представляет собой широкую низину, являющуюся юго-западной частью Балахнинской низменности. В рельефе местности выделяются пойма и три надпойменные террасы, наклоненные к руслу реки и отделяющиеся друг от друга уступами. Поверхность поймы испещрена многочисленными старицами, протоками и ручейками, чередующимися с песчаными грядами и гравиями.

Надпойменные террасы занимают значительную часть исследуемой территории. Поверхность их ровная, усложненная песчаными дюнами, холмами и грядами, сухими вытянутыми ложбинами и карстовыми воронками в виде небольших углублений.

В районе исследования встречается ряд озер, из которых одни образовались в межгрядовых понижениях, другие—из окских стариц. Встречаются также озера карстового происхождения.

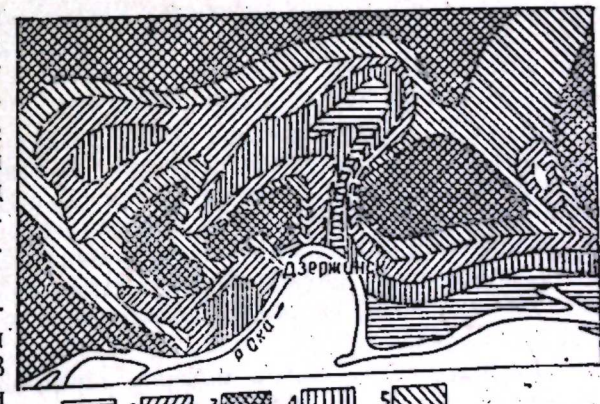
Наиболее древние породы, вскрытые в районе г. Дзержинска,—среднедевонские, представленные живетским ярусом ( $D_2gv_1$ ). Каменоугольная система ( $M=416-446$  м) представлена всеми отделами. Нижний отдел пермской системы—сакмарско-артинский горизонт ( $M=56-97$  м)—литологически подразделяется на два комплекса: а) нижний—гипсово-доломитовый и б) верхний—гипсово-ангидритовый, карстующийся на абс. отм. 65—67 м. Верхний отдел представлен нижними

горизонтами казанского и татарского ярусов. В связи с тем, что верхнепермские отложения были подвергнуты размыву, мощность их колеблется в широких пределах—от 0 до 47 м. Пермские отложения перекрываются аллювиальными песками. Наибольшую мощность (70—80 м) они имеют на участках древней долины Оки, которая в районе г. Дзержинска имеет меридиональное направление. Изменение направления пра-Оки объясняется наличием тектонического выступа Жоллинской структуры, представляющей собой центральную ветвь Убежицкой структуры. Ширина долины пра-Оки 2,0—3,3 км, глубина ее вреза в абс. отм. 25—50 м.

На основании имеющихся характерных химических анализов подземных вод на исследуемой территории нами выделяются два водоносных комплекса, разделенных гипсово-ангидритовой толщей. Нижний комплекс включает толщи девона и карбона, содержащие напорные рассолы хлоркальциевого и хлорнатриевого составов с минерализацией 60 г/л и более. Верхний комплекс, находясь в условиях местной области питания, содержит слабоминерализованные воды, которые дренируются Окой. На границе этих комплексов выделяется промежуточная зона, в которой формируются сульфатнокальциевые (гипсовые) воды, имеющие минерализацию 2—2,5 г/л. С глубиной минерализация подземных вод увеличивается, причем зигзагообразно, с резкими скачками кривых, что вызвано, по-видимому, внедрением минерализованных вод из более глубоких горизонтов. Повышенная минерализация вод девона объясняется их первичностью. В формировании солевого состава верхнего комплекса левобережья Оки первостепенную роль играют атмосферные осадки, обуславливающие их минимальную минерализацию. Активное участие принимают и промстоки. Солевой состав трещинно-карстовых вод (промежуточный горизонт) формируется в основном за счет взаимодействия вод гипсово-ангидритовой толщи с водовмещающими породами.

Гидрогеологический водораздел по отношению к топографическому несколько смешен в сторону р. Оки. Направление движения и пьезометрические уровни аллювиальных и трещинно-карстовых вод совпадают, что объясняется их взаимосвязанностью.

В районе г. Дзержинска активно развиваются карстовые процессы. В большинстве случаев они сосредоточены на отдельных участках и создают карстовые поля. Карстовые явления протекают в гипсово-ангидритовой толще в результате растворения и выщелачивания



Степень агрессивности трещинно-карстовых вод по отношению к гипсу:

1—агрессивные воды; 2—практически не агрессивные; 3—пересыщенные; 4—слабоагрессивные; 5—насыщенные.

гипсов и ангидритов. Сопоставление карты кровли коренных пород с картой карстовых проявлений (И. А. Саваренский, 1960) показывает, что карстовые поля приурочены в основном к древней долине. Агрессивные трещинно-карстовые воды (рис.) также приурочены к древ-

ней долине. Агрессивность природных вод определялась на основании подсчета произведения активностей сульфата кальция (В. П. Зверев, Э. К. Аскербейли, 1963).

Исходя из сказанного, можно предположить, что современные карстовые провалы в своем размещении связаны с пра-Окой. То, что покровные породы татарского яруса размыты пра-Окой, создает благоприятные условия для проникновения агрессивных аллювиальных вод в трещинно-карстовый водоносный горизонт. Древняя долина р. Оки является как бы перехватывающей дреной. Коэффициент фильтрации песков, заполняющих долину пра-Оки, в несколько раз выше, чем на других участках. Разница коэффициентов фильтрации поверхностных и подстилающих песков на участках древней долины создает такие условия, при которых скорость потока трещинно-карстовых вод в древней долине выше, чем на прилегающих участках. Большая скорость потока в древней долине способствует тому, что трещинно-карстовые воды для полного насыщения сульфатом кальция должны пройти относительно больший путь, чем при малой их скорости. А это, в свою очередь, может вызвать развитие карста на больших площадях.

Водообмен на участках древней долины происходит с большей интенсивностью. Инфильтрующиеся агрессивные воды на пути своего движения постепенно теряют свою агрессивность, что в конечном счете приводит к образованию локальных форм подземного карста.

В современных условиях, в результате повышения базиса эрозии, процессы растворения и образования подземных пустот значительно ослаблены, но зато возникли благоприятные условия проявления карсто-суффозионных процессов на участках, где карст получил развитие в более раннее время.

Алевролиты татарского яруса хорошо размокают в подземных водах. Наибольшую размываемость они имеют в смешанных водах трещинно-карстового и аллювиального водоносного горизонтов. По-видимому, это объясняется близостью состава смешанных вод с водами, содержащимися в алевролитах. Хорошая размываемость алевролитов, наличие реликтовых карстовых полостей и нисходящих потоков способствуют обрушению свода полости.

Таким образом, в районе исследования по условию образования следует различать два типа карста; а) современный, развивающийся вследствие растворения и выщелачивания гипсов с последующим обрушением свода на участках, где имеются породы татарского яруса и б) современный карсто-суффозионный, начало образования которого заложено в период формирования долины пра-Оки, а возможно и в более ранние периоды. Последний вид карста мы условно отнесли к реликтовому.

Наиболее опасными, в смысле образования карстовых провалов, являются участки с подземными реликтовыми полостями, для разрушения свода которых достаточно наличия нисходящих потоков, независимо от степени их агрессивности. На участках, где гипсово-ангибитовая толща залегает непосредственно под аллювиальными песками, возможен микрокарст, что безусловно следует учитывать при строительстве.

В заключение следует отметить, что карстовые процессы в районе исследования, на наш взгляд, своим происхождением обязаны пра-Оке. Вследствие этого для понимания карстовых явлений в районе г. Дзержинска важное значение имеет изучение палеогеографии р. Оки.

## ЛИТЕРАТУРА

1. Зверев В. П., Аскербейли Э. К. Опыт изучения агрессивности подземных вод по отношению к карстующимся породам (на примере г. Дзержинска). Тезисы докл. на Научно-техн. совещ. по гидрогеологии и инж. геологии, секция инж. геологии, М., 1963. 2. Ильин А. Н., Капустин А. П. и др. Карстовые явления в районе города Дзержинска Горьковской области. Тр. Лабор. гидрогеолог. проблем, XXXII, 1960.

Карстовая станция (г. Дзержинск)

Поступило 18. I 1964 г.

Е. Г. Эскербэли

Дзержински шэһәри (Горки вилајети) рајонунда карстын әмәлә қәлмәсийин эсас шәртләри

## ХУЛАСЭ

Дзержински шэһәри әтрафында карст әмәләкәлмә просесләри актив формададыр. Оилар јерли ерозија базисиндән ашағы—60—80 м дәрениликдә әмәлә кәлир.

Тәдгигатымыз нәтичәсендә мүасир карст әмәләкәлмә просесләринин Ока чајынын бу рајонда олан меридионал истигамәтли кечмиш вадиси илә әлагәдар олмасы тә'јин едилмишdir.

Назырда еrozија базисини галхмасы нәтичәсендә карст-суффозион просесләри кениш инишиф едир. Карстлашан Алт Перм кипс-анһидрит сүхурларын билаваситә аллүвиал гумларын алтында јатан саһәләриндә микрокарстын олмасы мүмкүндүр. Бу исә тикинти апарылан заман нәзәрдә тутулмалыдыр.

СТРАТИГРАФИЯ

Т. АБ. ГАСАНОВ

КОНЬЯКСКИЕ ОТЛОЖЕНИЯ В КЕДАБЕКСКОМ РАЙОНЕ

(Представлено академиком АН Азербайджанской ССР М. М. Алиевым)

Отложения верхнего мела в Кедабекском районе имеют значительное распространение и развиты в южной и юго-западной частях Мургузского надвига. Эти отложения впервые были установлены Р. Н. Абдуллаевым [1, 2] на северо-восточном склоне г. Дарвадаг, между сс. Ново-Ивановка и Ново-Саратовка и прослежены до северной части Башкендского перевала; далее они прослежены нами от с. Мутудара (верховье р. Ахынджачай) до юго-западной части г. Сумикили (2114,3), где они трангрессивно перекрываются нижнеоценовыми вулканогенно-осадочными образованиями (рисунок).

Коньякские отложения выражены здесь в туфоосадочной фации и представлены серией туфопесчаников, мелкообломочных туфоконгломератов и туфобрекций, а также известковистыми песчаниками и туфоконгломератами, в верхах которых Р. Н. Абдуллаевым [1, 2] найдены *Inoceramus tenuis* Mant., *Exogyra columba* Lam., *Gryphaea (Pyconodonta) vericulosa* Sow. (опр. А. Л. Цагарели).

Две последние формы имеют вертикальный диапазон, а первый датирует возраст вмещающих пород как сеноманский.

По Р. Н. Абдуллаеву, свита стратиграфически находится между вулканогенной толщей байос-бата и известняками сенона и имеет мощность 100 м.

В. П. Ренгартен, посетивший данный пункт в 1949 г., считает, что сеноманские образования ложатся непосредственно на известняки верхней юры.

Следует отметить, что нами (1957–1963 гг.) в процессе проведенных геологосъемочных работ вышеупомянутые толщи тщательно были прослежены и изучены, в результате чего в разных горизонтах данной (по Р. Н. Абдуллаеву и В. П. Ренгартену – сеноманской) свиты, в районе сс. Мутудара, Дортлар, Исалы, Дюжанлы, Башкендский перевал в 3–3,5 км на юг от с. Башкенд (Арм. ССР) верховье р. Ардыджур и 1,5 км на юго запад от с. Ново-Саратовка (северная часть г. Дарвадаг), собрана обильная фауна: *Pecten virgatus* Nillls., *Haustator* sp. (ex gr. *karabakhensis* Psel.), *Neithea quinquecostata* (Sow.), *Isocardia cf. karabakhensis* Bobk., *Cardium* sp. (ex gr. *transcaucasicum* Bobk.), *Ampullospira caucasica* O. Aliev, *Exo-*

*gyra conica* (Sow.), *Inoceramus inconstans* Woods, *In ex. gr. gradatus* Egojan, *Neithea aequicostata* (Sow.), *Spondylus cf. spinosus* (Sow.), *Pectunculus* sp., *Liostra* sp. Ind., *Terebratula* sp. Ind., *Gervilla* sp. ind., *Cucullaea* sp. Ind., *Spondylus* sp. Ind., *Cardium* sp. Ind., *Plicatula* sp., *Trigonia* sp., *Ostrea* sp., *Protocardia cf. hillana* (Sow.). и большое количество плохо сохранившихся морских ежей, любезно определенные О. Б. Алиевым датирующие возраст вмещающих пород как коньякские.

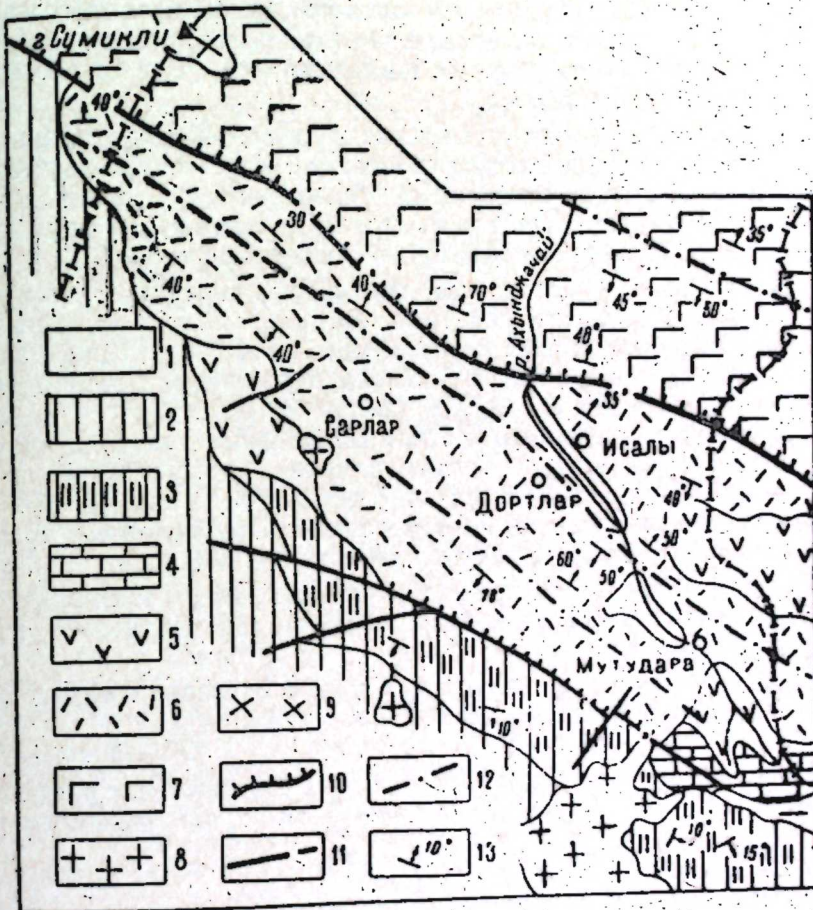


Рис. Схематическая геологическая карта верховья р. Ахынджачай  
Составил: Т. Аб Гасанов, (1963).

1—современный отдел: суглинки, супеси, валуны, галечники; 2—средний эоцен: пирокласто-осадочные породы; 3—нижний зооцен: осадочно-пирокластические породы; 4—кампан-маастрихт: известняки, известковые туфы, туфо-песчаники; 5—сангон: порфириты, туфы, известковые песчаники, известники; 6—коньяк: осадочно-пирокластические и карбонатные породы; 7—нижний байос: вулкано-осадочные породы; 8—последредеоцен: габбро, габбро-порфирит, сиенит, сиенито-диорит; 9—нижний мел (?): габбро, габбро-порфирит, сиенит; 10—надвиг; 11—сбросы и сдвиги; 12—ось антиклиналии, 13—углы залегания пород.

Среди приведенных фаун *Isocardia cf. karabakhensis* Bobk. впервые описана Н. Н. Бабковой в 1956 г. из "сеноманских" отложений (по новым данным О. Б. Алиева [3] из нижнеконьякских отложений) (по новым данным О. Б. Алиева [3] из нижнеконьякских отложений) с. Верхний Агджакенд Шаумяновского (сельского) района Азерб. ССР.

Как видно из приведенных фаунистических ассоциаций не была обнаружена руководящая фауна для сеноманского яруса — *Inoceramus tenuis* Mant., которая была обнаружена Р. Н. Абдуллаевым.

Возможно это объясняется неточностью определения. С другой стороны, литологические особенности вмещающих пород весьма характерны для коньякского яруса, имеющего обширное развитие в Севано-Акеринской зоне. Следует также отметить, что эти отложения в верхней своей части, в районе сс. Касымагалар и Мутудара имеют переходную пачку (5 м) туфов и туфопесчаников, согласно перекрываемых вулканогенно-осадочными образованиями (100 м). Как те, так и другие пачки в остальных районах Малого Кавказа принимаются как верхний коньяк—нижний сантон.

Характерной особенностью коньякского яруса является то, что снизу вверх песчанистые материалы увеличиваются и по простирианию в северо-восточной части быстро выклиниваются, а в северо-западном направлении расширяются.

Вдоль северной границы коньякские терригенные отложения приведены в тектонический контакт с батскими и нижнебайосскими осадочными и вулканогенно-осадочными образованиями. Причем, данный тектонический контакт является и границей сопряжения двух крупных структур: Сомхето-Карабахской и Севано-Акеринской.

По южной границе коньякские отложения, начиная от восточной части г. Дарвадаг до его северной части, согласно перекрываются сантонскими известковистыми песчаниками, а в 1 км от северо-западной части с. Мутудара они с угловым несогласием перекрываются кампанскими известняками. В 1,5 км южнее с. Сарылар отложения коньякского яруса надвинуты на нижнеэоценовые вулканогенно-осадочные образования, затем, в связи с изменением направления разрывного нарушения, коньякские отложения с большим угловым несогласием перекрываются нижнеэоценовыми образованиями, которые прослеживаются до правого притока верховья р. Мехраб.

Для наглядности ниже приводится послойный разрез коньякских отложений, снятый в южной части с. Касымагалар (верховье р. Ахынджачай) снизу вверх:

1. Пачка песчаников и песчанистых глин с прослойями мелкогалечных конгломератов, с преобладанием последних.

Мощность—14 м

2. Чередование известняков (20—25 см) с окремнелыми туфопесчаниками (5—10 см) и туффитами (10—15 см) с преобладанием первых.

Мощность—6 м

3. Буровато-серые туфопесчаники с линзами красного туфоконгломерата. В туфопесчаниках собрана *Neitheia* sp. ind., *Pecten* sp. (ex gr. *virgatus* Nills.), *Ostrea* sp. ind., *Phynchonella* sp. ind., *Gervillia* sp., *Terebratula* sp. ind.

Мощность—32,4 м

4. Чередование пачки рыхлых буровато-серых туфогенных песчаников с пачкой слоистых известняков и мергелей с преобладанием первых. По простирианию первые сменяются мелкообломочными туфоконгломератами. Конгломерат с непрочной песчано-туфогенной основной массой.

Мощность—27,5 м

5. Темно-серые известково-кремнистые сланцы с редкими прослоями черных гравелистых и грубозернистых песчаников с гальками до 1,5 см.

Мощность—13,3 м

6. Чередование слоев коричневато-серых песчанистых мергелей с известковистыми светло-серыми песчаниками, содержащие обильную

фауну: *Haustator* sp. (ex gr. *karabakhensis* P. c. l., *Neitheia quinquecostata* (Sow.), *Isocardia* sp. (ex gr. *karabakhensis* Bobk., *Lecten virgatus* Nills., *Cardium* sp. (ex gr. *transcaucasicum* Bobk.), *Ampullospira caucasica* O. Aliev, *Cucullaea* sp. ind., *Spondulus* sp. ind., *Cardium* sp. ind., *Plicatula* sp.

Мощность—28,7 м

7. Грубые светло-серые туфопесчаники (10—15 см), переходящие в песчанистые известняки, которые по простирианию выклиниваются. В верхней части разреза светло-серые туфопесчаники сменяются неяснослоистыми, местами грубослоистыми, красноватыми мергелями с неокатанными обломками порfirитов и песчаников.

Мощность—40,6 м

8. Грубозернистые туфопесчаники светло-серого цвета, яснослоистые, содержат линзы аргиллитов и сланцев. Среди последних собрано *Gervillia* sp., *Pectunculus* sp. ind., *Haustator* sp.

Мощность—3,75 м

Общая мощность коньякских отложений—200 м

В данном разрезе коньякские отложения совершенно согласно перекрываются сантонскими терригенными образованиями.

Кроме приведенных разрезов нами сняты еще разрезы в районе сс. Исалы, Дортлар, Дюжанлы, Заманлы, Сарлар и др., возраст их до наших исследований считался нижнебайосским, которые в целом тождественны вышеупомянутому разрезу, где суммарная мощность их достигает 250 м.

Завершая описание коньякских отложений закартированной площади, будет уместным остановиться на следующем.

В северо-восточной части Малого Кавказа (междуречье Шамхорчай и Тертерчай) за последние годы проводили палеонтологические работы О. Б. Алиев и Р. Н. Мамедзаде (сотрудники института геологии АН Азерб. ССР), занимающиеся изучением верхнемеловых отложений этой области.

При изучении сеноманских отложений междуречья Кошкарчай и Тертерчай О. Б. Алиев из отложений сеноманского возраста собрал богатую фауну, среди которой наряду с формами сеномана были восточные и формы, характеризующие исключительно коньякский ярус.

В связи с этим О. Б. Алиев поставил под сомнение правильность определения сеноманского возраста отложений, содержащих явно коньякскую фауну и поэтому провел ревизию руководящих форм сеномана.

В результате проведенных работ оба вышеупомянутых автора пришли к заключению, что большинство форм, считавшиеся ранее сеноманскими, являются коньякскими, а возраст содержащих их отложений должен быть определен как коньякский.

## ЛИТЕРАТУРА

1. Абдуллаев Р. Н. Открытие верхнемеловых отложений в Кедабекском районе. ДАН Азерб. ССР. 1947, т. III, № 12, 2. Абдуллаев Р. Н. Основные черты геологического строения верховья Дзегамчая (Малый Кавказ). Труды АзИИ, вып. 1. 1949. 2. Алиев О. Б. Стратиграфия и фауна меловых отложений северо-восточной части Малого Кавказа. Автореферат канд. дисс., 1961. 4. Ренгартеин В. П. Стратиграфия меловых отложений Малого Кавказа. Региональная стратиграфия СССР. Изд. АН СССР, т. VI, 1959.

Поступило 24. II 1964

Азерб. геологосъемочная экспедиция

## Кәдәбәј рајонууда Конjak чөкүнгүләри

## ХҮЛАСӘ

Конjak чөкүнгүләри Новосаратовка кәндинин чәнуб-гәрбиндән башлајараг Сүмүклү дағынын чәнуб-гәрбинә гәдәр узаныр. Бу чөкүнгүләрин ән чох инкишәф етдији саһә. Исалы, Заманлы, Дөртләр, Чүчәнли, Гасым—агалар, Мутудәрә вә с. кәндләрдир.

Көстәрилән саһәләрдә Конjak чөкүнгүләринин галынылығы 250 м-э чатыр. Бу чөкүнгүләр әһәнкли гумдашылардан, туфлардан вә аз мигдарда туфконгломератлардан ибарәт олараг, Мутудәрәнин чәпуб-гәрбиндә тәдричән Сантонун әһәнкли гумдашыларына кечир.

## ЛИТОЛОГИЯ

Л. А. БУРЯКОВСКИЙ, Я. А. ГАДЖИЕВ, Р. М. ДАДАШЕВ

КОЛЛЕКТОРСКИЕ СВОЙСТВА ПОРОД НИЖНЕЙ ЧАСТИ  
ПРОДУКТИВНОЙ ТОЛЩИ СКЛАДОК О. ЖИЛОГО И  
КАМНЕЙ ГРИГОРЕНКО

(Представлено академиком АН Азербайджанской ССР А. Д. Султановым)

Исследование литологического состава пород имеет большое значение для корреляции разрезов отдельных нефтяных месторождений и выбора направления разведки и доразработки нефтяных и газовых залежей. Изучением литого-коллекторских свойств пород Апшеронского архипелага много занимались такие геологи, как Э. Н. Алиханов, В. С. Мелик-Пашаев, А. Д. Султанов и другие исследователи.

За последние годы нами изучены коллекторские свойства песчано-алеврито-глинистых пород продуктивной толщи складок о. Жилого и Камней Григоренко, расположенных в юго-восточной части архипелага.

При изучении лиофизической характеристики пород-коллекторов-месторождения о. Жилого были использованы результаты 361 анализа, отобранных из 27 разведочных скважин. В связи с тем, что нефтегазоносность месторождения о. Жилого приурочена к нижней части разреза продуктивной толщи (КС, ПК, КаС), то главное внимание нами удалено изучению коллекторских свойств этой части разреза.

Калинская свита (КаС) характеризуется значительной фациальной изменчивостью и представлена глинами с тонкими прослойками тонко-зернистых песков.

Средний гранулометрический состав и другие коллекторские свойства пород калинской свиты по отдельным тектоническим полям месторождения и в целом по площади о. Жилого даны в табл. 1.

По данным гранулометрического анализа, содержание алевритовых разностей преобладает над песчаными как по отдельным полям, так и по всему месторождению, составляя в среднем 42,7%. Содержание глинистой фракции несколько меньше и составляет в среднем по площади 31,8%; содержание первой фракции ( $>0,25$  мм) незначительно и встречается в виде примесей. Алевриты, как правило, глинистые.

Таблица 1

Коллекторские свойства пород КаС площади о. Жилого

Коллекторские свойства	Северо-восточное крыло	Зона нарушения	Юго-западное крыло	В целом по площади
Гранулометрический состав, %				
>0,25 мм	9,3	7,5	0,5	4,2
0,25–0,1 мм	23,5	30,3	14,6	21,3
0,1–0,01 мм	34,4	28,9	54,2	42,7
<0,01 мм	32,8	33,3	30,7	31,8
Пористость, %	20,6	18,5	17,9	18,4
Проницаемость, мдарси	88,0	56,0	106,0	86,0
Карбонатность, %	7,9	10,2	10,9	10,2

Рассматривая гранулометрический состав пород по отдельным тектоническим полям, можно видеть, что юго-западное поле выражено преимущественно глинистыми образованиями, и только на юго-восточной периклинали складки выделяются несколько песчаных пачек (10–20 м), сложенных мелкосреднезернистым песком. Карбонатность пород изменяется от 7,9 до 10,9%, составляя в среднем по КаС 10,2%. Проницаемость пород варьирует в пределах от 56 мдарси до 106 мдарси. Это говорит о том, что породы калинской свиты относятся к средне-проницаемым коллекторам.

Общая пористость по площади в среднем составляет 18,4%.

Зона нарушения характеризуется в основном неотсортированными породами (хлодолиты, суглинки), небольшой пористостью (18,5%) и низкой проницаемостью.

Подкирмакинская свита (ПК) выражена среднекрупнозернистыми, реже мелкозернистыми песками с включениями черного угловатого гравия и прослойками песчаников.

По гранулометрическому составу (см. табл. 2) песчаники характеризуются преобладанием песчаных фракций (39,5%–55,6%) над алевритовой (25,9%–32,1%) и глинистой (15,2%–28,4%). Песчаники слабо сцеплены; содержание карбонатных веществ колеблется в пределах 8,9–14,4%, составляя в среднем 11,7%.

Таблица 2

Коллекторские свойства пород ПК площади о. Жилого

Коллекторские свойства	Северо-восточное крыло	Зона нарушения	Юго-западное крыло	В целом по площади
Гранулометрический состав, %				
>0,25 мм	1,0	3,5	1,3	3,0
0,25–0,1 мм	54,6	36,0	52,3	41,0
0,1–0,01 мм	29,2	32,1	25,9	30,1
<0,01 мм	15,2	28,4	20,5	25,9
Пористость, %	24,2	15,5	19,5	17,6
Проницаемость, мдарси	232	232	167	220
Карбонатность, %	8,9	10,8	14,4	11,7

Подкирмакинские пески и песчаники относятся к хорошо проницаемым коллекторам. Средняя проницаемость по месторождению в целом равна 220 мдарси.

Кирмакинская свита (КС) представлена частым чередованием тонкозернистых песков и серых песчанистых глин с прослойками песчани-

ков. Наибольшей песчанистостью отличается нижняя часть свиты, а верхняя в основном представлена глинистыми образованиями.

Коллекторские свойства свиты по отдельным тектоническим полям и в целом по площади представлены в табл. 3.

Таблица 3

Коллекторские свойства пород КС площади о. Жилого

Коллекторские свойства	Северо-восточное крыло	Зона нарушения	Юго-западное крыло	В целом по площади
Гранулометрический состав, %				
>0,25 мм	7,5	1,4	0,3	1,6
0,25–0,1 мм	12,6	15,0	2,6	10,6
0,1–0,01 мм	53,3	46,3	70,9	55,0
<0,01 мм	26,6	37,3	26,2	32,8
Пористость, %	24,6	20,2	25,7	22,2
Проницаемость, мдарси	106,0	54,0	105,0	82,0
Карбонатность, %	7,4	10,7	10,6	10,4

На основании данных гранулометрического анализа пород-коллекторов кирмакинской свиты видно, что алевритовая глина преобладает над другими типами пород (содержание третьей фракции варьирует от 46,3 до 70,9%). Глинистые частицы входят в их состав в заметном количестве (26,2–37,3%), благодаря чему указанные породы относятся к глинистым разностям. Песчаные фракции присутствуют в виде примесей и в среднем по месторождению составляют 12,2%.

Содержание карбонатов изменяется в пределах от 7,4% до 10,7%.

Наименьшим содержанием карбонатов характеризуются неуплотненные песчаники и плохо отсортированные породы.

Складка Камней Григоренко охарактеризована лишь несколькими полными анализами пород-коллекторов, по которым нельзя дать исчерпывающую литофизическую характеристику отложений как по площади, так и по стратиграфической глубине. Для сопоставления этой складки с о. Жилым использованы анализы пород, отобранных из скважин 2, 3, 4, 6, 9 и 10.

На основании обработки результатов исследования небольшого количества кернов все же можно дать некоторую сравнительную оценку пород-коллекторов нижнего отдела продуктивной толщи.

Калинская свита представлена глинами с тонкими прослойями тонкозернистых песков и характеризуется резким преобладанием алевритовой фракции (58,4%) над глинистой (30,3%) и песчаной (11,3%).

Содержание карбонатов—около 20%, пористость—20%.

Подкирмакинская свита сложена преимущественно буровато-серыми мелкозернистыми кварцевыми песками. Пески переслаиваются с тонкими пропластками песчаников, алевритов и глин.

Породы-коллекторы этой свиты характеризуются следующими свойствами: песчаные фракции (>0,1 мм) преобладают над другими фракциями, составляя в среднем 50,7%; алевритовая фракция—25,4%, глинистая—23,9%. Пески, как правило, алевритовые и местами глинистые.

Карбонатность пород составляет 17,0%, пористость—24,0%.

Кирмакинская свита представлена песчано-глинистым чередованием с преобладанием глин над песками и песчаниками, на что указывают также данные гранулометрического анализа. В породах из скважин 4 и 9 алевритовая (48,3%) и глинистая (41,1%) фракции присутствуют в большем количестве, чем песчаная фракция (10,6%). Кирмакинская свита в основном сложена глинистыми алевритами.

Содержание карбонатов колеблется в пределах от 7,5 до 8,2% и составляет в среднем 7,9%. Пористость равна 20%.

При сопоставлении коллекторских свойств пород складок Камней Григоренко и о. Жилого видно, что они улучшаются в юго-восточном направлении. В том же направлении происходит увеличение песчанистости и нефтенасыщенности пород. Это подтверждается еще и тем, что месторождения Грязевая Сопка и Нефтяные Камни, лежащие юго-восточнее о. Жилого, промышленно нефтенасыщены. На складке Камней Григоренко, простирающейся северо-западнее, хотя и пробурено 10 разведочных скважин, но нефтегазопроявлений пока не обнаружено.

Кроме того, нами на треугольнике смеси фракций изучено влияние неоднородности зерен на пористость и проницаемость породы.

При изучении влияния гранулометрического состава на пористость из всех анализов отобраны только те, которые показали величину карбонатности менее 20%. Как видно из рис. 1, наименьшей пористостью (<10%) обладают породы, в которых содержание фракций глин, алевритов и песков колеблется в пределах 30—50%. Наибольшая пористость присуща более однородным породам: чистым пескам и алевритам, причем чистые пески обладают самой высокой пористостью (>20%).

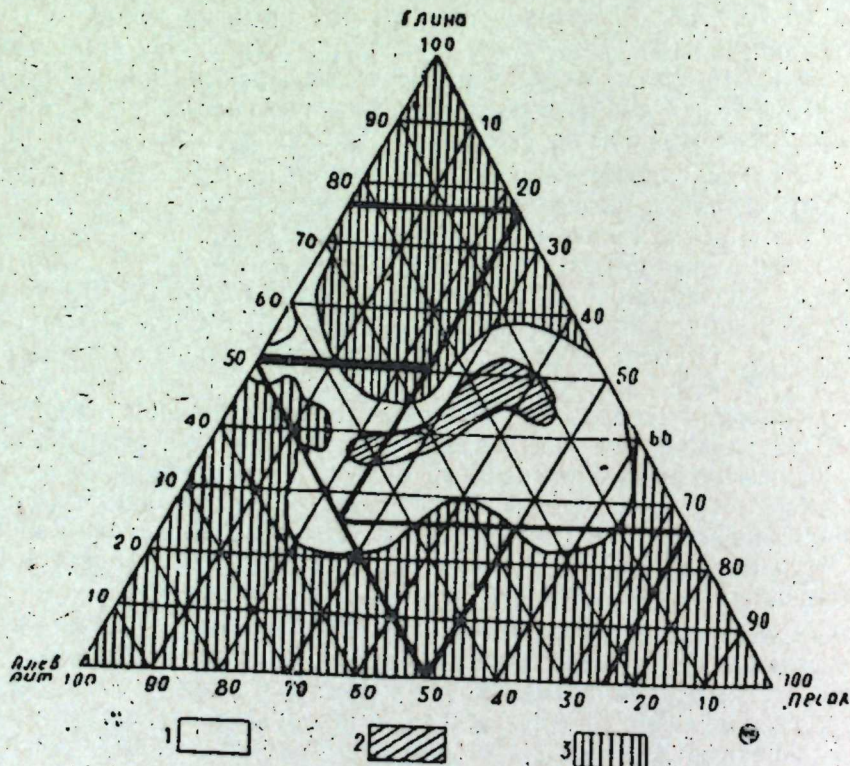


Рис. 1. Зависимость пористости от гранулометрического состава:  
1—<10; 2—10—20; 3—>20.

На треугольнике смеси (рис. 2) прослежена связь проницаемости с гранулометрическим составом, при этом изучались породы с наименьшей карбонатностью. Как видно, в зависимости от размера зерен породы изменяется значение проницаемости: с увеличением размера зерен увеличивается и проницаемость. На величину проницаемости

влияет и отсортированность породы, чем и объясняется низкая проницаемость отложений зоны нарушения, которая отличается плохой отсортированностью пород.

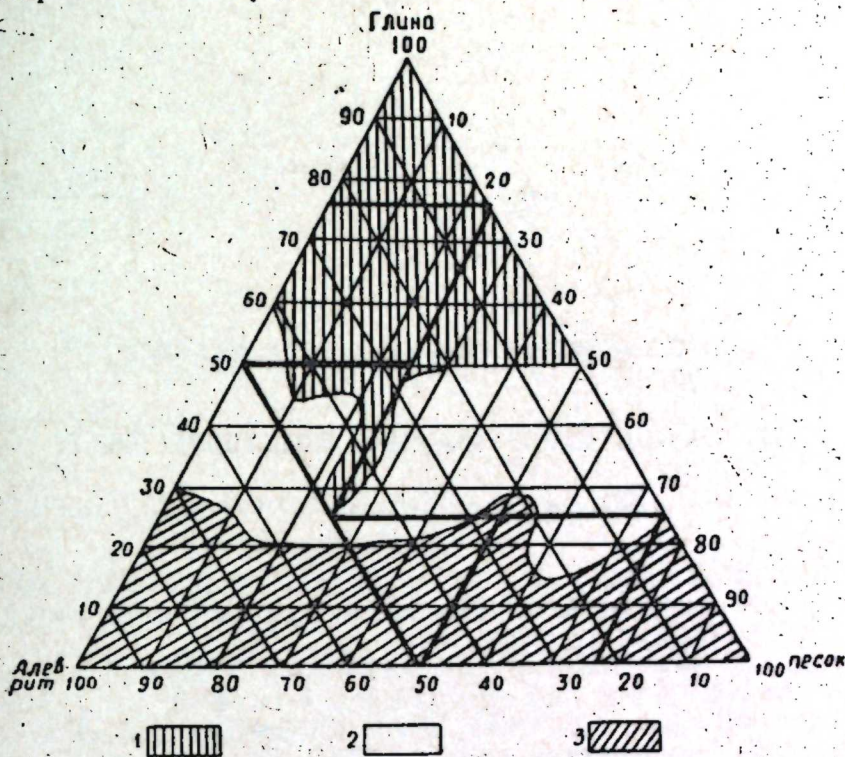


Рис. 2. Зависимость проницаемости от гранулометрического состава:  
1—<10 мдарси; 2—10—100 мдарси; 3—>100 мдарси.

Общее улучшение коллекторских свойств пород в юго-восточном направлении является обнадеживающим признаком при поисках новых (морских) залежей нефти и газа в пределах Апшеронского архипелага.

Институт геологии

Поступило 29. XI 1963

Л. А. Бурјаковски, Ј. А. Іаңыјев, Р. М. Дадашов

Жилој адасы вә Григоренко дашлары гырышынындакы  
Мәһсүлдар гат чөкүнтүләри алт һиссәсінин коллекторлуғы

Григоренко дашлары вә Жилој адасты гырышыларынын коллекторлуг хүсусијәтләрини мұгајисә едәркән, ахырынчының чәнуб-шәрг истигамәтдә артдығы гејд олуңур, белә ки, һәмни истигамәтдә гумалулуг вә нефтиллик артыр.

Бундан әlavә, фракцијаларын гарышығы үчбучағында сүхур дәнеләриниң өлчүләринин кечиричилик вә мәсамәлијә олан тә'сирі өјренилмәсdir. Бүтүн анализләрдән Ялныз карбонатлығы 20% аз олан илмешdir. Нәтичәдә мә'лум олмушдур ки, ән јүксәк иүмүнәләр көтүрүлмүшдүр. Нәтичәдә мә'лум олмушдур ки, ән јүксәк кечиричилик ежни типли сүхурлара: Ялныз гумлара вә я алевритләрә мәхсусдур.

Мәсамәликлә гранулометрија арасындағы әлагәнин өјренилмәсдин дән мә'лум олмушдур ки, сүхурларың яхшы сечилмәс мәсамәлијә ките'сир көстәрир. Белә ки, позгунлуг зонасындағы мәсамәлијин китек гијмәти орадакы сүхур дәнеләриниң пис сечилмәс иәтичәсидir.

ГЕОФИЗИКА

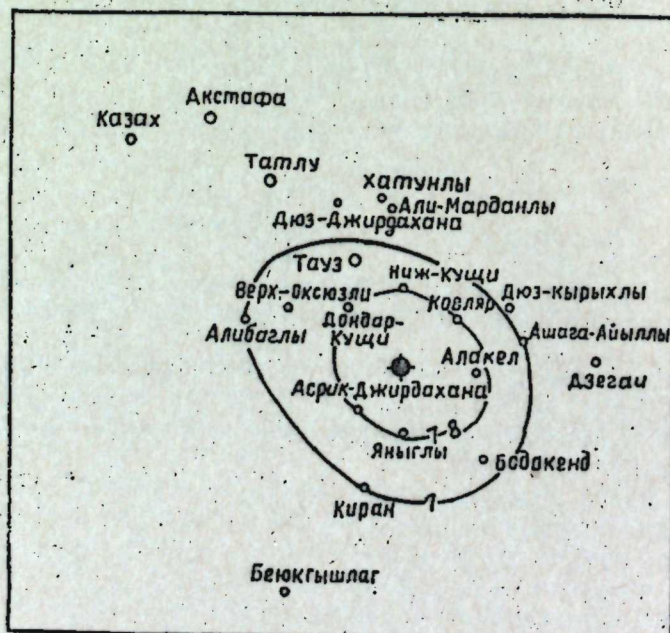
Ш. С. РАГИМОВ, Р. Д. ДЖАФАРОВ, А. М. АЛИЕВ

ТАУЗСКОЕ ЗЕМЛЕТРЯСЕНИЕ В ОКТЯБРЕ 1962 г.

(Представлено академиком АН Азербайджанской ССР А. Д. Султановым)

12 октября 1962 г. в 11 час. 22 мин. гринвичского времени (15 час. 22 мин. местного времени) в Таузском районе произошло семи-восьмибалльное землетрясение.

По инструментальным и макросейсмическим данным, положение эпицентра определено как  $f=40^{\circ}53' N$  и  $\lambda=45^{\circ}42' E$  (рис.). Глубина очага землетрясения оценена [1] по соотношению расстояний и балльностей между соответствующими изосейстами и равна примерно 5–8 км.



Район землетрясения, произшедшего в октябре 1962 г.  
в Таузском районе.

Картина проявления силы землетрясения в различных населенных пунктах следующая.

Сила землетрясения в Ковляре близка к 8 баллам. Люди выбегали из домов. Трудно было удержаться на ногах, некоторые падали. Падали книги, посуда, вазы. Легкие предметы подскакивали.

В сел. Н. Куши, Алакеле, Яныглы, Асрик-Джирдахана, Азаплы, Ибрагим-гаджалы землетрясение ощущалось силой 7–8 баллов; в Таuze, Дондар-Куши, Бодакенде, Киране, Алибаглы, В. Оксюзли—7 баллов; в Дюз-Кырыхлы, Беюкышлаге Джалилли — 6 — 7 баллов; в Дюз-Джирдахане, Хатунлы, Али-Марданлы—6 баллов; в Ашага-Айыллы, Татлу, Дзегаме—5 баллов; в Казахе и Акстафе—не ощущалось.

ЛИТЕРАТУРА

1. Айвазов И. В. Зависимости между балльностью, интенсивностью и глубиной очага для кавказских землетрясений. Сообщ. АН Груз. ССР, т. XXVI, 1961, № 2.

Институт геологии

Поступило 6. XI 1963.

ГЕОТЕКТОНИКА

А. Г. АЛИЕВ, Т. Р. МЕХТИЕВА, Т. Г. ЖГЕНТИ

УСЛОВИЯ ОБРАЗОВАНИЯ НИЖНЕМЕЛОВЫХ ОТЛОЖЕНИЙ  
СЕВЕРНОГО АЗЕРБАЙДЖАНА И ДАГЕСТАНА

Нижнемеловая эпоха Северного Азербайджана и Дагестана представляет собой самостоятельный трансгрессивный цикл геотектонического развития мезозоя, заключенного между андийской и сеноманской орогенными фазами.

В геоморфологическом отношении бассейн седиментации отличался сложностью рельефа, особенно в неокомское время.

В начале нижнего мела бассейн был расчленен на три зоны с различным геотектоническим режимом.

К первой зоне относится Дибрарский прогиб, который отличался интенсивным накоплением мощных осадков типа флиша.

К северу между Дибрарским прогибом и бассейном р. Самур выделяется вторая зона, отличающаяся большей стабильностью и накоплением флишоидных осадков меньших мощностей.

К третьей зоне относится бассейн дагестанской части территории и прилегающая часть равнинной зоны Северного Азербайджана. В неокоме этот бассейн представлял собой довольно узкий пролив, зажатый с северо-востока и юго-запада сушами, где вначале накапливались лагунные, лагунно-заливные, затем прибрежно-мелководные, в основном, карбонатные породы. С конца верхнего баррема на этой территории установилось широкое открытые море, где отлагались нормально-морские осадки.

Отложения валанжина почти всей рассматриваемой области залегают со стратиграфическим перерывом на подстилающих отложениях, вплоть до средней юры. При этом степень размыва, в основном, затухает в северо-западном направлении.

Имеющиеся данные показывают, что в геоморфологическом отношении валанжинский бассейн отличался наибольшей сложностью своего строения; в начале века на большей части бассейна отлагались лагунные и лагунно-заливные отложения, в дальнейшем сменившиеся нормально-морскими осадками.

Касаясь вопроса образования флиша в Дибрарском прогибе, надо отметить, что изучением этих отложений на территории Юго-восточного Кавказа занимался ряд исследователей [3, 4, 5, 6, 7, 12, 13]. Образование флиша и методике его изучения посвящен ряд ценных работ Н. Б. Вассоевича [3, 4]. Согласно концепции названного ученого, флиш мог образоваться в геосинклинальном поясе в определенную орогенную стадию развития геосинклиналии.

Дибрарский бассейн геоморфологически представлял собой прогиб шириной 25–150 км, который был обрамлен зонами поднятий, сложенными карбонатными породами верхней юры. На юге поднятие протягивалось в виде суши, а на севере—подводного барьера, образовавшего кордильерную гряду. Прогиб этот испытывал интенсивное длительное погружение, компенсированное накоплением мощных флишевых осадков разного литологического состава. В то же время поднятие, окружающие прогиб, испытывали восходящие движения, что сопровождалось значительными размывами их и в результате этого поступлением в прогиб большого количества, в основном, карбонатного материала, за счет которого формировался крупноритмичный карбонатный флиш бабадагской серии.

Распределение лиофаций в дибрарском прогибе происходило в следующем порядке. В зоне, примыкающей к интрагеосинклиналям и в заливах, накапливались отложения грубого флиша, представленные преимущественно грубообломочными карбонатными породами: валумными, глыбовыми, галечниковыми конгломератами, разнозернистыми гравелитами, песчаниками с линзами известковых глин, осложненных в ряде случаев деформационными текстурами. В разрезе отмеченные осадки образуют неравномерное косослоистое чередование, претерпевая механическое измельчение частиц по направлению к центральной части бассейна.

Динамически подвижная среда не способствовала развитию фауны. Однако в отдельных мелководных прикордильерных бухтах, защищенных от сильных волнений, обитали брахиоподы, мшанки, пелециподы, гастроподы и др., которые иногда встречаются среди отложений грубого флиша.

В центральной части бассейна, в удалении от кордильер, происходят фациальные изменения, выразившиеся, в накоплении более мелкозернистых, типично флишевых и субфлишевых отложений.

Осадки грубого флиша, как отмечалось выше, представлены различными типами средне- и мелкообломочных пород: мелкообломочными конгломератами, гравелитами, олигомиктовыми песчаниками, алевролитами, известняками, а также мергелями и известковыми глинами [4].

Для отложений субфлиша характерны тонкоотмученные некарбонатные кремнистые глины и мергели.

Если в образовании грубого флиша основным фактором осадкообразования являлась механическая дифференциация пород, то в образовании осадков флиша и субфлиша все более примешивались продукты физико-химического разделения исходного вещества таких как  $\text{CaCO}_3$  и  $\text{SiO}_2$ .

Вторая зона, как было сказано выше, характеризуется сравнительно малым прогибанием. С севера она примыкала к северо-восточной суше, с юга ограничивалась кордильерой Дибрарского борта. На большей части этой территории образовались отложения флишоидных фаций, представленных мергелями, различными по составу песчаниками, алевролитами и органогенными известняками с подчиненными прослоями глин. Только у подножья южной кордильеры имело место накопление осадков типа грубого флиша. В районе Шахдага и прилегающих участках (Гетиниль) формировались отложения лагунной фации.

В третьей зоне распределение фаций происходит в следующем порядке: на юге территории (Южный Дагестан, горная часть Северного Азербайджана) в валанжинское время формировались отложения лагунной фации—известняки и доломиты, которые постепенно сменились нормально-морскими и прибрежно-мелководными осадками, представленными в основном пелитоморфными и органогено-обломочными известняками.

В готеривское время трансгрессия бассейна усиливается, в связи с чем возрастает роль обломочного материала. Это, в свою очередь, способствовало размыву валанжинских и частично юрских терригенных пород. Следует отметить, что конфигурация бассейна по сравнению с валанжинским, особенно на юге территории, мало изменилась.

Распределение фаций отложений готерива происходит в основном по тому же плану, что и валанжинские. В Дибрарской зоне по-прежнему продолжали накапливаться флишевые отложения, преимущественно терригенного состава. Севернее, в междуречье рек Гильгинчая и Карадая имело место образование флишоидных отложений, в основном, терригенного состава, а по бортам этого прогиба отлагались осадки типа грубого флиша. В зоне Шахдага, Судура и окружающих районов продолжалось образование мелководных фолитовых, органогенных и органогенно-обломочных известняков с прослоями тонкообломочных разностей.

Аналогичные же отложения формировались и на юге территории Дагестана. В северо-западном участке бассейн претерпевает существенные изменения как в геоморфологическом, так и в геохимическом отношении.

План распределения литологических типов пород готеривского бассейна как Северного Азербайджана, так и Дагестана, всецело определился соотношением его с обрамляющей сушей.

Наиболее существенные палеогеографические изменения происходят в барремское время. Трансгрессия в это время охватила большую территорию и намного перекрыла условия, существовавшие в готеривское время. Этим только можно объяснить, что геотектонический план территории Дагестана значительно упростился, а на юге территории эти условия оставались почти без изменений. Поэтому в Дибрарской зоне продолжал образовываться терригенный флиш, с прежним планом распределения фаций и литогенетических типов пород. Вдоль суш и кордильер образовался грубый флиш с „дибрарскими утесами“ лузитанских известняков и характерными для этой фации литогенетическими типами пород: крупнообломочных конгломератов, брекчий, гравелитов, песчаников в чередовании с мелкозернистыми разностями и подчиненными прослоями глинистых известняков и косослоистых алевролитов. В области развития типичного флиша накапливалась толща чередования серых, зеленовато-серых, темно-серых глин с подчиненными прослойками мергелей, фолитовых и органогенно-обломочных известняков, известняковых алевролитов и песчаников.

Во второй зоне, расположенной севернее Тенгинско-Бешбармакского антиклиниория, помимо флишоидных осадков происходило образование мелководных отложений, представленных мергелями и глинами с конкрециями.

В зоне Шахдага и на территории Южного Дагестана в нижнебарремское время происходило образование органогенных, фолитовых, пелитоморфных известняков, а также алевролитов, песчаников и глин.

Вблизи восточной сушки рассматриваемое время отлагались фолитовые, органогенно-обломочные песчаные известняки с подчиненными прослойками известняковых песчаников и алевролитов.

В области максимального прогиба шло образование преимущественно пелитоморфных, реже зернистых известняков с подчиненными прослойками глин.

В верхнем барреме накапливались преимущественно терригенные осадки.

Флишевые отложения, которые образовались во второй зоне, по направлению Южного Дагестана приобретают все более мелководный нормально-морской облик, представлены глинистыми, реже алевроли-

товыми породами. К северо-западу происходит обогащение пород прослойками органогенно-обломочных, устричных известняков, гравелитов, которые образуют пачки неравномерного чередования в разрезе. Далее к северу и северо-западу наблюдается еще более значительное погружение материала, выразившееся в накоплении, в основном, крупнозернистых песчаных пород в чередовании с алевролитами, глинами и реже устричными органогенно-обломочными гравелитами.

В апте трансгрессия моря еще более усилилась. В пределах территории Дагестана и прилегающих районов Азербайджана она сопровождалась общим погружением дна бассейна в сторону Центрального Дагестана. Береговые линии расширились, установилось открытое широкое море.

В Дибрарской зоне уменьшилась интенсивность прогибания бассейна и, соответственно, мощность накапливаемых осадков. В начале века море перекрыло все островные поднятия, имевшие место в этой зоне. Все это способствовало установлению условий седиментации осадков, близких к нормальному-морским.

В верхнем апте в районе г. Бешбармак и Ситалчайской зоне вновь появляются островные поднятия, а в области седиментации происходит накопление отложений флиша. На процесс осадкообразования оказали влияние, также сушки, которые в начале века значительно поднялись и служили дополнительным источником питания аптского бассейна обломочным материалом [13].

Фациальные изменения отложений осадков в бассейне происходили в следующем порядке. В Дибрарской зоне продолжали накапливаться флишевые отложения, представленные оливково-серыми и светло-серыми карбонатными глинами, с включением конкреций почти не отличимыми по литологическому составу от верхнебарремских.

В зонах, прилегающих к сушам и подводным валам, в отложениях септириевого горизонта появляются конгломераты, состоящие из обломков лузитан-неокомских известняков, прослоев гравелитов, песчаников, алевролитов и обломков известняков типа дикого флиша.

В нижнеальбское время на территории Дагестана и прилегающих районов Азербайджана бассейн продолжал расширяться соответственным отступлением береговых линий. Зона максимального прогибания передвинулась на северо-запад в районы бассейна рек Казикумухское Койсу, Кара-Койсу и Аварское Койсу.

На юге территории происходили значительные изменения в области распространения сушки [13, 8]. Продолжалось воздымание и образование островных суш в зоне Шахдага и сел. Касумкента, возникла суша и в зоне Тенгинско-Бешбармакского антиклиниория.

В связи с этим формирование альбских отложений происходило в различной фациальной обстановке. В Дибрарской зоне по бортам суш, кордильер и основных поднятий накапливались осадки типа грубого флиша — конгломераты и брекчии, а также мелкообломочные породы. Во внутренней части бассейна формировались продукты поздней рассортировки, которые образуют здесь флишевое чередование красно-цветных, зеленовато-серых известняковых глин с подчиненными прослойками песчаников, алевролитов и известняков. В наиболее удаленных от сушки и кордильер частях бассейна формировались осадки субфлиша, представленные преимущественно серыми и темно-серыми неизвестняковыми, окремнелыми, передко битуминозными тонкослоистыми глинами (битуминозные сланцы). За пределами флишевого бассейна, на территории Дагестана и прилегающей к нему равнинной зоны Азербайджана продолжали образовываться нормально-морские отложения.

В осадках нижнего альба очень часто и в ряде случаев в большом количестве встречаются крупные (до 3 м) известковые и реже более

мелкие (до 10–15 см в диаметре) сидеритовые конкреции, которые залегают в разрезе параллельно напластыванию пород.

Начиная со среднеальбского времени, Юго-восточный Кавказ вступает в новую фазу геотектонического развития, которая выразилась в нарастании эпейрогенетических движений, а это в свою очередь, привело к поднятию на севере Бешбармакской кордильеры, а на юге—Южной суши [13]. В Дибрарский бассейн начал поступать более грубообломочный материал, который во флишевом наборе образовал прослои известковых гравелитов, песчаников, алевролитов. Мощность этих прослоев возрастает к северу и югу.

В верхнем альбе усиление геотектонических движений способствовало образованию флишоидных отложений, представленных довольно мощной пачкой (до 90–100 м) кюлюлинских алевролитов, а затем вновь флишевых отложений ауцелинового горизонта.

На территории Дагестана отложения среднего и верхнего альба не всегда расчленяются. Принято считать, что среднеальбские отложения представлены здесь темно-серыми, почти черными глинами с большим количеством пиритовых и марказитовых конкреций. Отложения верхнего альба сложены чередованием черных глин и светло-серых мергелей.

#### ЛИТЕРАТУРА

1. Белоусов В. В. К истории Большого Кавказа в верхнеюрское и нижнемеловое время. „Пробл. сов. геол.”, 1, 1937.
2. Брод И. О. Литолого-фациальные и структурные условия меловых отложений Дагестана. Отчет ВНИИГаз, ч. I—II, М., 1951.
3. Вассоевич Н. Б. Флиш и методика его изучения. Гостоптехиздат, 1948.
4. Вассоевич Н. Б. Условия образования флиша. Гостоптехиздат, М., 1951.
5. Голубятников В. Д. Геологическое строение Дагестана. Труды 1 научн. сессии (1947). Дагестанская научн. иссл. база АН СССР, 1948.
6. Гроссгейм В. А. К палеогеографии юго-восточного Кавказа в верхнеальбскую эпоху. БМОИП, отд. геол., т. XI, (2), 1948.
7. Даилбекова Э. А. Флишевая формация Юго-восточного Кавказа. Докторская дисс., 1960, АзНИИ.
8. Конюхов И. А. История развития Дагестана в мезозойское время. Уч. зап. МГУ, вып. 176, 1956.
9. Конюхов И. А. К палеогеографии Дагестана в мезозойское время. Уч. зап. МГУ, вып. 176, 1956.
10. Олейник Б. В. Палеогеография Дагестана в нижнемеловое время. Вестник МГУ, 16, 1952.
11. Ренгартен В. П. Нижнемеловые отложения южного склона Большого Кавказа. Геол. СССР, т. 10, ч. 1, 1941.
12. Султанов А. Д. Литология меловых отложений Юго-восточной части Большого Кавказа. Изд. АН Азерб. ССР, 1960.
13. Хани В. Е. Геотектоническое развитие Юго-восточного Кавказа. Азнефтейздат, 1950.
14. Халилов А. Г. и др. Фауна и стратиграфия нижнемеловых отложений Юго-восточного Кавказа. Фонды Института геологии АН Азерб. ССР, 1961.

Институт геологии

Поступило 15.VI 1964

Э. Н. Элиев, Т. Р. Медиева, Т. Г. Жкенти

Шимали Азэрбајҹаның вә Дағыстаның ашагы тәбашир чөкүнтуләринин әмәләкәлмә шәraitи

#### ХУЛАСӘ

Тәдгиг олунан район һудудунда ашагы тәбашир чөкүнтуләри чәнуб-шәрги Гафгазын қеотектоник инкишафында хүсуси јер тутараг, өзүнүн бүтүн јаруслары илә (Валанжин, Іотерив, Баррем, Апт, Алб) иштирак едир.

Ашагы тәбашир чөкүнтуләринин әмәлә кәлмәси районун қеотектоник инкишафы вә иглим шәрайти илә сых әлагәдардыр. Һәмин чөкүнтуләр флиш фасијасындан, флишдән нормал дәниз чөкүнтуләрине кечид фасијасындан, нормал—дәниз вә лагун фасијаларындан ибарәтдир.

Бу дөврдә тәдгиг олунан район З сәрбәст зонаја айрылыр ки, булар да һәр бири өз қеотектоник режимине вә чөкмә шәрайтине көрә фәргләнәрәк бүтүн ашагы тәбашир дөврүндә өз хүсусијәтләрини сахламышлар.

Дибрар зонасы адланан I зона әсасен бөյүк галынылыглы флиш чөкүнтуләри, бу зонадан шималда, јерләшән II зона нисбәтән аз галынылыглы флишә бәнзәр чөкүнтуләрлә характеристизә олунур.

Дағыстан әразисини әнатә едән III зонада Ашагы Тәбашир дөврүнүн әvvәлиндә лагун вә саһил-дајаз, Јухары Барремдән башлајараг исә нормал дәниз чөкүнтуләри инкишаф едир.

ГЕНЕТИКА

И. К. АБДУЛЛАЕВ, Н. А. ДЖАФАРОВ

ВЛИЯНИЕ КАЧЕСТВА ЛИСТА ВЫСОКОПОЛИПЛОИДНОЙ ШЕЛКОВИЦЫ НА ПОСЛЕДУЮЩИЕ ПОКОЛЕНИЯ ТУТОВОГО ШЕЛКОПРЯДА

В связи с проводимой нами работой по искусственному получению и изучению полиплоидной формы шелковицы [1] представляет большой интерес изучение кормовых качеств листа при полипloidии. В ранее опубликованных работах нами рассматривались вопросы химического состава листа, искусственно полученных тетраплоидных форм шелковицы [2] и кормовые качества листа высокополиплоидной шелковицы *Morus nigra* L. при проведении весенних и летне-осенних выкормок гусениц тутового шелкопряда [3].

В настоящей работе нами рассматриваются результаты исследований, проведенных в 1959—1962 гг. по изучению влияния качества листа высокополиплоидной шелковицы на последующие поколения тутового шелкопряда.

В наших опытах выкармливались гусеницы породы „Азад“. В качестве корма использовали лист высокополиплоидного вида шелковицы Хар-тут (22 п-308 хромосомного) и в качестве контроля лист диплоидной шелковицы (2 п-28 хромосомного). Выкормка проведена в 4-кратной повторности по 800 гусениц в каждом варианте.

В результате проведенной работы изучены основные биологические показатели выкормки, технологические свойства коконов, а также племенные показатели тутового шелкопряда.

Как видно из данных биологических показателей выкормок, приведенных в табл. 1, при кормлении гусениц листом высокополиплоидного вида шелковицы Хар-тут не только удлиняется, а наоборот сокращается продолжительность выкормочного периода. При этом кормлении гусениц в течение 4—5 поколений листом высокополиплоидной шелковицы отрицательно не влияет на продолжительность выкормки.

По такому важному показателю, как жизнеспособность гусениц, вариант Хар-тута до третьего поколения не уступает контролльному варианту, а после третьего поколения замечается некоторое снижение жизнеспособности гусениц у варианта, получавшего лист высокополиплоидной шелковицы.

Средний вес сырого кокона является основным показателем, определяющим его урожайность. По этому показателю варианты, где гу-

Таблица 1  
Биологические показатели выкормки гусениц тутового шелкопряда

Поколения выкармливаемых гусениц	Продолжительность выкормки, сутки	Жизнеспособность гусениц, %	Средний вес живого кокона, г		Вес шелковой оболочки 100 коконов, г	Процент шелковой оболочки сырого кокона	Урожай нормальных коконов от 200 взятых на выкормки гусениц, г
			♂	♀			
1960 г.							
Диплоидной шелковицы	—	29,0	91,1	1,95	1,64	1,79	36,5
Высокополиплоидной шелковицы	2	29,0	94,9	1,94	1,55	1,75	34,0
Высокополиплоидной шелковицы	3	30,0	89,4	2,04	1,71	1,88	36,8
1961 г.							
Диплоидной шелковицы	—	29,2	95,9	1,80	1,52	1,66	33,4
Высокополиплоидной шелковицы	3	29,0	92,1	1,78	1,39	1,58	28,2
Высокополиплоидной шелковицы	4	29,0	88,3	1,73	1,45	1,59	29,7
1962 г.							
Диплоидной шелковицы	—	30,0	98,0	1,91	1,63	1,77	35,4
Высокополиплоидной шелковицы	4	29,0	93,1	2,08	1,71	1,90	36,8
Высокополиплоидной шелковицы	5	29,0	93,0	2,13	1,78	1,96	37,2

сеницы 4—5 поколений выкармливаются исключительно листом высокополиплоидного вида шелковицы дали неплохие результаты. Так, варианты Хар-тута в 1960 г. почти находились на одном уровне с контролем, в 1961 г. несколько уступали ему, а в 1962 г. на 4—5 поколении даже несколько превосходили его. Такая же последовательность имеет место и по абсолютному весу шелковой оболочки коконов. Что касается процента шелковой оболочки коконов, то замечается, что при кормлении гусениц листом высокополиплоидного вида шелковицы со второго поколения он несколько снижается,

Наряду с биологическими показателями, мы изучали влияние качества листа высокополиплоидной шелковицы и на технологические свойства коконов, результаты которых приводятся в табл. 2.

Из приведенных в таблице данных видно, что из поколения в поколение по всем вариантам имеет место снижение шелконосности коконов, но шелконосность коконов полученных при кормлении листом высокополиплоидной шелковицы, падает значительно больше, чем у контрольного варианта. По выходу шелка-сырца также наблюдается, что варианты Хартута в последующих поколениях отстают от контрольного варианта. Что касается разматываемости коконов, длины нити кокона и длины непрерывно разматываемой нити кокона, то по этим показателям не замечается определенной закономерности.

Нами изучены также вес и количество греней у нормальных кладок, средний вес греней и их оживляемость приводятся в табл. 3.

Таблица 2

Технологические свойства коконов тутового шелкопряда

Выкармливание гусениц листом	Поколение выкармливаемых гусениц	Шелкопосность коконов, %	Выход шелка-сырца, %	Разматываемость коконов, %	Длина нити, м	ДНРН, м	Метрический номер
1960 г.							
Диплоидной шелковицы	—	49,4	41,7	84,4	942	806	3107
Высокополиплоидной шелковицы	2	47,2	39,2	84,0	851	740	3151
Высокополиплоидной шелковицы	3	47,8	40,4	85,8	875	784	2863
1961 г.							
Диплоидной шелковицы	—	48,8	38,6	79,3	826	730	3137
Высокополиплоидной шелковицы	3	45,6	35,1	76,0	788	637	3517
Высокополиплоидной шелковицы	4	45,3	34,8	77,2	696	611	3066
1962 г.							
Диплоидной шелковицы	—	47,3	40,0	84,0	982	859	3296
Высокополиплоидной шелковицы	4	43,7	36,0	82,0	978	861	3437
Высокополиплоидной шелковицы	5	43,4	34,3	79,1	840	752	3026

Таблица 3

Количество, вес и оживляемость грены тутового шелкопряда

Выкармливание гусениц листом	Поколения выкармливаемых гусениц	Общее кол-во грены в одной кладке, шт.		Вес нормальной грены, мг		Оживляемость грены, %
		всего	нормально	в одной кладке	одной грены	
1960 г.						
Диплоидной шелковицы	—	655	640	382	0,586	91,5
Высокополиплоидной шелковицы	2	640	615	357	0,585	89,3
Высокополиплоидной шелковицы	3	713	695	412	0,596	91,5
1961 г.						
Диплоидной шелковицы	—	635	620	362	0,588	96,1
Высокополиплоидной шелковицы	3	582	561	324	0,577	95,9
Высокополиплоидной шелковицы	4	568	539	303	0,562	96,0
1962 г.						
Диплоидной шелковицы	—	680	663	394	0,595	95,3
Высокополиплоидной шелковицы	4	704	681	411	0,603	94,1
Высокополиплоидной шелковицы	5	721	698	409	0,586	93,7

Из данных, приведенных в табл. 3 видно, что почти по всем показателям лист высокополиплоидной шелковицы не уступает варианту, где гусеницы выкармливались листом диплоидной шелковицы, при этом следует отметить, что в 4–5 поколениях у вариантов выкормленных листом Хар-тута замечается некоторое снижение оживляемости грены.

Изучение влияния качества листа высокополиплоидного вида шелковицы на последующие поколения тутового шелкопряда дает нам основание прийти к следующим выводам:

1. Кормление гусениц тутового шелкопряда в течение нескольких поколений листом высокополиплоидного вида шелковицы показало, что при первых поколениях по биологическим показателям не замечается резкой разницы в сравнении с контрольным диплоидным вариантом. Однако при последующих поколениях снижается жизнеспособность и процент шелковой оболочки, но увеличивается средний вес и общий урожай коконов в варианте выкормленных листом высокополиплоидной шелковицы.

2. Гусеницы, получившие несколько поколений листа высокополиплоидной шелковицы дают коконы с пониженной шелконосностью и выходом шелка-сырца. Эта разница из поколения в поколение увеличивается. Качество листа Хар-тута после второго–третьего поколения отрицательно сказывается на разматываемости коконов.

3. По гренажным показателям высокополиплоидная шелковица несколько уступает контрольному диплоидному варианту. При этом следует отметить, что в 4–5 поколениях также замечается некоторое снижение оживляемости грены у варианта, выкармливаемого все время листом высокополиплоидной шелковицы.

## ЛИТЕРАТУРА

1. Абдуллаев И. К. Полиплоидия в селекции шелковицы. ДАН Азерб. ССР\*, 1963, № 1.
2. Абдуллаев И. К., Гусейнова П. А. О химическом составе листа искусственно полученных тетрапloidных форм шелковицы. ДАН Азерб. ССР\*, 1962, № 11.
3. Абдуллаев И. К., Джагаров Н. А. О кормовом качестве листа высокополиплоидной шелковицы *Morus nigra* L. ДАН Азерб. ССР\*, 1963, № 2.
4. Джагаров Н. А. Получение полиплоидных форм шелковицы. Бюллетень "Шелк", № 1. 1964. Ташкент.
5. Махмудбекова Н. И. Изучение сортового состава плодовой шелковицы Ашшерона. Канд. дисс., 1961 г. 6. Сек и Х. Осикане К. Изучение полиплоидных шелковиц. Оценка качества листьев выведенных сортов полиплоидной шелковицы и результаты кормления ими шелковичного червя. Реф. ж. "Биология", 1961, № 12.
6. Хамада С. Полиплоидные деревья шелковицы в практике (перевод с японского). Сообщение на международной конференции шелководов в Мурсии, 1960.

Институт генетики и селекции

Поступило 2. IV 1964

И. К. Абдуллаев, Н. А. Чәфәров

Жүксәк полиглосидли тут јарпагының ипәк гурду нәслинә тә'сири

## ХҮЛАСӘ

Жүксәк мәңсул верән полиплоид форма тут ағачы алмаг мәгсәдилә апардығымыз селексија ишинде эн мараглы чәһәтләрдән бирі јарпагларын ипәк гурдуң биологиялық тәсәррүфат көстәричиләринә тә'сирини өјрәнилмәсидир.

1959–1962-чи илләр әрзиндә апардығымыз тәчрүбәләр көстәрди ки, ипәк гурдуң жүксәк полиплоидли тут јарпагы илә узун мүддәт, јәни 4–5 нәсил јемләндирдикдә ашағыдағы иәтичәләр алышыр:

1. Ипек гурду јүксәк полиплоидли тут јарпағы илә 2–3 нәсил јемләнәркән, бараманың биологи хүсусијәтләриң көрә, диплоид тут јарпағы илә јемләнән вариантдан о гәдәр дә сечилмир. Аичаг сонуничу нәсилләрдә (4–5-чи) јүксәк полиплоидли тут јарпағы илә јемләнән вариантыларда гурдларын јашама фази азалыр, бир јаш бараманың чәкиси вә үмуми барама мәһсүлу артыр.

2. Јүксәк полиплоидли тут јарпағы илә јемләнән вариантдан алынан барамалардан ипек чыхымы нәсилдән-нәслә хејли азалмагла һәмин барамаларын ачылмасы да чәтииләшир.

3. Гренаж көстәричиләринә көрә, полиплоид тут јарпағы илә јемләнән вариантылар диплоид тут јарпағы илә јемләнән вариантылардан кери галыр.

ГЕНЕТИКА

М. А. МИКАИЛОВ, Н. Б. БАБАЕВ

**БИОЛОГИЯ ВЕГЕТАТИВНОГО РАЗМНОЖЕНИЯ АРУНДО-ТРОСТНИКОВОГО (*ARUNDO DONAX L.*) КАРГЫ**

(Представлено академиком АН Азербайджанской ССР И. Д. Мустафаевым)

Декабрьский пленум ЦК КПСС (1963) в своем историческом постановлении указывает на необходимость ускоренного развития целлюлознобумажной промышленности СССР. Ценным сырьем для развития этой отрасли служат тростниковые растения, произрастающие в природных условиях (в зарослях) Азии, Украины, Закавказья и других зон СССР [2, 3, 5].

В природных условиях низменных районов Азербайджана на площади более 71 000 га произрастает тростник (*Pragmites communis* (L.) Trin., камыш) и на 5000 га — арундо-тростниковые каргы. Эти виды растений, произрастающие преимущественно во влажных условиях, дающие за год огромный рост надземных частей, по 5–6 м, являются хорошим сырьем для целлюлозной промышленности [4, 6, 7]. Отмечается о необходимости всестороннего углубленного изучения биологии размножения тростниковых растений, приемов сохранения, улучшения зарослей и введения их в культуру.

При генетических и селекционных работах важное значение имеет знание деталей биологии размножения, побегообразования тростниковых растений [1]. Замечено, что в зарослях Азербайджана каргы и камыш размножаются за счет вегетативных органов — (ползучими) корневищами.

Половое размножение у этих видов отсутствует. Предварительное изучение показывает, что в силу отсутствия жизнеспособных пыльцевых зерен в период цветения у каргы и камыша, видимо, опыления и оплодотворения не происходит. Полагаем, что дальнейшие цитологические исследования подтвердят это.

Прежде чем изложить результаты экспериментальных работ, проведенных нами в 1961–1963 гг. по вопросу вегетативного размножения арундо-тростникового (карги), вкратце остановимся на материале и методике исследования.

В опытах использовались зимние корневые (корневищные) и стеблевые черенки. Для этого из растений карги, произрастающих в течение 15 лет на территории Бакинского Ботанического сада, среза-

лись стебли, закапывались корни и заготавливались стеблевые и корневые черенки длиной 13–15 см. На черенках имелось не менее двух глазков (побегов).

Корневые и стеблевые черенки карги для укоренения выращивались на стеллажах теплицы во влажных субстратах промытого морского песка и в апшеронской сероземной почве в три приема (способа).

В первом—черенки на 2/3 своей длины высаживались вертикально, т. е. апикальная часть вверх, базальная вниз, во втором—наоборот, в третьем—черенки по одному заделывались горизонтально на глубину 3 см в обоих субстратах. Для каждого способа, субстрата закрытого грунта в обоих опытах брали по 20 черенков.

С апреля 1963 г. подобные опыты за счет весенних и осенних стеблевых и корневых черенков карги размером 5, 15 см, при различной глубине заделки, площади питания и способе проводились аспирантом Н. Б. Бабаевым на почвах питомника в Хурдалане Апшеронского лесхоза. В условиях закрытого и открытого грунтов за опытными черенками осуществлялся необходимый агротехнический уход, проверялась степень укоренения, рост надземных и подземных частей растений, выращенных из корневых и стеблевых черенков.

Теперь остановимся на некоторых результатах этих опытов.

Таблица I

Влияние способов выращивания на укореняемость корневых и стеблевых черенков арундо-тростникового на стеллажах теплицы, 27. XII 1961 г.

№ п/п	Субстрат, укореняемость черенков	Морской песок		Апшеронская почва		корневые	стеблевые
		корневые	стеблевые	корневые	стеблевые		
	укоренивш. черен.	%	укоренивш. черен.	%	укоренивш. черен.	%	
1	Вертикальная посадка, т. е. апикальная часть черенка вверх, базальная вниз	16	80,0	3	15,0	15	75,0
2	Наоборот	14	70,0	2	10,0	10	50,0
3	Горизонтально-луночный посев черенков	17	85,0	5	25,0	16	80,0
						4	20,0

Из табл. 1 видно, что стеблевые и корневые черенки арундо-тростника способны укореняться при всех трех способах выращивания. Однако в силу биологического состояния стеблевые черенки на морском песке дают в 3–7 раз меньше укоренения (10–25%), нежели корневые (70–85%). В субстрате апшеронской почвы черенки соответственно дают в 4–5 раз меньше укоренения (5–20%), нежели корневые (50–80%).

При обоих субстратах корневые и стеблевые черенки арундо-тростника дают процент укоренения при горизонтально-луночном способе выращивания больший (20–85%), нежели при вертикальной посадке — апикальная часть черенка вверх и базальная вниз (10–80%) и наоборот (5–70%).

Опыты со стеблевыми черенками арундо-тростника повторно заложенные 5. II 1963 г. в субстрате морского песка при различных способах выращивания дают сравнительно большой процент укоренения, чем при опыте от 27. XII 1961 г., что видно из табл. 2.



Рис. 1. 6-месячные растения, выращенные из стеблевых черенков опыта 5. II 1963 г. за первую вегетацию, август 1963 г.



Рис. 2. 6-месячные растения, выращенные из стеблевых черенков опыта 5. II 1963 г., за вторую вегетацию, апрель 1964 г.

Таблица 2

Влияние способов выращивания на укореняемость стеблевых черенков арундо-тростникового в субстрате морского песка

% п/п	Способы выращивания чёренков	Число опытных черенков	Из них	
			укоренились	%
1	Вертикальная посадка, т. е. апикальная часть черенка вверх, базальная вниз	20	4	20,0
2	Наоборот	20	3	15,0
3	Горизонтально луночный посев черенков	20	8	40,0

Из таблицы 2 также видно, что в этом зимнем сроке укореняемость стеблевых черенков арундо-тростника под влиянием способов выращивания заметно изменяется. В силу этого черенки при горизонтально-луночном способе дают ускорения в 2 раза больше (40,0%), чем при первом (20,0%) и втором (15,0%) способах выращивания.

Замечено, что высота надземной части растения, выращенного из стеблевых черенков арундо-тростника этого же опыта, в 6-месячном возрасте за первую (рис. 1) и вторую вегетацию (рис. 2) выражается в пределах 150—200 см. Исследования в этом направлении следует продолжать.

### Выводы

1. Вегетативное размножение арундо-тростникового корневыми и стеблевыми черенками, при зимнем сроке в различных способах выращивания, вполне возможно.

2. Стеблевые черенки арундо-тростникового при втором способе выращивания (апикальная часть черенка вниз, базальная вверх) с нарушенной полярностью дают в 2—4 раза меньше ускорения (5—15%), чем при первом (10—20%) и третьем (20—40%). Корневые же черенки при втором способе дают на 15—25% меньше укоренения, чем при первом (75—80%) и третьем (80—85%) способах выращивания.

3. Наилучшим способом выращивания стеблевых и корневых черенков арундо-тростникового при зимнем сроке черенкования следует считать горизонтально-луночным при глубине заделки 3,0 см, в котором, по-видимому, биологическая потребность черенков обеспечивается лучше, нежели при вертикальном способе выращивания.

4. В дальнейшем необходимо всесторонне разработать вопросы вегетативного размножения тростниковых растений Азербайджана, других зон СССР и зарубежных стран.

### ЛИТЕРАТУРА

- Бабаев Н. Б. Биология побегообразования у арундо-тростникового в Азербайджане. 1961.
- Ихельзо С. М. О промышленном значении арундо-лондакса. Украинский научно-исслед. ин-т целлюлозной и бумажной промышленности. Сб. трудов вып. V, Киев, 1961.
- Краткевич П. Г. Агробиологические исследования обыкновенного тростника в Херсонских плавнях. Украинский научно-исслед. ин-т целлюлозной и бумажной промышленности. Сб. трудов, вып. 1, Киев, 1957.
- Микаилов М. А. и Бабаев Н. Б. Химия арундо-тростникового и тростника. «Наука и жизнь Азербайджана», 1964, № 4.
- Правдин С. Н. Производство вискозной целлюлозы в Италии и печатной бумаги во Франции. «Бумажная промышленность», 1959, № 4.
- Прилипко Л. И. и Ализаде М. М. О зарослях арундо-тростникового в

Азербайджане. Вестник Тбилисск. Ботанич. сада, вып. 67, 1961. 7. Прилипко Л. И., Алиев Р. А., Богданов М. П., Гаджиев В. Д., Майлов А. И. Перспективы использования природных запасов тростника и арундо-тростникового для бумажно-целлюлозной промышленности в Азербайджане. «Изв. АН Азерб. ССР», 1961, № 7.

Институт ботаники

Поступило 11. VI 1964

М. Э. Микаилов, Н. Б. Бабаев

### Гарғының вегетатив өзіншілдіктерінің жаңа

#### ХУЛАСӘ

Гарғы өзін техники битки олараг бөйүк сәнаје әһәмијәттің маңыздырылады.

Кенетика өз селексија иши үчүн гарғының өзіншілдіктерінің жаңа әһәмијәттің маңыздырылады. 1961—1963-чу илләрдән башлајараг, Азәрбајҹан ССР ЕА Нәбатат Институтуның бағында 15 илдән артыг инициаф едән гарғының көвдә вә көк (көкүмсовлар) несабына мұхтәлиф үсуулла вегетатив өзіншілдіктерін анықтауда көзделді. Апаралығымыз тәрүбә вә мушаһидәрдән ашагыдағы нәтижеләри чыгарылғандар:

1. Мұәжжән едилмишdir ки, гарғы көвдә вә көк гәләмләри несабына мұхтәлиф үсуулла вегетатив өзіншілдіктерін анықтады.

2. Гарғының көвдә гәләмләри икinci үсуулла (јәни гәләмин апикаль ииссәсі ашағы, базал ииссәсі јұхары) дикинә басдырылдыгда, онларын гүтбијәти позулараг биринчи (10—20%) вә үчүнчү үсууллара (20—40%) иисбәтән 2—4 дәфә аз көк бағлајыр (5—15%). Көк гәләмләри исә икinci үсуулда (15—25%) биринчи (75—80%) вә үчүнчүдән (80—85%) аз көк бағлајыр.

3. Гарғының 13—15 см узунлугда олан көвдә вә көк гәләмләри гыш вахтында ән жаҳшы үсуулла, јәни 1 әдәд гәләм бөйрү үстә 3,0 см дәрениликдә басдырылдыгда јұксәк мигдарда көк бағлајараг, дикинә басдырылмыш биринчи вә икinci үсуулла бечәрилмәжә иисбәтән өз биологиқ тәләбатында олдуғча жаҳшы едәйір.

4. Кәләчәк елми-тәддигат ишләримиздә, нәинки Азәрбајҹаның гарғы вә гамышларыны (тростник биткиләрini), еләчә дә Совет Иттифагының баштаға зоналарындакы тростник биткиләрini вегетатив өзіншілдіктерін анықтауда биолокијасыны әһәмијәттің маңыздырылады.

БИОЛОГИЯ

А. В. АЛИ-ЗАДЕ

ИСПЫТАНИЕ ОБРАЗЦОВ ТВЕРДЫХ ПШЕНИЦ АЗЕРБАЙДЖАНА  
НА УСТОЙЧИВОСТЬ К ЖЕЛТОЙ РЖАВЧИНЕ

(Представлено академиком АН Азербайджанской ССР И. Д. Мустафаевым)

Получение высокого урожая и полноценного зерна в значительной мере зависит от устойчивости растений против грибных болезней. Поэтому в настоящее время, когда наша республика должна увеличить площадь под орошающую пшеницу до 450 тыс. га, необходимо в скором времени дать производству сорта пшеницы, приспособленные к орошающему земледелию, обладающие высокой урожайностью и иммунностью к желтой ржавчине, так как ржавчина в поливных условиях развивается особенно сильно.

С этой целью в условиях Карабахской научно-экспериментальной базы Института генетики и селекции осенью 1961—1964 гг. были высажены и подвергнуты трехлетнему испытанию более тысячи ста образцов твердой пшеницы, собранных экспедиционным путем из различных агротехнических зон республики.

Образцы подверглись всестороннему изучению по показателям, важным для производства, но в данной статье приводятся результаты наблюдений на устойчивость к желтой ржавчине. Посев образцов проводится по разновидностям, причем внутри каждой разновидности образцы следовали друг за другом по нарастающей вертикальной зональности, откуда они были собраны (от 26 м до 1400 м над ур. м.).

Как известно, в одной и той же местности интенсивность развития той или иной болезни растений подвергается колебаниям. Основной причиной этого являются ежегодные колебания погоды. В годы наших испытаний коллекции твердых пшениц погода была сильно изменчива. Испытываемые образцы попали в резко различные метеорологические условия.

Первый год испытания характеризовался малым количеством осадков (234,8 мм), высокой температурой и влажностью воздуха ниже оптимальной. Погода второго года испытания была дождливой (696,9 мм осадков) с частыми вредными для злаков туманами и относительно высокой влажностью воздуха.

Погода третьего года испытания была довольно холодная, особенно в зимне-весенний период с выпадением снега, которого не было в течение последних 7 лет. Такое резкое различие условий в период

испытания коллекции пшениц обеспечило различную степень поражаемости образцов желтой ржавчиной.

Ботанический состав испытываемых образцов представлен 20 разновидностями твердой пшеницы. Данная работа охватывает наиболее распространенные в производстве разновидности твердой пшеницы — апуликум, гордеинформе, леукурум.

Наиболее сильное развитие желтой ржавчины на твердых пшеницах наблюдалось в первый год испытания (1961—1962 гг.). Это был год эпифитофии желтой ржавчины в условиях опыта, достигшей большой степени поражения. У испытываемых образцов пшениц были поражены не только листья и стебли, но и колосковые чешуи. Подавляющее большинство образцов этих разновидностей, независимо от места их происхождения, оказалось пораженным с оценкой 5 баллов (по шкале Вавилова, табл.).

Такое сильное поражение испытуемых образцов твердых пшениц желтой ржавчиной следует объяснить не столько слабой иммунностью большинства местных образцов пшениц против поражения, сколько нарушением нормального процесса роста и развития растений в результате неблагоприятных условий погоды и тем самым ослабления устойчивости их организмов.

Нужно отметить, что из всего количества испытуемых образцов только 3 образца оказались совершенно иммунными. Это:

1) апуликум из Мардакертского р-на (высота 900 м над ур. м.), вес 1000 зерен 53,8—64,0 г, вегетационный период—230 дней, стекловидность—98,3%;

2) апуликум Нахичеванский (высота 450 м над ур. м.), вес 1000 зерен 41,1—50,2 г, вегетационный период—229 дней, стекловидность—98,5%;

3) гордеинформе из Степанакертского р-на (высота 1200 м над ур. м.) вес 1000 зерен—40,0—49,7 г, вегетационный период—222 дня, стекловидность—98,0%.

Во втором году испытания в подавляющем большинстве образцы всех разновидностей твердой пшеницы были поражены с оценкой 1—2—3 балла, что ясно видно из таблицы.

В третьем году испытания степень поражаемости желтой ржавчины резко уменьшилась. Из всех испытуемых образцов твердой пшеницы 621 совершенно не был поражен и только у 10 образцов степень поражения отмечена в 4 балла.

Таким образом, в годы сильного распространения желтой ржавчины почти у всех образцов местных твердых пшениц различного происхождения была почти одинаково высокая поражаемость, а в годы слабого развития ржавчины все образцы, имевшие по поражаемости максимальную оценку (5 баллов), получили уже минимальную оценку (1—2 балла).

Это обстоятельство говорит о том, что при высокой влажности на хорошо фильтрующихся светло-каштановых почвах растения твердой пшеницы до колошения развиваются хорошо, а на мощных растениях ржавчина развивается слабее, чем на слабо развитых угнетенных растениях.

Необходимо отметить, что одинаковая восприимчивость твердых пшениц различного происхождения говорит о том, что основное формирование экотипов этих пшениц протекало, видимо, в одинаковых условиях низменности и предгорий республики, в горные же районы эти пшеницы завезены из основных районов их возделывания.

Образцы же пшениц, оказавшиеся иммунными против желтой ржавчины, являются ценным исходным материалом для создания устойчивых сортов твердой пшеницы.

Результаты трехлетней оценки по поражаемости желтой ржавчины основных разновидностей твердой пшеницы Азербайджана

Годы испытаний	Всего образцов	Разновидность апуликум					Разновидность леукурум					Разновидность горденформе									
		Всего образцов					оценка их поражаемости					оценка их поражаемости									
		0	1	2	3	4	0	1	2	3	4	0	1	2	3	4	5				
I	332	1	2	7	33	46	243	248	—	11	13	32	49	143	235	1	3	2	18	30	181
II	332	2	129	123	55	20	3	248	—	133	62	41	11	1	236	1	39	74	84	34	4
III	332	204	32	29	12	5	—	248	217	15	13	—	3	—	236	200	20	14	—	2	—

## Выводы

1. В год массового развития желтой ржавчины из испытуемых разновидностей наиболее сильно поражаемыми разновидностями оказались апуликум и горденформе, слабо пораженными —леукурум.

2. Из 1100 образцов твердых пшениц выявлено всего 3 образца, оказавшихся совершенно иммунными против желтой ржавчины, представляющих большую ценность для создания устойчивых к ржавчине сортов пшеницы.

Институт генетики и селекции

Поступило 18 XII 1963

А. В. Элизадэ

## Азэрбајчаны јерли бәрк буғдаларының сары пас хәстәлијинә давамлылығы

ХУЛАСЭ

Азэрбајчаны мұхтәлиф агроекологи зонасындан յығылмыш јерли бәрк буғдаларын суварма шәрәтиндә сары пас хәстәлијинә олан давамлылығ дәрәчәсинин өјрәнилмәсінин чох бөյүк әһәмијәти варды. Одур ки, биз Азэрбајчан ССР ЕА Кенетика вә Селексија Институтуна мәхсус олан Гарабағ елми-тәдгигат базасында 1962—1963-чу илләр әрзинде јерли бәрк буғдаларын 1100 нұмұнәсінің сынағдан кечирдик.

Гејд етмәк лазымдыр ки, сары пас хәстәлијинин инкишафы гураг олан 1962-чи илдә даңа чох мұшақидә едилмишdir. Бу заман нәинки биткинин јарлаглары, һәтта сүнбұлұп сүнбұлчук пулчұлгары да паразитин спорлары илә өртүлү олмушшур. Бу налда дәнләрин нормал әмәлә кәлмәсі вә онларын сәпинејараплы кејфијәті кәсқин сурәтдә зәифләмишди.

Гејд етмәк лазымдыр ки, өјрәнијимиз буғдалар ичәрисинде 3 нұмұнә сары пас хәстәлијинә гарши чох давамлы олмушшур. Бәрк буғдаларын сары пасла хәстәләнмәсі илин нәмишлијиндән о гәдәр дәасылы дејилдир. Белә ки, чох јағмурлу 1963-чу илдә сынағдан кечирдијимиз нұмұнәләрин әксәријәті 1962-чи илә нисбәтән сары пас хәстәлијинә аз тутулмушшур. Сары пас хәстәлијинин чох инкишафетдији вахт бәрк буғдаларын әксәријәті жүксәк дәрәчәдә хәстәләнерәк паразитә гарши мұғавимат көстәрә билмәмәсі битки инкишафының зәифләмәсіндән олмушшур вә эксинә, хәстәлијин аз јаылан илиндә исә биткиләрин јахши инкишафы онларын сары паса гарши мұғавиметини артырышдыр.

МИКРОБИОЛОГИЯ

Н. А. МЕХТИЕВА

О НАХОЖДЕНИИ *STYLOPAGE* В АЗЕРБАЙДЖАНЕ

(Представлено академиком АН Азербайджанской ССР Б. Р. Волобуевым)

*Stylopae* установлен в качестве нового рода хищного фикомицета американским микологом в 1935 г. С тех пор на различных микроскопических животных Ч. Дрекслером описано 12 видов *Stylopae*—*S. araea*, *S. haploe*, *S. lepte*, *S. hadra* (1935), *S. leiohurpha*, *S. rhabdospora* (1936), *S. cephalote* (1938), *S. scoliospora*, *S. rhynchospora* (1939), *S. minutula* (1945), *S. rhabdoidea* (1947), *S. rhicnacra* (1948). Два вида—*Stylopae hadra*, *S. leiohurpha*—описаны в качестве хищных на нематодах, 10 остальных обнаружены на амебах. Два новых вида—*Stylopae*—*S. cymosa* на амебе (1953) и *S. grandis* на нематоде (1955) описаны английским ученым Даддингтоном.

Некоторые виды *Stylopae*, описанные Дрекслером, обнаружены Даддингтоном (1950, 1951), Джунипером (1953, 1954), Пич (1952, 1954) в Англии и Шифердом (1956) в Дании.

В нашей стране виды *Stylopae* до сих пор не были обнаружены. Просматривая многочисленные инокулированные чашки<sup>1</sup>, в нескольких случаях мы наблюдали развитие грибов из рода *Stylopae*. Предварительное определение обнаруженных видов *Stylopae* показывает, что в исследованных материалах встречались грибы, напоминающие во многих отношениях *S. lepte*, *S. leichyurpha*, *S. rhynchospora*, *S. rhabdoidea*.

Однако из-за недостаточности материала определить окончательную видовую принадлежность всех обнаруженных грибов не удалось.

Все наши попытки выделить грибы из рода *Stylopae* в чистую культуру не увенчались успехом. Описанный ниже гриб обнаружен нами в светло-каштановой почве, взятой в саду в гор. Кировабаде 20. IX 1962 г., через 57 дней после инокуляции.

Среди видов *Stylopae*, известных до сих пор, наш гриб наибольшее сходство имеет с *S. lepte* Drexsl.

*Stylopae lepte* Drexsl.

*Mycologia*, 27, 2 (201) 1935.

*S. lepte* впервые обнаружен Дрекслером в почве и на разлагающихся растительных остатках близ Вашингтона и описан в 1935 г.

<sup>1</sup> О методике см. Н. Мехтиева „Два хищных фикомицета, обнаруженные в Азербайджане“ (ДАН Азерб. ССР т. XX, № 9, 1961).

О нахождении *S. lepte* в пруду в Англии сообщает Пич (1952). *Stylopae lepte* обнаружил также Джунипер (1953) в графстве Эссекс, в Англии.

В чашках, где фильтровальная бумага была полностью разложена и влажность была настолько высокая, что среда превратилась в жижу, наблюдалось обильное развитие конидиального спороношения гриба. Мицелии гриба нежные, бесцветные, широко распространяясь, занимали почти половину чашки. Конидиеносцы поднимались над поверхностью среды в виде прямых или коленчато-изогнутых веточек до  $160 \times 2\mu$ , расстояние между изгибами 13—24 $\mu$ . На каждом конидиеносце развивалось от 1 до 9 конидий, расположенных одиночно на коленчатых изгибах.

Конидии ланцетовидные или узко эллиптические, гиалиновые, сидят непосредственно на конидиеносцах или на небольших стеригмах,  $10,4 - 18, 2 \times 2,3 - 3,4\mu$ .

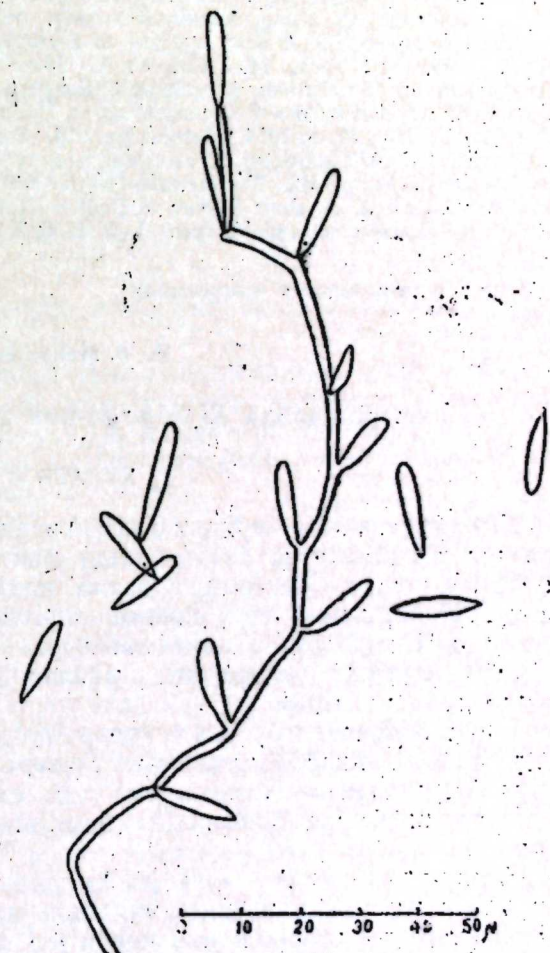
Образования зигоспор не наблюдалось. Местами наблюдались амебы, прилипшие к гифам гриба.

Обнаруженный нами гриб отличается от гриба, описанного Дрекслером в Америке лишь по числу конидий на конидиеносцах. При описании своего гриба Дрекслер отмечает образование до 6 конидий на конидиеносцах. Однако Пич (1952) и Джунипер (1953), обнаружившие *S. lepte* D. g. в Англии, наблюдали образование до 9 конидий на конидиеносцах.

Размеры конидий данного вида, обнаруженного в разных странах, довольно близкие (по Дрекслеру— $12 - 19 \times 1,9 - 2,7\mu$ , по Пич— $10 - 17 \times 2 - 2,8\mu$ , по Джуниперу— $16 - 20 \times 2 - 2,5\mu$ ). При сравнении описаний и рисунков, приведенных различными исследователями, с нашим грибом приходим к заключению, что обнаруженный нами гриб, несомненно, является *S. lepte* D. g., который, по-видимому, распространен широко на земном шаре.

ЛИТЕРАТУРА

1. Drexsl. C. Some non-catenulate conidial phycomycetes preying on tericolous amoebae. *Mycologia*, 27, 2, 1935, New-York.
2. Drexsl. C. A new species of conidial phycomycete preying on nematodes. *Mycologia*, 27, 2, 1935, New-York.



*Stylopae lepte* Drexsl.  
Конидиеносец и конидии

Vork. 3. Drechsler C. A new species of *Stylopage* preying on nematodes. Mycologia, 28, 3, 1936, New York. 4: Drechsler C. New conidial phycomycetes destructive to terricolous amoebae. Mycologia, 28, 3, 1936, New York. 5. Drechsler C. New zoopagaceae capturing and consuming soil amoebae. Mycologia, 30, 2, 1938, New York. 6. Drechsler C. Five new zoopagaceae destructive to rhizopods and nematodes. Mycologia, 31, 4, 1939, New York. 7. Drechsler C. Several additional phycomycetes subsisting on nematodes and amoebae. Mycologia, 37, 1, 1945, New York. 8. Drechsler C. Three zoopagaceous fungi that capture and consume soil—Inhabiting rhizobods Mycologia, 39, 3, 1947, New York. 9. Drechsler C. Three zoopagaceae that subsist by capturing soil amoebae. Mycologia, 40, 1, 1948, New York. 10. Duddington C. Further records of British predacious fungi. I. Transactions of the British Mycological Society, 33, 3—4, 1950, Cambridge. 11. Duddington C. Further records of the British predacious fungi. II. Transactions of the British Mycological Society, 34, 2, 1951, Cambridge. 12. Duddington C. A new species of *Stylopage* capturing Amoebae in Dung. Annals of Botany, new Ser. 17, 65, 1953, Oxford, London. 13. Duddington C. A new species of *Stylopage* capturing Nematodes. Mycologia, 47, 2, 1955, New York. 14. Juniper A. Some Predacious Fungi occurring in Dung. Transactions of the British Mycological Society, 36, 4, 1953, Cambridge. 15. Juniper A. Some—Predacious Fungi occurring in Dung. 11. Transactions of the British Mycological Society, 37, 2, 1954, Cambridge. 16. Peach M. Aquatic Predacious Fungi. II. Transactions of the British Mycological Society Cambridge. 17. Peach M. Aquatic Predacious Fungi. III. Transactions of the British Mycological Society, Cambridge. 18. Shepherd A. A short Survey of Danish Nematophagous Fungi. Friesia Nordisk. Mycologisk Tidsskrift, bind V, hefte 3—5, 1956, Kobenhavn.

Институт почвоведения и агрохимии

Поступило 15 VII 1963

Н. Э. Меидиева

## Азэрбајчанда *Stylopage*-нин тапылмасы һагында

### ХУЛАСЭ

*Stylopage* чинси биринчи дәфә Америка алими Ч. Дрекслер тәрәфиндән тапылмыш вә 1935-чи илдә йени јыртычы фикомитсет чинси кими көбләкләр системинә дахил едилмишdir. О вахтдан бәри 14-йени *Stylopage* нөвү гејд едилмишdir. Буилардан 12-си Америкадан, 2-си исә Инкiltәрәдән тапылмышды.

*Stylopage*-нин эксерийжети амебләр, јалныз 2-си нематодлар үзәриндә тапылмышды.

Совет өлкәсindә бу вахта гәдәр *Stylopage* чинсinnи hеч бир нөвү гејд едилмәшишdir. Тапдырымыз *Stylopage leptae* Dr. нөвү бир нечә дәфә Америкада вә Инкiltәрәдә гејд едилмишdir. Һәмин нөв 1963-чу илдә Кировабад шәһәриндә ачыг шабалыды торпагда тапылмышды.

*Stylopage leptae* Dr. нөвүнүн Америка, Инкiltәрә вә ССРИ-и кими иғлим вә торпаг шәранти чәһәтдән бир-бириндән чох фәргли олан өлкәләрдән тапылмасы һәмин нөвүн јер күрәсindә кениш јајымасыны сүбүт едир.

АЗӘРБАЙЧАН ССР ЕЛМЛӘР АКАДЕМИЈАСЫНЫН МӘРҮЗӘЛӘРИ  
ДОКЛАДЫ АКАДЕМИИ НАУК АЗЕРБАЙДЖАНСКОЙ ССР

ТОМ XXI

№ 3

1965

### АГРОХИМЯ

3. Р. МӘВСҮМОВ

## АЗОТУН АММОНЈАК ФОРМАСЫНДА ТОРПАГДАН ИТМЭСИ

(Азэрбајчан ССР ЕА академики Ч. М. Һүсейнов тәзгим етмишdir)

Тәбиэтдә азот дөвранынын өјрәнилмәснин мүһүм нәзәри вә тәчрубы әһәмијәти вардыр.

Мә'лумдур ки, техники биткиләрә, хүсусән памбыг биткисинә башга биткиләрә нисбәтән даһа чох азот күбрәси верилир. Лакин торпага верилмиш азотун јалныз мүәjjән һиссәси битки тәрәфиндән мәнимсәнилир. Азотун мәнимсәнилмәжib торпагда галан һиссәси исә кимјәви анализ заманы мүшәнидә едилмир.

Апардырымыз тәдгигатлар көстәрмишdir ки, боз-чәмән торпагларда памбыг биткисинин векетасија дөврүнүн сонунда торпагда мәнимсәнилән азотун мигдары о гәдәр аз олур ки, онун hеч бир тәчрубы әһәмијәти олмур. Торпага верилмиш азот күбрәләриндән азотун итмәснин өјрәнмәк мәгсәди илә һәлә 1953—1954-чу илләрдә акад. Ч. М. Һүсейновун рәһбәрлиji илә бир сырға лабораторија вә тарла тәчрубеләри апардыг. Тәчруубәләр иетичесинә мүәjjән едилмишdir ки, торпага верилмиш азот күбрәләринин тәркибиндә олан азотун бир һиссәси торпагдан итир. Лакин азотун торпагдан һансы формада итмәснүүжән едилмәмишdir.

Бу мәсәләни өјрәнмәк мәгсәди илә 1961—1963-чу илләрдә лабораторијада вә чөл шәраитиндә кичик ләкләрдә бир сырға тәчруубәләр апардыг. Тәчруубәләр ашағыда үсулла апарылмышдыр.

Диаметри 120 mm вә һүндүрлүjү 60 mm олан шүшә габлара 90 mm диаметри олан Петри габлары йерләширилмешdir. Шүшә габлара (Петри габларынын этрафына) 300 g боз-чәмән торпагы төкулмушшдүр. Торпагын үзәринә 31,5; 42,0; 52,5; 63,0 вә 84,0 mg азот несабы илә аммониум-суlfat мәйлүлү төкулмушшдүр. Аммонјак формасында торпагдан айылан азот, Петри габларына төкулмуш 100 cm<sup>3</sup> 0,2 n суlfat штуршусу илә тутулмушшдүр. Аммонјакын һаваја чыхмамасы үчүн шүшә габлар парафинләнмиш шүшә лөвһәләрлә керметик сурәтдә өртүлмушшдүр.

Торпага тарла рүтубәт тутумунун 60%-и гәдәр су верилмишdir. Тәчруубә гојулдугдан 48 saat сонра Петри габларындакы суlfat түршусу ejni мигдарда 0,2 n натриум әсасы илә нејтраллаштырылмыш вә тәркибиндә олан аммонјак азотунун мигдары Несслер реактиви илә фотоелектрокалориметрдә тә'жин едилмишdir (1-чи чәдвәл).

1-ЧИ ЧЭДВЭЛ

Мүхтэлиф дозаларда торпага верилмиш аммониум-сулфатын тэркибиндэн  $N/NH_3$ -үн итмэс

Тэчрүбэний схеми	0,2 нормал $H_2SO_4$ илэ тутулаа $N/NH_3$ -үн мигдары, мг-ла	Торпагдан итмийш $N/NH_3$ , %-ла
Контрол	0,034	—
Азот (аммониум-сулфат), 31,5 мг	4,42	13,8
42,0	5,24	12,3
52,5	7,76	14,6
63,0	9,32	14,6
84,0	9,67	11,4

1-чи чэдвэлдэ верилмиш рэгэмлэрдэн айдын олур ки, тэчрүбэ гојуландан 48 саат сонра торпага верилмиш азотун бир үнссэсийн аммониак шэклиндэ торпагдан итир. Итмийш азотун 4,386-дан 9,636 мг-а гэдэри. 100 см<sup>3</sup> сулфат туршусу васитэсилэ тутулмушдур. Азотун дозасы артдыгча итэй азотун үмүми мигдары да артыр. Лакин верилэн азотун мигдарына көрө бу иткү фазилэ азалыр. Мэсэлэн, 31,5 мг азот верилэн вариантаа 100 см<sup>3</sup> сулфат туршусу тэрэфииндэн тутулмуш  $N/NH_3$  торпага верилмиш азотун 13,8%-ни тэшкил едирсэ, 84,0 мг азот верилдикдэ бу иткү 11,4%-и тэшкил едир.

Лабораторија шэрэгиндэ јухарыда көстэрилэн үсулла, нүүнэлэрийн анализэ көтүрүлдүү вахтдан асылы олараг, аммониак азотунун итмэс дэ өјрэнилмишдир.

0,2 н сулфат туршусу тэрэфииндэн удуулмуш аммониак азотунун мигдары тэчрүбэ гојуландан 5, 10 вэ 15 күн сонра тэйин едилмишдир. Азот аммониум-сулфат мэйлүүлэ шэклиндэ 300 г торпага .42,0 мг верилмишдир (2-чи чэдвэл).

2-ЧИ ЧЭДВЭЛ

Нүүнэлэрийн көтүрүлдүү вахтдан асылы олараг аммониак азотунун итмэс

Тэчрүбэний схеми	100 см <sup>3</sup> 0,2 н сулфат туршусу илэ тутулмуш $N/NH_3$ , мг-ла	Торпага верилмиш азотун тэркибиндэн итэй аммониак азотунун мигдары	
		100 см <sup>3</sup> -дэ мг-ла	верилмиш азота көрө, %-ла
Контрол	5 күндэн сонра	—	—
	0,028	—	—
Азот, 42,0 мг	4,544	4,516	10,8
Контрол.	10 күндэн сонра	—	—
	0,016	—	—
Азот, 42,0 мг	4,740	4,724	11,2
Контрол	15 күндэн сонра	—	—
	0,026	—	—
Азот, 42,0 мг	9,0	8,974	21,4

2-чи чэдвэлдэ верилмиш рэгэмлэр көстэрир ки, азотун верилдиж күндэн нэ гэдэр чох вахт кечирсэ торпагдан итэй азотун мигдары да она мүвафиг олараг артыр. Экэр тэчрүбэ гојуландан 5 күн сонра азотун 10,8%-и итирсэ, 15 күндэн сонра бу иткү 21,4%-э чатыр.

Белэликлэ, лабораторија шэрэгиндэ апарылмыш һэр 2 тэчрүбэний итэтийчэсий көстэрир ки, боз-чэмэн торпага верилмиш азотун бир үнссэсийн аммониак формасында торпагдан итир.

Торпагдан азотун итмэс чөл шэрэгиндэ дэ өјрэнилмишдир. Бу мэгсэдлэ тэчрүбэлэр Азэрбајчан ССР ЕА Торпагшүнслэг вэ Агрокимја Институтуун Учар дајаг мэнтэгэснэдэки боз-чэмэн торпагда апарылмышдыр.

Тэчрүбэ апармаг үүчин өни вэ узуулгуу 50 см, һүндүрлүү 20 см олан синкли дэмир габлардан истифадэ едилмишдир. Торпагдан учан аммониакы тутмаг үүчин 0,2 н сулфат туршусу диаметри 16,5 см олан шүшэ кристаллизаторлара төкүлмүшдүр.

Азот аммониум шорасы формасында 0,25 м<sup>2</sup> саңажэ 2,5; 5,0 вэ 10<sup>2</sup> г несабы илэ (нектара 100, 200 вэ 400 кг) 300 см<sup>3</sup> мэйлүүл шэклиндэ верилмишдир.

Ичэрисиндэ 500 см<sup>3</sup> 0,2 н сулфат туршусу олан кристаллизаторлар азот верилэн лэкин ортасына гојулмуш вэ торпагын үзэри дэмир габларла өртүлмүшдүр. Габларын јанындан аммониакын наваяа чыхмамасы үүчин өтрафына 5 см һүндүрлүкдэ торпаг төкүлмүш вэ бэркидилшидир. Мүэйжэн вахтларда сулфат туршусундан нүүнэлэр көтүрүлүб аммониак азотунун мигдары тэйин едилмишдир.

Јухарыда көстэрилэн үсулла бир нечэ тэчрүбэ апарылмышдыр. 1-чи тэчрүбэдэ торпага верилмиш азотун дозасындан асылы олараг азотун итмэс өјрэнилмишдир. Тэчрүбэ 11.VI—1963-чү илдэ 3 тэктэрда апарылмышдыр. Нүүнэлэр тэчрүбэ гојуландан 15 күн сонра, јэйни 26.VI 1963-чү илдэ көтүрүлмүшдүр (3-чү чэдвэл).

3-ЧИ ЧЭДВЭЛ

Мүхтэлиф дозаларда боз-чэмэн торпага верилмиш аммониум шорасынын тэркибиндэн аммониак азотунун итмэс (чөл тэчрүбэси)

Тэчрүбэний схеми	500 см <sup>3</sup> 0,2 н сулфат туршусу илэ тутулмуш $N/NH_3$ , мг-ла	Торпага верилмиш азотун тэркибиндэн итэн $N/NH_3$ -үн мигдары	
		500 см <sup>3</sup> -дэ, мг-ла	верилмиш азота көрө, %-ла
Контрол	4,6	—	—
Азот 2500 мг (0,25 м <sup>2</sup> саңажэ)	436,2	431,6	17,2
5000 мг	764,2	759,6	15,2
10000 мг	946,6	942,0	9,4

3-чү чэдвэлдэ верилмиш рэгэмлэрдэн айдын олур ки, лабораторија шэрэгиндэ олдуугу кими чөл шэрэгиндэ дэ торпага верилмиш азотун бир үнссэсийн аммониак шэклиндэ торпагдан итир. Бу тэчрүбэлэрдэ итэн азот торпага верилэн азотун 17,2%-ни тэшкил едир, чөл шэрэгиндэ јухарыда көстэрилмиш үсул илэ. 2-чи тэчрүбэ дэ апарылмышдыр.

Бу тэчрүбэдэ күбрэний верилдиж дэринлийдэн асылы олараг аммониак азотунун торпагдан итмэс өјрэнилмишдир.

Тэчрүбэ 28.VI 1963-чү илдэ 3 тэктэрда гојулмуш, һэр лэкин саңажи 0,25 м<sup>2</sup> олмушдур. Тэхлил үүчин нүүнэлэр 12.VII 1963-чү илдэ көтүрүлмүшдүр (4-чү чэдвэл).

4-чү чэдвэлдэн мэ'лум олур ки, күбрэний дэрин гата верилмэсийн мүэйжэн иисбэлтэдэ азотун итмэсийн зэйфлэдир. Экэр күбрэ торпагын үзэри верилмишсэ вэ верилэн азотун (2,5 г) 17%-и итирсэ, һэдэгч гатына верилмишсэ вэ верилэн азотун (2,5 г) 17%-и итирсэ, һэдэгч мигдар күбрэ 3 см дэринлийдэ верилдикдэ иткү 10,8%-э гэдэр азалыр.

Күбрэний верилдији дэринлийдэн асылы олараг азотун аммонјак  
формасында торпагдан итмэсі

Тэчрубэний схеми	500 см <sup>3</sup> 0,2н сульфат түршүсү илээ туулмуш N/NH <sub>3</sub> , мг-ла	Торпаға верилмиш азотун тэркибицэднэй итэн N/NH <sub>3</sub>	
		500 см <sup>3</sup> -дэ, мг-ла	верилмиш азота көрэ, %-дэ
Контрол	3,9	—	—
Азот, 2500 мг торпағын уст гатына	428,8	424,9	17,0
3 см дэринлијэ	275,6	271,7	10,8
5 см дэринлијэ	228,2	224,3	8,9

Белэлнклэ, лабораторија шэрэгиндэ елэчэ дэ кичик лэклэрдэ чөл шэрэгиндэ апарылмыш тэчрубэлэри нэтичэлэри көстэрир ки, торпаға верилмиш азотун бир һиссэси аммонјак газы шэклиндэ торпагдан итири. Күбрэ торпағын уст гатына верилдикдэ бу итки верилмиш азотун 21,4%-ни (лабораторија шэрэгиндэ) тэшкил едир. Күбрэни 5 см дэринлијэ вердикдэ итэн азотун мигдары хејли азалырса јенэ дэ 15 күн мүддэтиндэ верилэн азотун 8,9%-и аммонјак газы формасында торпагдан учур. Азотун торпагдац итмэсинийн һэртэрэфли өјренилмэсийн вэ бу итканин сэбэблэрийн мүэjjэн едилмэсийн онун гарышыны алмаг үчүн тэдбирлэр һазырламафа имкан верэр.

Торпагшнаслыг вэ  
Агрокимја Институту

Алтынмышдыр 23. II 1964

З. Р. Мовсумов

### О потере азота из почвы в виде газообразного аммиака

#### РЕЗЮМЕ

Потеря азота из внесенных удобрений изучалась нами еще в 1953—1955 гг. Однако в этих опытах не было установлено, в какой форме азот теряется из почвы. В целях выяснения этого вопроса в 1961—1963 гг. нами проводились лабораторные и мелкоделяочные полевые опыты. Лабораторные опыты проводились в кристаллизаторах диаметром 120 мм и высотой 60 мм. Для поглощения выделенного аммиака из почвы использовалась 0,2 нормальная серная кислота, которая наливалась в чашки Петри и помещалась в середину кристаллизатора. Азот в виде раствора сульфата аммония вносился из расчета 31,5; 42,0; 52,5; 63,0 и 84,0 мг на 300 г почвы. Почва сероземно-луговая. Температура 30°С. Результаты этого опыта показали, что через 48 часов после закладки опыта в зависимости от количества внесенного азота потеря аммиачного азота составляет 11,4% от внесенного.

Второй лабораторный опыт по вышеуказанному методу проводился с целью установления степени потери азота в зависимости от времени экспозиции. Результаты анализов показали, что через 5 дней после закладки опыта потеря азота составляет 10,8%, через 10 дней—11,2% и через 15 дней—21,4% от внесенного (42,0 мг азота на 300 г почвы).

В полевых условиях степень потери азота изучалась в зависимости от дозы и глубины внесения удобрений. Для закладки опыта использовались ванны из оцинкованного железа длиной и шириной 50 см,

высотой 25 см. Почва сероземно-луговая. Азот из расчета 2,5 г; на 0,25 м<sup>2</sup> вносился в виде раствора аммиачной селитры. После внесения удобрений в середину той площади (0,25 м<sup>2</sup>), куда был внесен азот, помещался кристаллизатор с 0,2 нормальной серной кислотой в количестве 500 см<sup>3</sup>, накрывался ванной.

Опыт был заложен 28.VI 1963 г., проба серной кислоты для анализа была взята через 15 дней. Результаты анализа показали, что потеря азота в виде аммиака составляет 17,0% при поверхностном внесении, 10,8%—при внесении удобрений на глубину 3 см и 8,9%—при внесении на глубину 5 см.

Таким образом, результаты проведенных опытов показали, что до 21,4% азота из внесенных в почву удобрений теряется в виде газообразного аммиака. Глубокое всестороннее изучение этого вопроса даст возможность выявить причину потери и разработать мероприятия его предотвращения, что имеет большое практическое значение.

АГРОХИМИЯ

К. М. ИБРАИМОВ

МУГАН ДҮЗҮ ТОРПАГЛАРЫНДА ФОСФОРУН ЧЕВРИЛМЭСИ

(Азэрбајҹан ССР ЕА академики Ч. М. Һүсәјнов төгдим етмишdir)

Фосфор кубрэлэри, хүсусилә суперфосфат кәнд тәсәррүфаты биткиләри мәһсүлдарлығынын артырылмасында әсас амилләрдән биридир. Лакин торпаға верилдикдә онун чох һиссәси торпаг һиссәчикләри тәрәфиндән удулараг, чәтиң һәлл олан бирләшмәләр әмәлә кәтирир. Суперфосфатын торпагла гарышылыглы әлагәси заманы удулараг мүхтәлиф бирләшмәләр шәклини чеврилмәсийн елми нөгтеји-нәзәрчә өјрәнилмәси, һәмин күбрәнин верилмә вахтынын, дозасынын вә үсүлунун кәнд тәсәррүфатында сәмәрәли тәтбигинә имкан верир.

Фосфор торпағын типиндән, механики тәркибиндән, удма габилијәтиндән, реаксијасындан, нәмлийндән вә с. сәбәбләрдән асылы олар мүхтәлиф мигдарда удулур.

Азэрбајҹанын памбыг әкилән торпаглары әсасен карбонатлы олдуғундан верилән фосфор күбрәси юқсәк дәрәчәдә кимҗәви јолла удулараг, калсиумлу, магнезиумлу бирләшмәләр әмәлә кәтирир ки, бунлар да суда чәтиң һәлл олар, кәләчәкдә биткиләрин истигадә едә биләчјинә чәтилилек төрәдир.

Бир чох тәдгигатчылар: К. Н. Таранов (1929), В. Ф. Чириков вә В. В. Волкова (1939), Л. А. Сулакова (1939), Д. Л. Аскинази (1948), С. А. Кудрин (1952), Ж. И. Чуманов (1953), Л. В. Сидорина (1955), И. М. Попова (1956), Р. Г. Һүсәјнов (1957) апардыглары тәдгигатлары әсасен көстәрмишләр ки, фосфор торпагла гарышылыглы әлагә заманы суда чәтиң һәлл олан бирләшмәләр шәклини кечир.

Гејд етдијимиз тәдгигатчылар фосфору торпаға ајрылыгда веридикдә онун чеврилмәсими өјрәнмәкә кифајәтләймисләр. Бунлардан фәргли олар, биз фосфору ајрылыгда вә азот, калиумла бирликдә вериләркән чеврилмәсими өјрәндик. Тәчрүбә Сабирабад истеңсалат идарәси (Саатлы рајону) боз-чәмән вә ачыг боз-чәмән торпагларында апарылышын. Торпаглар тарлада гојулмуш памбыг тәчрүбә саһәси алтындан көтурулуб әзилмиш вә 1 мм-лик әләкәндә кечириләрк лабораторија шәрантиндә ашағыдахи схема үзрә гојулмуштур.

1. Күбрәсиз—1 кг торпаг
2. 1 кг торпаг+200 мг  $P_2O_5$
3. 1 кг торпаг+200 мг  $P_2O_5$ +200 мг N+200 мг  $K_2O$ .

Тәчрүбә чини стәканларда уч тәкрада гојулмуштур. Торпаглар тарлада тутумунун 60% нәмлийндә суланышын. Тәчрүбә гојул-

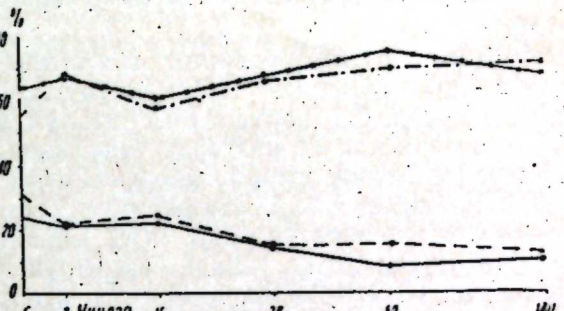
ланда 1, 3, 15, 30, 60, 180 күн сонра торпаг иүмүнәләри көтүрүлүб фосфорун суда, 1%-ли аммониум-карбонат мәһлүлүнда, 0,5 нормал сиркә вә дуз туршуларында һәлл олан бирләшмәләри тә'жин едилмишdir (1-2-чи шәкилләр).

Торпаг тәһлили көстәрир ки, ајрылыгда вә истәр азот, калиумла бирликдә верилән фосфор туршусу торпага вериләндән бир күн сонра удулараг суда һәлл олмајан бирләшмә шәклини чеврилүп. Тәчрүбә гојуландан бир күн сонра верилән күбәрәдән суда һәлл олан фосфор бирләшмәсийн ачыг боз-чәмән торпагда 2,7—4,7%-и, боз-чәмән торпагда исә 2,2—2,5%-и тапылышын. Анчаг 30 күндән сонра суда һәлл олан фосфорун мигдары артараг, ачыг боз-чәмәндә 5,5—6%, боз-чәмән торпагда исә 5,2—6,3%-и тәшкүл етмишdir. Соңракы мүддәтләрдә фосфор туршусуну суда һәлл олмасы азалышын.

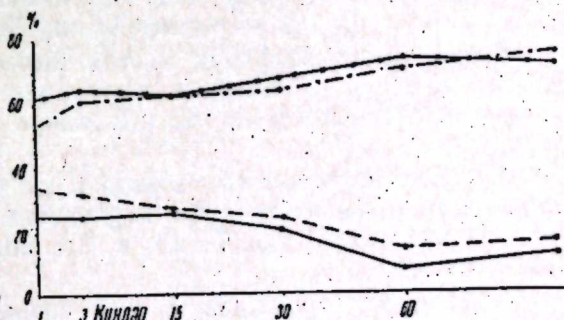
Көтүрүлүш торпаг иүмүнәләрнән Б. П. Мачикин үсулу илә бир фазын аммониум-карбонат мәһлүлүнде һәлл олан фосфор тә'жин едилмишdir. 1-чи шәкилдән көрүндүү кими, ачыг боз-чәмән торпага суперфосфат вериләндән 1 күн сонра мүтәһәррик фосфор бирләшмәләрнин мигдары верилмиш үмуми фосфорун 24,9%-ни тәшкүл едир. Тәчрүбә гојуландан 3—15 күн сонра демәк олар ки, фосфорун удулмасында дәнишилек кетмиш. Соңрак исә фосфорун анчаг 9,4%-и, 180 күндән сонра исә 12,2%-и тапылышын.

Беләликлә, азот вә калиум илә бирликдә верилмиш суперфосфатын суда һәлл олан һиссәси азалышса да бир фазын аммониум-карбонат мәһлүлүнде һәлл олан фосфор бирләшмәләри хејли артмайышын. Белә ки, тәчрүбә гојуландан 1 күн сонра верилмиш фосфорун 33,4%-и аммониум-карбонат мәһлүлүнде һәлл олмушшур. Анчаг суперфосфат ачыг боз-чәмән торпагда верилдикдә, јухарыда көстәрдијимиз кими, 24,9%-и тапылышын. 60 күндән сонра фосфор туршусуну удулмасы артараг аммониум-карбонат мәһлүлүнде верилмиш үмуми фосфорун анчаг 13,9%-и һәлл олмушшур. Удулма 180 күнә гәдәр һәмин сәвијәдә галмайышын.

Боз-чәмән торпагда ачыг боз-чәмәнә иисбәтән бир фазын аммониум-карбонат мәһлүлүнде фосфорун аз һәлл олмасына баҳмајараг, үмуми бир ганунауғынуга вардыр. Торпага верилмиш суперфосфатын чох һиссәси сиркә туршусунда һәлл олан бирләшмәләр шәклини тә'жин едилмишdir. Ачыг боз-чәмән торпагда тәчрүбә гојуландан 1 күн чеврилмишdir.



1-чи шәкил. Фосфорун торпагда чеврилмәси (ачыг боз-чәмән). 1—фосфор верилдикдә; 2—NPK верилдикдә (1%-ли  $(NH_4)_2CO_3$  мәһлүлүнде); 3—фосфор верилдикдә; 4—NPK верилдикдә (0,5 нормал сиркә туршусунда).



2-чи шәкил. Фосфорун торпагда чеврилмәси (боз-чәмән). 1—фосфор верилдикдә; 2—NPK верилдикдә (1%-ли  $(NH_4)_2CO_3$  мәһлүлүнде); 3—фосфор верилдикдә; 4—NPK верилдикдә (0,5 нормал сиркә туршусунда).

сонра суперфосфат верилдикдә үмуми фосфорун 60,7%-и, азот вә калиумла бирлікдә верилдикдә исә 54,8%-и сиркә туршусунда һәлл олан бирләшмә шәклинә кечмишdir. Сиркә туршусунда һәлл олан фосфор бирләшмәләринин мигдары кетдикчә артараг 3 күндән соңра 61,5—64,7%-ә, 60 күндән соңра исә 72,1—73,6%-ә чатмышдыр. Соңракы дөврләрдә фосфорун уултасында демәк олар ки, дәјишиклик кетмир. Боз-чәмән торпагда да јухарыдақылара ујғун рәгемләр алышышдыр.

Јухарыда көстәрдијимиз вахтларда торпаг нұмунәләри көтүрүб фосфорун 0,5 нормал HCl мәһлүлүнда һәлл олан бирләшмәләри өјренилмишdir. 0,5 нормал HCl мәһлүлүнда фосфорун һәлл олан бирләшмәләри соңда мигдарда тапылмышдыр. Тәчрубә гојуландан 1 күн соңра верилмиш үмуми суперфосфатын ачыг боз-чәмән торпагда 7—8%-и тапылмышдыр. Фосфорун удулмасы кетдикчә азалараг 30 күндән соңра минимума енир, жәни верилмиш суперфосфатын 1—2%-и тә'жин едилмишdir. Соңра фосфорун HCl мәһлүлүнда һәлл олмасы артараг, 60 күндән соңра 6,5—8%-ә чатыр. 180 күндән соңра фосфорун удулмасы демәк олар ки, 60-чы күнде олдуғу кимидir.

Боз-чәмән торпагда да јухарыда көстәриләнләрә ујғун рәгемләр алышышдыр.

Апарылан тәчрубәләрдән ашағыдақы иәтичәләри чыхармаг олар:

1. Суперфосфаты торпага веридикдә аз бир мүддәтдә фосфорун соң һиссәси чәтин һәлл олан бирләшмәләр шәклинә кечир ки, бу да онун битки тәрәфиндән истифадә олунмасыны чәтингәләшdir.

2. Верилмиш фосфорун ән соң һиссәси 0,5 нормал сиркә туршусу мәһлүлүнда, жәни тәчрубә гојуландан 1 күн соңра ачыг боз-чәмән торпагда 54,8—60,7%-и, 180 күн соңра исә 72,1—73,9%-и тапылмышдыр.

3. Суперфосфатын тәркибиндә олан фосфорун ән соң һиссәси ачыг боз-чәмән торпагда тәчрубә гојуландан 30 күн соңра (1—2%-и), 1 вә 180 күн соңра исә 7—8%-и 0,5 нормал HCl мәһлүлүнда тапылмышдыр.

4. Тәчрубә гојуландан 1 күн соңра суперфосфатын тәркибиндә олан фосфорун ачыг боз-чәмән торпагда 24,9—33,4%-и, 60 күндән соңра исә 9,4—13,9%-и 1%-ли аммониум-карбонат мәһлүлүнда тапылмышдыр.

Боз-чәмән торпагда исә јухарыда көстәриләнләрә ујғун рәгемләр алышышдыр.

Торпагшұнаслығ вә Агрокимja Институту

Алышышдыр 12. V 1964

#### ӘДӘВИЙДАТ

1. Аскинази Д. Л. Подвижность  $P_2O_5$  дифосфата кальция при его внесении в карбонатные или засоленные почвы по данным щелочных вытяжек. „Почвоведение“. 1948, № 10.
2. Гусейнов Р. К. Превращение и передвижение фосфора в основных типах почв Азербайджана. „Изв. АН Азерб. ССР“. 1957, № 12.
3. Кудрин С. А. Круговорот фосфора в почве и превращение в нее фосфатов удобрений. „Агробиология“, № 5, 1952.
4. Попова И. М. Изучение эффективности разных форм фосфатов на светлых сероземах Пакта-Арала. Автореферат, Ташкент, 1956.
5. Сидорина Л. В. Эффективность различных форм фосфатов на сероземах Средней Азии. Автореферат, М., 1955.
6. Сулакова Л. А. Поведение фосфорнокислых и азотистых удобрений в карбонатных почвах. Азернешир, 1939.
7. Таранов К. Н. О поглощающем комплексе почвы. Изд. Укр. Хим. Журнал, 1929.
8. Чириков В. Ф. и Волкова В. В. Превращение фосфорной кислоты фосфорнокислых удобрений в основных типах почв. „Почвоведение“, 1939, № 4.
9. Чуманов Я. И. в ки. Удобрение хлопчатника в условиях орошения. Сельхозгиз, 1953.

К. М. Ибрағимов

#### Превращение фосфора в почве Муганской степи

#### РЕЗЮМЕ

Почвы основных хлопконосящих районов Азербайджана карбонатные. В них фосфорные удобрения сильно поглощаются и образуют соли кальция и магния, плохо растворяющиеся в воде, препятствуют усвоению растениями фосфора.

С целью изучения превращения фосфора суперфосфата в почве проводились опыты в Северной Мугани на территории бывшего Saatлинского района в сероземно-луговой светлой почве. Превращение фосфора изучалось как при разделном, так и при совместном внесении с азотом и калием. На основании анализов, проведенных через 1, 3, 15, 30, 60 и 180 дней, установлено, что:

1. Наибольшая часть фосфора вытесняется через день после закладки опыта в сероземно-луговой почве 54,8—60,7% и через 180 дней 72,1—73,9% от внесенного удобрения 0,5N раствором уксусной кислоты.

2. Наименьшая часть фосфора суперфосфата (1—2%) обнаруживается в сероземно-луговой почве через 30 дней после закладки опыта и через 180 дней (7—8%) в 0,5 N соляной кислоте.

3. Через день после закладки опыта фосфор суперфосфата переходит в 1%-ный раствор углекислого аммония в сероземно-луговой светлой почве—24,9—33,4%, а через 60 дней—9,4—13,9% от внесенного удобрения.

СУДЕБНАЯ ХИМИЯ

Р. М. АГАМИРОВА

**О ПРИРОДЕ СМОЛИСТЫХ ВЕЩЕСТВ, ВЫДЕЛЕННЫХ  
ИЗ СЕМЯН ЦЕЗАЛЬПИНИИ ДЖИЛЛИСА**

(Представлено академиком АН Азербайджанской ССР А. И. Караевым)

По данным литературы известно, что смолистые вещества, полученные из семян некоторых видов цезальпинии нашли применение в медицинской практике [1—2].

Семена, полученные из цезальпинии Джиллиса, произрастающей, в частности, на Апшероне, могут быть использованы для получения неизученной смолы, представляющей из себя мягкую массу темно-коричневого цвета с консистенцией вазелина, с резким ароматическим запахом. Эти вещества хорошо растворимы во многих органических растворителях, в том числе в спирте 96° и пиридине, плохо растворимы в бензole, хлороформе, ацетоне. Совсем не растворимы в эфире, петролинейном эфире, толуоле. Выяснено, что эти смолы обладают также заметной гидрофильностью, что говорит о наличии в их составе соединений, растворимых в воде.

При изучении смолистых веществ, полученных из семян цезальпинии Джиллиса, в первую очередь было выяснено, что кислотное число соответствует величине 40,95, число омыления—117,84, удельный вес—1,22 и эфирное число—76,89.

В последующем эти смолистые вещества были подвергнуты фракционированию по способу, рекомендованному М. Г. Тимошенко [3]. 2 г смолы помещали в стаканчик емкостью в 50 мл и обрабатывали четырехкратно 2%-ной серной кислотой, затем водой до нейтральной реакции. Промывные воды объединяли, взвешивали и выпаривали на водяной бане досуха. Остаток высушивали и взвешивали. Параллельно для контроля такой же объем 2%-ной серной кислоты выпаривали высушивали, остаток взвешивали. Содержание смолистых веществ, растворимых в кисло-водяной среде, определяли по разности двух значений веса, полученных в опытах.

Промытая (как было описано выше) смола, высушивалась при 40°C в течение часа, после чего в стаканчик со смолой вводили 20 мл этилового спирта; смесь нагревали на водяной бане до кипения спирта при частом помешивании. После охлаждения смеси выпадает осадок, последний фильтруют, промывают трехкратно холодным спиртом, фильтр высушивают до постоянного веса (в экскаторе над серной кислотой). Так выделялась фракция (2-я), представляющая собой смесь воска и углеводородов.

Фильтрат, полученный после отделения воска и углеводородов отгонялся с использованием холодильника Либиха. Полученный остаток смешивали с 50 мл 5%-ным раствором едкого натра, колбу соединяли с воздушным холодильником, а затем помещали в кипящую водяную баню на три четверти часа.

После окончания омыления, смесь охлаждали, обрабатывали эфиром до обесцвечивания последнего. Эфирные вытяжки обезвоживали безводным сульфатом натрия. Фильтровали через складчатый, смоченный эфиром фильтр и помещали во взвешенную колбу. После отгонки колбы с остатком высушивали в экскаторе и взвешивали. Полученная фракция представляет из себя вещества, называемые резенами (3-я).

В щелочном растворе, после обработки эфиром, могут содержаться соли смоляных кислот и высокомолекулярных спиртов, образующиеся в результате омыления сложных смоляных эфиров—резенов. Смоляные кислоты из щелочного раствора три раза извлекаются 25 мл эфира, подкисленные 10%-ным раствором соляной кислоты (проба на лакмус). Эфирные извлечения соединяются, промываются водой, обезвоживаются безводным сульфатом натрия, затем фильтруются во взвешенную колбу. После отгонки эфира, колбу с содержимым высушивали до постоянного веса и взвешивали (фракция 4-я).

Полученный после отделения смоляных кислот раствор, осторожно нейтрализуется, в результате чего наблюдалось выпадение светло-серых кристаллов, которые после отделения их и высушивания взвешивались (фракция 5-я).

Таблица 1

Данные о групповом составе смолистых веществ, полученных из семян цезальпинии Джиллиса в %

Кисло-водная фракция	Воск и углеводороды	Резены	Смоляные кислоты	Смоляные спирты
30,30	1,4	9,65	13,25	40,5

Как видно из приведенных данных табл. 1, смолистые вещества, выделенные из семян, состоят в основном из смоляных спиртов и так называемой кисло-водной фракции, дальше идут смоляные кислоты и резены, меньше всего здесь содержится воска и углеводородов.

Полученные фракции заметно отличаются по внешнему виду, а именно:

а) кисло-водная представляет собой массу твердой консистенции, черного цвета, без запаха;

б) фракция воска и углеводородов—масса твердой консистенции, темно-коричневого цвета, с легким запахом спелых фруктов;

в) фракция резенов—твердые вещества желтого цвета, с запахом немного напоминающим резину;

г) фракция смоляных кислот—густая масса бледно-желтого цвета с ароматическим запахом;

д) фракция смоляных спиртов—светло-серые кристаллы с приятным ароматическим запахом.

Результаты элементарного и спектрального анализа смолы, полученной из семян цезальпинии Джиллиса, приводятся в табл. 2 и 3.

Таблица 2

Содержание в смоле, полученной из семян цезальпинии Джиллиса углерода, водорода, кислорода, азота и серы

Элементы	Содержание, %
C —	63,18
H —	9,12
O и других элементов (по разнице)	25,07
N —	3,28
S —	0,35

Таблица 3

Данные спектрального анализа смолы из семян цезальпинии Джиллиса и кисло-водной фракции

№ п/п	Проба	Si	Al	Mg	Ca	Sr	Ba	Fe	Tl	V	Ni	Cu	Cr	Mn	Na	Mo
1	Водной фильтрат смолы	+	+	+	+	+	+	+	—	+	+	+	+	+	—	—
2	Кисло-водная фракция смолы	+	+	+	+	+	+	+	—	+	+	—	+	+	—	—

### Выводы

1. Произведено частичное исследование смол, полученных из семян цезальпинии Джиллиса (с определением удельного веса, кислотного и эфирного числа, числа омыления), ее разделение на пять фракций, элементарный и спектральный анализ их.

2. Богатство этих смол различными жизненно важными микроэлементами говорит о перспективности их дальнейшего изучения для применения в медицинской практике.

### ЛИТЕРАТУРА

- Quadrat-i-Khuda M., Ali M., Erfan, Siddiqui A. M. A. Preliminary note on the seed constituents of *Caesalpinia bonduc* f. *Scient. und Industri Res.*, 1960, 3, № 1, 48–51.
- Neogi N. C., Nayak K. P. Biological investigation of *Caesalpinia bonduc* f. *Indian J. pharmac.*, 1958, 20, 4, 95–100.
- Тимошенко М. Г. Селекция чая на химический состав. „Советские субтропики”, 1936, № 1, стр. 25–32.

АМИ им. Нариманова

Поступило 5. III 1964

Р. М. Агамирова

Чиллис сезалпининин тохумларындан алынан гатран

### ХУЛАСЭ

Тэбабэтдэ вэ халг тэбабэтиндэ сезалпининин мүхтэлиф нөвлэри ишлэдлир. Чиллис сезалпининин тохумларындан алынан гатран һэлэбү вахта гэдэр өөрнэйлмэшидир. Бу гатран тутгун гэхвэji рэнкдэ олуб, ароматик гохуул, вазелин дурулууналадыр. Алынмыш маддэ

бир сыра һэлледичилэрдэ: о чүмлэдэн спиртдэ, пиридиндэ јахши һэлл олур. Хлороформ бензол вэ асетонда, зэиф һэлл олур. Петролеин ефириндэ һеч һэлл олмур. Бунларла јанаши, суда да јахши һэлл олур.

Анализин кедишиндэн аждын олмушдур ки, гатранда туршуулуг рэгэми 40,95, сабунашма рэгэми 117,84, хүсүс чеки 1,22 вэ эфир рэгэми 76,89 олмушдур. Бундан соира гатраны маддэлэр М. Г. Тимошенконун үсүүлэх илэ фраксијалара ажрылмышдыр.

Тэчрүбэ васитэсилэ аждын олмушдур ки, гатранда туршулашмыш су фраксијасы 30,30%, мум вэ сулукарбонлар 1,4, резинлэр 9,65, гатран туршуулары 13,25%, гатран спиртлэри исэ 40,5%-э гэдээрдир.

Нэмийн туршуулардан алымыш гатранын садэ үсүлла кимжэви гурлууши туанализ етдикдэ ашағыдакы элементлэри тэ'жин едэ билдик; карбон 63,8%, һидрокен 9,2, оксижен 25,07, азот 3,28, күкүрд 0,35%-дир. Спектрал анализ үсүүлэх илэ гатраны ики фраксијасыны јандырыб күлүнү тэ'жин етдикдэ онун тэркибиндэ силициум (Si), алуминиум (Al), магнезиум (Mg), калсиум (Ca), стронциум (Sr), бариум (Ba), ферриум (Fe), титан (Ti), никел (Ni), купрум (Cu), манганин (Mn) вэ натриум (Na) элементлэринин олдууцуу тэ'жин етдик.

ШЭРГШҮНАСЛЫГ

А. А. ГУЛИЕВ

ЧЭНУБИ АЗЭРБАЙЧАН ШЭНЭРЛЭРИ НАГГЫНДА  
ЖЕНИ МЭХЭЗ

(Азэрбајҹан ССР ЕА академики Э. Э. Элизадэ тэгдим етмишдир)

Өлкөлөрин, шэһэрлөрин вэ башга јашајыш мэнтэгэллөрин тарихини ёрхөнмөк ишиндэ сәјаһётнамэлэр бөյүк өхөмийжэт кэсб едир. Бэ'зи муэллифлөрин шэһэрлэр наггында јазылмыш эсэрлэрэ истинад етдиклэри нэээрэ чарпса да һэлэ индиј гэдэр неч бир тэдгигат ишиндэ истифадэ олунмајан мэнбэллэрэ тэсадуф етмэк олур<sup>1</sup>. Азэрбајчанын мэшнүүр сәјяһ-алими һачы Зејналабдин Ширванинин „Нэдајигүс-сәјаһ“ эсэри дэ белэ мэхэзлэдэндир.

Элజасмасы Британија музејиндэ сахланылан бу эсэрин микрофилми сон ваҳтларда Лондондан алынмышдыр. Эсэрдэ Жахын вэ Орта Шэргин, елэчэ дэ башга өлкөлөрин шэһэр, гэсэбэ вэ кэндлэри наггында мараглы мэлумат олдугу кими, Чэнуби Азэрбајчанын мүхтэлиф јерлэри барэсниндэ, о чүмлэдэн Тэбрис, Эрдэбил, Марафа вэ башга шэһэрлөринэ анд диггэти чэлб едэн гејдлэр вардыр.

Һ. З. Ширвани Тэбризин мэшнүүр вэ танынмыш бир шэһэр олдуғу, дөрдүнчү иглимдэ јерлэшийни көстэрир<sup>2</sup>. О, шэһэри бинөврэснин ким тэрэфиндэн гојулдуғундан бэхс едэркэн шифаһи мэлумата эсасланмыш вэ Өчөм шаһларындан биринин Тэбризин эсасыны гојдуғуна јазмышдыр<sup>3</sup>.

Сәјяһ-алим Тэбриз шэһэринин зэлзэлэлэр заманы дағынтылара мэруз галдығыны, өналини бөйүк тэлэфат вердиини гејд едир<sup>4</sup>. О, фикрини эсасланылармаг үчүн Эмир Насир Хосровун „Сэфэрнамэ“-синэ истинад едир вэ көстэрир ки, һэмийн эсэрин мүэллифи „зэлзэлэ-

<sup>1</sup> Ёри кэлмишкэн гејд етмэк лазымдыр ки, Исаиыл Дибачын билаваситэ Чэнуби Азэрбајчанын тарихи абидалоринэ анд олан эсэриндэ бу мэнбэнии алды чекилмир. (Бах: И с м а й л Д и б а ч. Раһиман асаре тарихи Азэрбајчане шәрги, Тэбрис, 1334.

<sup>2</sup> һачы Зејналабдин Ширвани. „Нэдајигүс-сәјаһ“ Азэрбајчан ССР ЕА Шэргшүнаслыг Институтуун. Британија музејиндэн алдығы микрофилми. Институт китабханаасындаки фотосурэт, инв. № 228, вэр. 133 а (бундан сонра гысача олараг „Нэдајигүс-сәјаһ“ верилочэкидир).

<sup>3</sup> „Нэдајигүс-сәјаһ“, вэр. 133 а (мегале јазыларкэн Һ. З. Ширванинин „Ријазүс-сәјаһ“ вэ „Бустанүс-сәјаһ“ эсэрлэриндэн дэ истифадэ олунмушдур).

лэрин бириндэ Тэбризин өналисиидэн 40 мин иэфэрдэн артыг (?) һелак олдуғуна шәхсэн көрдүүнү јазыр<sup>5</sup>.

Һ. З. Ширвани узун заман Тэбриздэ зэлзэлэ олмадығыны, өналини раһат нэфэс алдығыны гејд едир<sup>6</sup>. О, Кэrim хан Зенд дөврүндэ јенэ дэ шиддэтли бир зэлзэлөнин олдуғу, чамаатын гырылдығыны хатырладыр<sup>7</sup>. Һ. З. Ширвани „Некәристай“ эсэринэ өсасланараң јазыр: „...Султан Увејс Илханинин һакимијэти дөврүндэ Тэбриз шэһэринин абадлығы о дэрэчэжэ чатды ки, таун хастэлийндэн 300 мин иэфэр (?) гырылды, лакин бир адамын өлдүүгү белэ һисс олунмады<sup>8</sup>.

Сәјяһ-алим даха сонра көстэрир ки, Тэбриз шэһэринин сујууjaxши, һавасы азачыг сојугдур. Тэбриздэ үрәкачан бағлар, сәфалы бостанлар да вардыр<sup>9</sup>. О, Тэбриз өналисиин түрк (Азэрбајҹан) дилиндэ данышдығыны, јашајыш гајда-ганууларыны билмэктэ башгаларына нүмүнэ олдуғларыны, еж-ишрэти севдикләрини, ағузлу вэ көзэллик-ләрини гејд едир<sup>10</sup>.

Һ. З. Ширвани шәхси мүшаһидэлэринэ өсасэн Тэбриздэ мејвэлэрин чохлуғуна, бүтүн нэ'мэтлэрин<sup>11</sup> учузлұғуна көстэрир<sup>12</sup>. О јазыр ки, Тэбризин базарында чүрбәчүр кејфијжетли вэ дадлы хөреклэр олур<sup>13</sup>. Сәјяһ Тэбризин 15 мин ёвдэн ибарэт олдуғуна, шэһэрин, әтрағында 40 мин мүхтәлиф тајфаларын јашадығыны нэээрэ чатдырыр<sup>14</sup>.

Зејналабдин Ширвани Табриз өналиси наггында да фикир йүрүтмушдур. Онун гејдлэриндэн о заман шэһэр өналисиин савадсыз... олдуғу бир даха айдын олур.

Һачы Зејналабдинин Чэнуби Азэрбајчанын дикээр бир шэһэри-Эрдэбил һаггындақы гејдләри дэ мараглыдыр. Сәјяһ бу шэһэрдэн бэхс едэркэн көстэрир ки, Эрдэбил сујунун ширинлиji вэ һавасынын сојуглуғу илэ диллэрдэ вэ ағызларда дастан олан мэшнүүр бир шэһэрдир. О, Эрдэбилин дөрдүнчү иглимэ дахил олдуғуна, әбчэд һесабы илэ узунлуғуна, енини, һарада јерләшийни көстэрир<sup>15</sup>.

Һ. З. Ширвани Эрдэбилин тарихи илэ марагланмыш, бинөврэснин ким тэрэфиндэн гојулдуғуна айдынлашдырмала чалышмышдыр. О, „Рөвзэтүс-сәфа“, башга тарихи эсэрлэрэ вэ ешигдикләринэ өсасэн бу һагда мүхтәлиф фикирлэр, фәрзијелэр сөjlәмишдир<sup>16</sup>.

Сәјяһ-алим Сәфэвиләрин һакимијжети заманы Эрдэбилин олдуғча агад олдуғуна, мэхз буна көрэ дэ эн узаг јерлиләрин ора рәғбәт бәсләдикләрини гејд етмишдир<sup>17</sup>. О, Сәфэвиләрдэн сонра Эрдэбилин, виран олдуғуну хатырладыр<sup>18</sup>. Зејналабдин Ширвани көстэрир ки, һазырда<sup>19</sup> Эрдэбилилә 2 мин хараба ев вардыр, 3 минэ гэдэр аилэ јашајыр. Сәјяһ Эрдэбил өналисиин Азэрбајҹан дилиндэ данышды-

<sup>5</sup> һачы Зејналабдин Ширвани. „Ријазүс-сәјаһ“. I ч., Техран, 1339. с. 56-57.

<sup>6</sup> „Нэдајигүс-сәјаһ“, вэр. 133 б.

<sup>7</sup> Женэ орада.

<sup>8</sup> Женэ орада.

<sup>9</sup> Женэ орада.

<sup>10</sup> Женэ орада.

<sup>11</sup> Эрзаг маллары вэ мејвэләрин учузлұғуна нэээрдэ тутур.

<sup>12</sup> „Нэдајигүс-сәјаһ“, вэр. 133 б.

<sup>13</sup> Женэ орада.

<sup>14</sup> Женэ орада.

<sup>15</sup> Женэ орада, вэр. 29 б.

<sup>16</sup> Женэ орада.

<sup>17</sup> Женэ орада.

<sup>18</sup> Женэ орада.

<sup>19</sup> Һ. З. Ширвани эсэрин јазылма тарихини (инчретин 1242-чи илдии) нэээрдэ тутур.

ыны, ағбәнин олдугларыны, мұсафирләрлә меңрибан доландыгларыны жазып<sup>20</sup>.

Зејналабдин Ширвани гејд едир ки, Эрдәбилин мәжүләриндән килас кејијәтчә сечилир, бүгдасы мәшһур дур. Сәjjah Шејх Сәфиәддинин Эрдәбилдә дәғи олундуғуны көстәрир вә гәбринин зијәрәткаһа чеврилдијини хұсуси олараг гејд едир<sup>21</sup>. Һ. З. Ширвани Эрдәбилин тәсвириндән соңра Шејх Сәфиәддинин, онун өвладларыны вә шәһәрдә јетишмиш көркемли алымләрин тәрчумеи-ିалыны верир.

Јери кәлмишкән гејд етмәк лазымдыр ки, Һ. З. Ширванинин „Ријазүс-сәјаһә“ әсәринин бириңчи һиссесиндә<sup>22</sup> вә „Бустанүс-сәјаһә“-дә<sup>23</sup> Тәбріз вә Эрдәбил шәһәрләри һаггында мә'лumat вардыр.

Зејналабдин Ширвани Җәнуби Азәрбајчанын Марага шәһәринә даир дә мә'лumat верир. О жазыр ки, Марага мәшһур шәһәрdir, абынасы җаҳшыдыры<sup>24</sup>. Сәjjah Марагада бағларын чохлуғуны нәзәрә чатдырыр вә шифаһи мә'лumatata эсасланарағ орада 9 минә гәдәр ев олдуғуны<sup>25</sup>, Тәбріздән 3 мәрһәлә узаглығыны, әналини ағұзлұлұјұны гејд едир. Һ. З. Ширвани жазыр ки, Марагада бөյүк вә көркемли шаирләр јетишмишdir. О, „Чаме-чәм“ әсәринин мүәллифи Әвһәди-ни буна мисал көстәрир. Мүәллиф хатырладыр ки, инди дә<sup>26</sup> Марагада бөйүк шәхсијәтләр јашајыб јарадылар<sup>27</sup>.

Зејналабдин Ширванинин һәлә индијә гәдәр тәдгиг олунмамыш „Нәдаигүс-сәјаһә“ әсәриндә Җәнуби Азәрбајчанын сијаси, ичтимаи-игтисади, мәдәни һәјатына аид гијметди мә'лumatлар вардыр. Мүтәхессисләrimizә бөйүк йа०дым көстәре биләчәк һәмин әсәр өјрәнилмәли вә тәдгиг едилмәлиdir.

Шәргшұнаслығ Институту.

Алымышдыры 18. XI 1963

А. А. Кулев

## Новый источник о городах Южного Азербайджана

### РЕЗЮМЕ

„Хадайик-ус-сиях“ выдающегося азербайджанского ученого-путешественника Гаджи Зејналабдина Ширвани(1780—1838 гг.) является ценным историческим источником по городам Южного Азербайджана. Как нам известно, он не исследован ни в Советском Союзе, ни за его пределами.

Настоящая статья посвящена высказываниям Г. З. Ширвани относительно Южного Азербайджана, в частности о городах Тебризе, Ардебиле и Мараге. Обстоятельно приводится мысль путешественника относительно этих городов.

В статье указывается, что в „Хадайик-ус-сиях“, микрофильм которой недавно был получен из Британского музея, содержатся очень ценные сведения и о других странах Ближнего и Среднего Востока. Автор статьи особенно сосредоточивает внимание исследователей на этом вопросе.

<sup>20</sup> Нәдаигүс-сәјаһә, вәр. 29 б. 30 а.

<sup>21</sup> Іенә орада.

<sup>22</sup> Һачы Зејналабдин Ширвани „Ријазүс-сәјаһә“, I-чи, Тебриз, 1939 сән. 34—56; Һачы Зејналабдин Ширвани „Бустанүс-сәјаһә“, Тебриз, 1935 сән. 64—186.

<sup>23</sup> „Бустанүс-сәјаһә“, сән. 555.

<sup>24</sup> Іенә орада.

<sup>25</sup> Һичрәти 1242-чи илнин нәзәрәттөн тутур.

<sup>26</sup> Іенә орада.

<sup>27</sup> „Бустанүс-сәјаһә“, сән. 555.

### МУНДЭРИЧАТ

#### Ријазијјат

А. С. Махмудов. Қәсилмәз функцияларын Фурје вә Тейлор әмсаллары һаггында . . . . . 3

Х. Н. Бағырова. Классик вариасија несабы мәсәләләrinдә һәллин кичик параметрдән асылылығы . . . . . 9

#### Еластигијјэт нәзәријјәси

С. Э. Мөһабалыев. Ихтијари шәкилдә зәйфләдилмиш сферик өртүкләрдә жерли кәркниллекләrin тәдгиги һаггында . . . . . 14

#### Физика

И. Б. Абдуллаев, Ч. Ш. Абдинов, Г. М. Элиев. Оксикенин јүкәк тәмизликли селенде дашыма һадисәләринә тә'сир . . . . . 18

#### Кимја

Н. Н. Маков, Р. А. Эләкберов, И. Х. Әфәидиев. Аз мигдарда элементләrin хұсуси әлавәләрлә нафтен туршулары васитасында гатылашдырылмасы . . . . . 22

#### Үзви кимја

Б. Ф. Пишиамазадә, Х. Ч. Хәлилов, Э. Џ. Элиев. Алфахлорметилалкил ефиirlәrinин винилхлоридә алкилләшмәси . . . . . 25

С. Ч. Мәһдиев, Р. Э. Бабаканов, Ш. Т. Эһмәдов, Р. Э. Исмајлов. Метилсиклонексанын һалоидолефинилләшдирилмәси . . . . . 30

Х. М. Исаевылов, О. А. Осполов, А. Д. Гариковский, О. Џ. Каширинов, Л. Н. Чикина. Дөври системин IV групп элементләrinин алкиламинометилфенол вә онун суlfидләри илә комплекс бирләшмәси . . . . . 34

#### Нефт вә газ җатагларынын ишләнмәси

И. П. Һүсейнов, К. И. Гулиев. Լајын вә лајлар арасында азкечиричи аракәсмәни галынлығларынын дәјишилмәсиини мајенин бир һоризонтдан дикәр һоризонта ахмасына тә'сир . . . . . 39

#### Кеолокија

Г. Р. Әлиев. Григоренко дашлары—Нефт дашлары антиклинал зонасынын ГАД чекүнүләринин эмәләкәлмә шәрәнти һаггында . . . . . 44

#### Мұнәндис қеолокијасы

Е. Г. Эскәрбәјли. Дзержински шәһәри (Горки вилајети) раionunda карсттың эмәлә кәлмәсиини асас шартләри . . . . . 48

103

## Стратиграфия

Т. Аб. Гасанов. Кедабекский районный Коняк чекунтулары . . . . . 52

### Литология

Л. А. Буряковский, Я. А. Начыров, Р. М. Дадашов. Жилој атасы вэ Григоренко дашлары гырышының Мәңсүлдар гат чекунтулары алт 57  
ниссаннии коллекторлугу . . . . .

### Кеофизика

Ш. С. Рәһимов, Р. Д. Чәфәров, А. М. Элиев. 1962-чи ил оқ-  
тјабр айында Товуз зәлзәлеси . . . . . 62

### Кеотектоника

Ә. Җ. Элиев, Т. Р. Мендиева, Т. Г. Жкенти. Шимали Азәрба-  
жанын вэ Дагыстанын ашагы табашир чекунтуларинин әмәләкәлмә шәрәити . . . . . 64

### Кенетика

И. К. Абдуллаев, Н. А. Чәфәров. Йүксәк полиплоидли тут ѡар-  
пағынын ишәк гүрдү исләнә тә'сир . . . . . 70

М. А. Микаилов, Н. Б. Бабаев. Гарғынын векетатив чохалма  
биолокијасына даир . . . . . 75

### Биологија

А. В. Элизадә. Азәрбаҗанын јерли бәрк бүгдаларынын сары пас хәстә-  
лигинә давамлылығы . . . . . 80

### Микробиологија

Н. Э. Мендиева. Азәрбаҗанда *stylopage*-ниң тапылмасы һагында . . . . . 84

### Агрокимја

З. Р. Мөвсумов. Азотун аммоијак формасында торпагдан итмәси . . . . . 87  
К. М. Ибраимов. Муган дүзү торпагларында фосфорун чөврилмәси . . . . . 92

### Мәнкәмә кимјасы

Р. М. Агамирова. Чиллис сезалпининин тохумларындан алынаи гатран . . . . . 96

### Шәргшүнаслыг

А. А. Гулиев. Җәнуби Азәрбаҗан шәһәрләре һагында јени мә'хәз . . . . . 100

## СОДЕРЖАНИЕ

### Математика

А. С. Махмудов. О коэффициентах Фурье и Тейлора непрерывных функций . . . . . 3

Н. Х. Багирова. О зависимости решений классических задач вариационного исчисления от малого параметра . . . . . 9

### Теория упругости

С. А. Мөхбалиев. Об исследовании напряженного состояния сферической оболочки, ослабленной криволинейным отверстием . . . . . 14

### Физика

Г. Б. Абдуллаев, Д. Ш. Абдинов, Г. М. Алиев. О влиянии кислорода на явления переноса в селене высокой чистоты . . . . . 18

### Химия

Н. Н. Макаров, Р. А. Алекперов, Г. Х. Эфендиеев. Концентрирование микроколичеств элементов экстракцией наftenовыми кислотами в присутствии «Добавок» . . . . . 22

### Органическая химия

Б. Ф. Пишиамазаде, Х. Д. Халилов, А. Е. Алиев. Алкилирование альфа-хлорметилколовых эфиров винилхлоридом . . . . . 25

С. Д. Мехтиев, Р. А. Бабаханов, Ш. Т. Ахмедов, Р. А. Исмайлов. Галоидкалирование метилциклогексана галоидолефинами . . . . . 30

Х. М. Исмайлова, О. А. Осипов, А. Д. Гарновский, О. Е. Каширенинов, Н. Л. Чикина. Комплексные соединения металлов IV группы с диалкиламинометилфенолами и их сульфидами . . . . . 34

### Разработка нефтяных и газовых месторождений

Г. П. Гусейнов, К. И. Кулев. Влияние изменения мощности пласта и малопроницаемой перемычки на переток жидкости из одного горизонта в другой . . . . . 39

### Геология

Г. Р. Алиев. К условиям накопления отложений ПК свиты антиклинальной зоны Камни Григоренко Нефтяные Камни . . . . . 44

### Инженерная геология

Э. К. Аскербейли. Основные условия развития карста района г. Дзержинска Горьковской области . . . . . 48

### Стратиграфия

Т. Аб. Гасанов. Коньякские отложения в Кедабекском районе . . . . . 52

### Литология

- Л. А. Буряковский, Я. А. Гаджиев, Р. М. Дадашев. Коллекторские свойства пород нижней части продуктивной толщи складок о. Жилого и Камней Григоренко . . . . . 57:

### Геофизика

- Ш. С. Рагимов, Р. Д. Джадаров, А. М. Алиев. Таузское землетрясение в октябре 1962 г. . . . . 62

### Геотектоника

- А. Г. Алиев, Т. Р. Мехтиева, Т. Г. Жгенти. Условия образования нижнемеловых отложений северного Азербайджана и Дагестана . . . . . 64

### Генетика

- Н. К. Абдуллаев, Н. А. Джадаров. Влияние качества листа высокополиплоидной шелковицы на последующие поколения тутового шелкопряда. . . . . 70

- М. А. Микаилов, Н. Б. Бабаев. Биология вегетативного размножения арундотростникового (*Arundo Donax L.*) карги . . . . . 75

### Биология

- А. В. Ализаде. Испытание образцов твердых пшениц Азербайджана на устойчивость к желтой ржавчине. . . . . 80

### Микробиология

- Н. А. Мехтиева. О нахождении *stylopage* в Азербайджане . . . . . 84

### Агрохимия

- З. Р. Мовсумов. О потере азота из почвы в виде газообразного аммиака . . . . . 90  
К. М. Ибрагимов. Превращение фосфора в почве Муганской степи . . . . . 95

### Судебная химия

- Р. М. Агамирова. О природе смолистых веществ выделенных из семян цезальпинии джиллиса . . . . . 96

### Востоковедения

- А. А. Кулиев. Новый источник о городах Южного Азербайджана . . . . . 101

Подписано к печати 13/V 1965 г. Формат бумаги 70×108<sup>1/16</sup>. Бум. лист. 3,25. Печ. лист. 8,91. Уч.-изд. лист. 8. ФГ 12120. Заказ 40. Тираж 870. Цена 40 коп.

Типография «Наука» Госкомитета по печати Совета Министров  
Азерб. ССР. Баку, Рабочий проспект, 96.

## ПРАВИЛА ДЛЯ АВТОРОВ

1. В «Докладах Академии наук Азербайджанской ССР» помещаются краткие сообщения, содержащие законченные, еще не опубликованные результаты научных исследований, имеющих теоретическое или практическое значение.

В «Докладах» не публикуются крупные статьи, механически разделенные на ряд отдельных сообщений, статьи полемического характера без новых фактических данных, статьи с описанием промежуточных опытов без определенных выводов и обобщений, работы непринципиальные, описательного или обзорного характера, чисто методические статьи, если предлагаемый метод не является принципиально новым, а также статьи по систематике растений и животных (за исключением описания особо интересных для науки находок).

Статьи, помещаемые в «Докладах» не лишают автора права последующей публикации того же сообщения в развернутом виде в других изданиях.

2. Поступающие в «Доклады» статьи рассматриваются Редакционной коллегией только после представления их академиком по специальности.

Статьи членов-корреспондентов Академии наук Азербайджанской ССР принимаются без представления.

Редакция просит академиков при представлении статьи указывать дату получения ее от автора, а также наименование раздела, в котором статья должна быть помещена.

3. В «Докладах» публикуется не более трех статей одного автора в год. Для академиков устанавливается лимит 8 статей, а для членов-корреспондентов Академии наук Азербайджанской ССР — 4 статьи в год.

4. «Доклады» помещают статьи, занимающие не более четверти авторского листа, около 6—7 страниц машинописи (10 000 печатных знаков), включая рисунки.

5. Статьи, написанные на азербайджанском языке, должны иметь резюме на русском языке и наоборот.

6. В конце статьи должны быть указаны название научного учреждения, в котором произведена работа, и номер телефона автора.

7. Опубликование результатов работ, проведенных в научных учреждениях, должно быть разрешено дирекцией научного учреждения.

8. Статьи (включая и резюме) должны быть написаны на машинке через два интервала на одной стороне листа и представляются в двух экземплярах. Формулы должны быть вписаны четко и ясно; и при этом прописные буквы должны быть подчеркнуты (черным карандашом) двумя черточками снизу, а строчные — сверху; буквы греческого алфавита надо обводить красным карандашом.

9. Цитируемая в статье литература должна приводиться не в виде подстрочных списков, а общим списком (без новострочия), в алфавитном порядке (по фамилии автора), в конце статьи с обозначением ссылки в тексте порядковой цифрой. Список литературы должен быть оформлен следующим образом:

а) для книг: фамилия и инициалы автора, полное название книги, номер тома, город, издательство и год издания;

б) для статей в сборниках (трудах): фамилия и инициалы автора, заглавие статьи, название сборника (трудов), том, выпуск, место издания, издательство, год, страница;

в) для журнальных статей: фамилия и инициалы автора, заглавие статьи, название журнала, год, том, номер (выпуск), страница.

Ссылки на неопубликованные работы не допускаются (за исключением отчетов, диссертаций, хранящихся в научных учреждениях).

10. На обороте рисунков должны быть указаны фамилии автора, название статьи и номер рисунка. Отпечатанные на машинке подписи к рисункам представляются на отдельном листе.

11. Редакция выдает автору бесплатно 15 отдельных оттисков статьи.